

COMITETUL DE REDACTIE

Redactor responsabil:

Academician EUGEN A. PORA

Redactor responsabil adjunct:

R. CODREANU, membru corespondent al Academiei Republicii Socialiste România

Membri:

M. A. IONESCU, membru corespondent al Academiei Republicii Socialiste România; MIHAI BĂCESCU, membru corespondent al Academiei Republicii Socialiste România; OLGA NECRASOV, membru corespondent al Academiei Republicii Socialiste România; GR. ELIESCU, membru corespondent al Academiei Republicii Socialiste România; MARIA CALOIANU-IORDACHEL—secretar de redacție.

Prețul unui abonament este de 90 de lei.

În țară abonamentele se primesc la oficiile poștale, agențiile poștale, factorii poștali și difuzorii de presă din întreprinderi și instituții.

Comenzile de abonamente din străinătate se primesc la Întreprinderea ROMPRESFILATELIA, Căsuța poștală 2001, telex 011631, București, România, sau la reprezentanții săi din străinătate.

Manuscisele, cărțile și revistele pentru schimb, precum și orice corespondență se vor trimite pe adresa Comitetului de redacție al revistei „Studii și cercetări de biologie — Seria zoologie”.

APARE DE 6 ORI PE AN

ADRESA REDACTIEI:  
SPLAIUL INDEPENDENȚEI NR. 296  
BUCHARESTI

# Studii și cercetări de BILOGIE

SERIA ZOOLOGIE BIOL. INV. 93

TOMUL 25

1973

## SUMAR

Pag.

CLEOPATRA OLTEAN, <i>Agroeca dentigera</i> Kulczynski 1913 (Aran., Clubionidae), o specie rară, nouă pentru fauna României . . . . .	105
AL. V. GROSSU și C. TESIU, Un nou gen pentru fauna României: <i>Macedonica</i> O. Boettger, din familia Clausiliidae (Gastropoda), identificat prin utilizarea unor metode biochimice în taxonomie . . . . .	111
ELENA CHIRIAC și ALEXANDRA POPESCU, Cercetări asupra helmintofaunei unor specii de insectivore ( <i>Mammalia</i> ) corelativ cu hrana lor . . . . .	117
MARIA CALOIANU-IORDACHEL, O formătire deosebită observată în citoplasma ovocitelor de nisecru . . . . .	127
LOTUS MESTER, Contribuții la studiul respirației intestinale a cobitidelor . . . . .	131
X GH. IGNAT și L. GRUIA, Observații cu privire la nutriția larvelor de <i>Chironomus f.l. plumosus</i> din apele zonei inundaționale a Dunării . . . . .	137
MÁRTA GÁBOS, HERTA FLATZ și LETÍTIA RÄU, Acțiunea tiroxinei ( $T_4$ ), TSH și a tiouracilului (Tu) asupra cantității de apă din singe și țesuturi la <i>Cyprinus carpio</i> L. . . . .	151
H. KOLASSOVITS, EUGEN A. PORA și C. WITTENBERGER, Variația volumului plasmatic și a proteinemiei în urma dezechilibrării ionice a singelui la iepure . . . . .	155
ION FILIPĂȘ, EUGEN A. PORA și MIRCEA POP, Influența leziunii bilaterale a hipocampului dorsal și ventral asupra rhopiei plasmatici la șobolanii albi . . . . .	163
C. PORTELLI, Un model al evoluției biologice . . . . .	175
DINU PARASCHIVESCU și ILEANA HURGHISIU, Concentrația în clorură de sodiu la unele specii de formicicide din zonele saline ale României . . . . .	187
IN MEMORIAM . . . . .	197
RECENZII . . . . .	199

ST. SI CERC. BIOL. SERIA ZOOLOGIE T. 25 NR. 2 P.103-200 BUCUREȘTI 1973



NR. 2

**AGROECA DENTIGERA KULCZYNSKI 1913 (ARAN.,  
CLUBIONIDAE), O SPECIE RARĂ, NOUĂ PENTRU  
FAUNA ROMÂNIEI**

DE

CLEOPATRA OLTEAN

In this paper, a new and very rare species from the family Clubionidae, *Agroeca dentigera* Kulczynski 1913 is presented.

Pentru prima dată a fost descrisă ca specie nouă *Agroeca dentigera* în 1913, de Kulczyński (3), după o ♀ colectată în Uniunea Sovietică (districtul Waluyki, guv. Voronej) și încadrată în grupul de specii ale genului *Agroeca*.

Timp de aproape o jumătate de secol, această nouă specie n-a mai fost regăsită nicăieri în lume. Abia în 1967, Brăun (2) semnalează regăsirea acestei specii într-un material colectat în 1962 de Rabeler, într-o asociatie cu *Sphagnum*, în pădurile din nordul R.F. Germania, ca element nou pentru fauna acestei țări.

La un interval mai scurt de data aceasta, la 26.XI.1969, am ajuns în posesia unui singur exemplar, tot ♀ (coincidență părind, dacă nu interesantă, cel puțin bizară), colectat în ghioul Puiu (delta Dunării) de către dr. V. Marinescu<sup>1</sup>.

*Agroeca dentigera*, o specie reprezentant al subfamiliei Liocranidae, apare asemănătoare cu grupul de specii al subgenului *Agroeca* în general. Dat fiind faptul că armătura genitală este strict caracteristică și că aceasta conferă o deosebită certitudine determinării, nu am socotit necesară

<sup>1</sup> Căreia îi mulțumim și pe această cale pentru amabilitatea de a ne fi încredințat exemplarul.

o descriere amplă, aşa încât în lucrarea de faţă ne vom rezuma la a prezenta în paralel unele caractere ale speciei şi a le raporta la valorile lor în concepția autorilor care au făcut pînă acum descrierea. Înțînd seama de deosebirile existente între dimensiunile date de către autori, socotesc important să le prezint aci în paralel, și anume :

- datele neîncadrate aparțin lui V. Kulczyński,
- datele din paranteză sunt date de R. Braun;
- datele încadrate sunt observații personale.

În privința dimensiunilor corpului (în mm), *Agroeca dentigera* măsoară, din cît se cunoaște pînă în prezent, după cum urmează :

lungimea totală	6,55 (5,5)	[6]
lungimea céfalotoracelui	2,55 (2,4)	[2,5]
lățimea céfalotoracelui	1,95 (1,9)	[1,9]

Se desprinde de aci că materialul nostru are valori mai apropiate de cel capturat în sudul Uniunii Sovietice.

În dispoziția ochilor, se găsește un sir anterior, cu ochii în linie dreaptă și avînd următoarele dimensiuni<sup>2</sup> :

LA 0,135 (0,14) [0,150]; MA 0,15 (0,12) [0,120]; LA-MA 0,03 (0,04) [0,060]; MA-MA 0,025 (0,05) [0,075].

Sirul posterior are ochii dispusi pe o linie avînd curbura către partea anteroară și cu dimensiunile următoare :

LP 0,12 (0,12) [0,145]; MP 0,12 (0,11) [0,135]; MP - LP 0,115 (0,11) [0,090]; MP - MP 0,135 (0,14) [0,105]; MA - MP 0,12 (0,15) [0,150].

Dentiția chelicelor se încadrează în formula după care marginea internă a șanțului cheliceral este prevăzută cu 2 dinți, iar cea externă prezintă 3 dinți, corespunzînd întocmai precizărilor lui R. Braun.

Articol	Femur	Patella	Tibia
Apendice			
I	2,0 (2,0) [2,3]	1,07 (0,85) [0,90]	1,62 (1,35) [2,05]
II	1,85 (1,85) [1,55]	1,04 (0,8) [0,85]	1,42 (1,2) [1,5]
IV	2,43 (2,2) [1,95]	1,07 (0,95) [0,80]	1,94 (1,9) [1,30]

<sup>2</sup> Explicația abrevierilor folosite : LA, ochi laterali anteriori; MA, mediani anteriori; LP, ochi laterali posteriori; MP, mediani posteriori.

Mai adăugăm la aceasta și observația că în totalitate acești dinți sunt mărunti, negri, bine individualizați și aproximativ egal depărtati între ei.

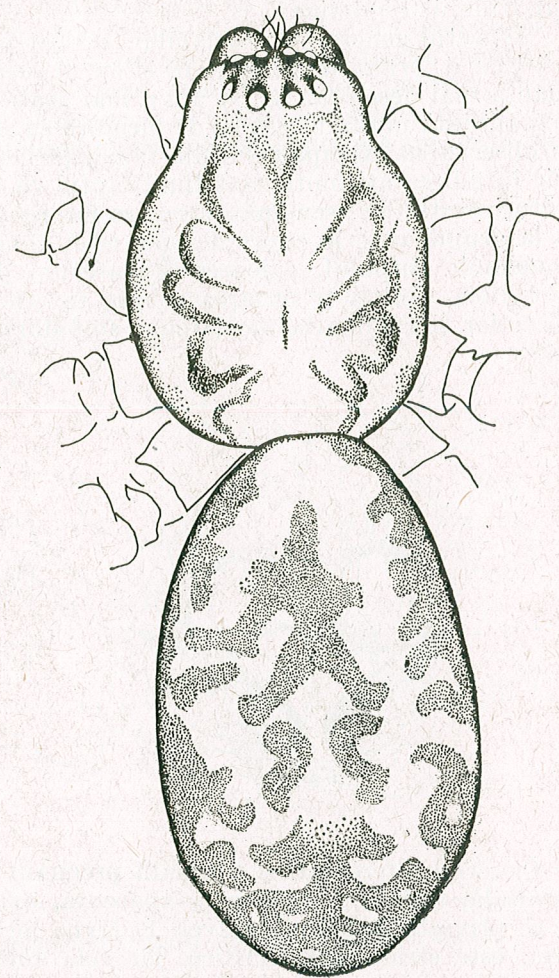


Fig. 1.— *Agroeca dentigera* Kulcz.— aspect general (față dorsală).

	Metatars	Tars	Lungime totală
I,39 (1,1) [2,5]	1,04 (0,9) [1,10]	7,12 (6,40) 8,85	
1,33 (1,1) [1,30]	0,97 (0,85) [0,90]	6,61 (5,70) 6,10	
2,59 (2,2) [1,40]	1,10 (1,0) [0,95]	8,13 (8,25) 6,40	

Urmărind și lungimea absolută a articolelor picioarelor, măsurătorile noastre se vor raporta la un număr redus de apendice (I, II, IV pe latura dreaptă), celealte lipsind (vezi tabelul de mai sus).

Și în această privință este de remarcat că măsurătorile noastre sănt mai apropriate de valorile lui Kulczyński (3) date pentru forma din sudul Uniunii Sovietice.

Aspectul general al animalului, schițat în figura 1, arată unele asemănări cu *A. brunnea* (Blackwall) și cu *A. lusatica* (L. Koch), având doar o nuanță mai deschisă. R. Brău mai arată în lucrarea sa că *A. dentigera* manifestă multe trăsături de înrudire cu *A. brunnea* și cu *A. lusatica*. Prin observarea exemplarului din fauna țării noastre, se confirmă într-o devără înrudirea atribuită, dat fiind faptul că la acestea există o serie de trăsături destul de asemănătoare care fac reală afilierea speciei *A. dentigera* la grupul care le cuprinde pe cele două amintite mai sus. Astfel dimensiunile corpului, culoarea și oarecum desenul pe abdomen și pe céfalotorace, poziția și situația ochilor în cele două șiruri, ca și dentiția chelicelor și spinulația picioarelor, sănt dovezi în sprijinul acestei asemănări.



Fig. 2. — *Agroeca dentigera* Kulcz.  
— epigyna (a, umbra unui fragment de embolus).

Criteriul diferențial și totodată pregnant distinctiv rămîne armătura genitală, atât în structura ei aparentă, externă a epigynei, cît și în ceea ce privește structura vulvei. Epigyna acestei specii, cu contur coniform, este strict caracteristică, iar cele două valvule median-centrale sănt un și mai izbitor criteriu de diferențiere a acestei specii de cele cu care intrucîntă se asemănă (fig. 2).

Mai amintim de asemenea (intrucînt n-am avut posibilitatea unei verificări) părerea lui Brău (2) după care *A. gaunitzi* descrisă în 1952 de Tullgren după un singur ♂ nu este exclus să reprezinte de fapt ♂ de *A. dentigera*, în care caz noul nume rămîne să fie trecut ca sinonim.

*Agroeca dentigera* este o specie mult prea puțin cunoscută și, după cum reiese din cunoștințele de pînă acum, foarte rară, așa încît nu se cunosc prea multe date din ecologia ei. Socotim de aceea necesar să subliniem o observație în legătură cu biotopul preferat de *A. dentigera*. În țara noastră este semnalată prezența acestei rare specii numai în delta Dunării. Exemplarul provine — ceea ce ne pare deosebit de interesant — nu de pe plante semiacvatice, unde se întîlnesc de fapt clubionide cu preferințe de exprimată higrofilie, ci din plaur, la mai mult de un metru

adîncime. Subliniem acest neobișnuit biotop, care pare să fi oferit condițiile optime de viață speciei, ca fiind deosebit de interesant atât în sine, ca formăție caenologică, cît și pentru faptul că este și foarte neobișnuit nu numai la clubionide, dar printre aranee în general și nu credem să fie o greșelă dacă l-am socotii unic sau, oricum, un biotop foarte particular. Biotopul acesta nu contravine în fond celălalt biotop amintit, format dintr-o asociație vegetală cu *Sphagnum*, ci se înscrie în aceleași coordonate, conturînd și mai degrabă subliniind exigențele ecologice ale speciei *A. dentigera*.

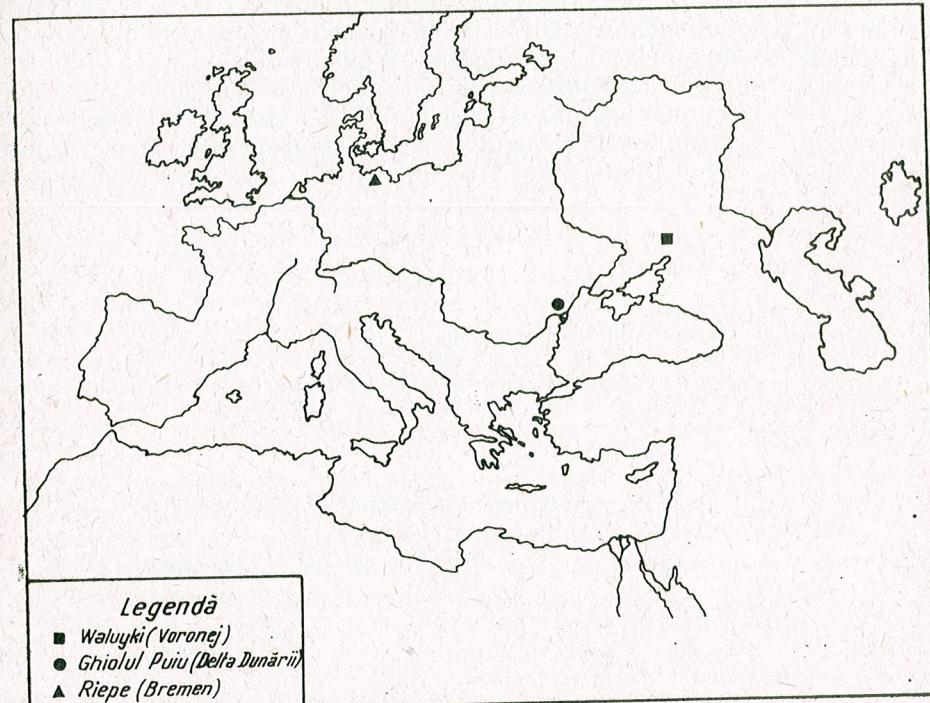


Fig. 3. — Distribuția geografică a speciei *Agroeca dentigera* în lume.

În ce privește repartiția speciei *A. dentigera* în lume, aceasta este extrem de simplu de conturat. Harta din figura 3 schițează arealul speciei ca o suprafață foarte restrinsă în interiorul continentului european, marcînd-o în partea răsăriteană mai întîi, în sudul Uniunii Sovietice (1), iar apoi, la o considerabilă distanță în timp, cunoșînd și această extensiune geografică recentă care-i lărgeste teritoriul de distribuție înspre zona centrală a Europei.

Prin cuprinderea în arealul ei a R.F. Germania și acum a României, *Agroeca dentigera*, o specie extrem de rară, sugerează totuși ideea existenței ei și în alte părți ale continentului, sau cel puțin în țările limitrofe României.

(Avizat de prof. R. Codreanu.)

*AGROECA DENTIGERA KULCZYNSKI 1913*  
*(ARAN., CLUBIONIDAE) EINE SELTENER ART, NEUE FÜR*  
*DIE RUMÄNIENS FAUNA*

ZUSAMMENFASSUNG

Der Verfasser meldet für die Araneidenfauna von Rumänien eine neue und sehr seltene Art, *Agroeca dentigera* Kulczynski Vertreter der Familie Clubionidae, auf Grund eines einzigen in einem Schilfbestand („plaur“) des Donaudeltas gesammelten Weibchens.

Merkwürdig und erwähnenswert ist auch die Tatsache dass das hier erwähnte Exemplar als das drittbekannte der ganzen Welt gilt und wie die vorher gefundenen, ebenfalls ein Weibchen. Der neue Fund erstreckt und vervollständigt die Arealkenntnis dieser seltenen Art in Europa.

BIBLIOGRAFIE

1. BONNET P., Bibliographia Araneorum (Toulouse), 1955, 2, 1.
2. BRAUN R., Senck. biol., 1967, 48, 3, 179–181.
3. KULCZYNSKI V., Arachnoidea, in VELITSCHOVSKY V., Faune du district de Walouyki du gouvernement de Woronège (Russie,) 1913.

*Facultatea de biologie  
Bucureşti 35, Splaiul Independenței nr. 91–95*

Primit în redacție la 27 noiembrie 1972

UN NOU GEN PENTRU FAUNA ROMÂNIEI : MACEDONICA  
O. BOETTGER, DIN FAMILIA CLAUSILIIDAE  
(GASTROPODA), IDENTIFICAT PRIN UTILIZAREA  
UNOR METODE BIOCHIMICE ÎN TAXONOMIE

DE

AL. V. GROSSU și C. TESIO

Taking into consideration the biochemical characterisation of the species belonging to *Cochlodina* genus from the *Clausiliidae* Family and analysing the patterns of nonsspecific esterases (obtained by electrophoresis), it was stated that *C. marginata* Rossmässler from the same genus, show a very different patterns. Following with attention the anatomical and ecological characters too, clase to the biochemical oves, it was proved that this species belong to an apart genus, new for the Romanian fauna, *Macedonica* O. Boettger. This genus is represented by some species, spread over Macedon, Servia, Albania and Bulgaria and *Macedonica marginata* is the single species of the genus, as a balcanic faunistic element, with a geographic area restricted to the south-west region of Romania.

În comparație cu cercetările din Europa centrală și de vest, inventarul faunistic al României a început să fie alcătuit cu mult mai tîrziu. Așa se explică îmbogățirea permanentă a faunei noastre cu noi specii, numărul mare al acestora fiind condiționat într-o bună măsură și de poziția geografică pe care o are țara noastră. Nu este suficientă însă numai determinarea și enumerarea speciilor, ci este necesară gruparea lor în genuri și familii, stabilindu-se astfel înrudirea dintre ele, legăturile lor filogenetice. Această operație sistematică de cele mai multe ori este destul de dificilă, deoarece trebuie căutate cu multă grijă unele caractere comune la nivel de gen sau familie.

Pentru gasteropode, de altfel ca și pentru alte grupe de animale, în alegerea acestor caractere s-a recurs la criterii morfologice și anatomiche. La început cochilia și mai târziu sistemul sexual au reprezentat aproape singurele criterii care au stat la baza actualei clasificări. Cercetări recente au arătat însă că există numeroase convergențe greu de identificat, atât în ceea ce privește forma cochiliei, cât și organizarea anatomică în unele cazuri, încit aceste criterii clasice utilizate în taxonomie nu totdeauna izbutesc să clarifice gruparea speciilor în unități sistematice superioare. Așa se întâmplă cu numeroase clausiliide, care au făcut deja obiectul unor cercetări și asupra căroro noi am propus unele revizuiri mai ales pe baza unor criterii biochimice utilizate în taxonomie, și anume electroforeza esterazelor nespecifice (4), (5), (6), (7).

Urmărind obținerea unor modele electroforetice pentru speciile genului *Cochlodina* Férußac, 1921, specii care se găsesc în fauna României (3), am constatat că *C. marginata* Rossmässler, 1835, dă un model diferit față de celelalte specii. Din cercetările noastre, ca și din informațiile din literatura consultată, se știe că fiecare specie își are un model electroforetic caracteristic prin poziția, grosimea și numărul benzilor obținute. S-a constatat de asemenea — și rezultatele cercetărilor noastre făcute la diferite specii au confirmat aceasta — că speciile care aparțin aceluiași gen prezintă în modelele obținute, analizate comparativ, cîteva benzi comune, de aceeași intensitate și cu aceeași viteză de migrare, care permit astfel a fi grupate împreună în același gen (5), (6).

Această neconcordanță găsită de noi pentru speciile genului *Cochlodina* a reprezentat un semnal de alarmă pentru o mai atentă verificare. De obicei caracterele biochimice se suprapun, în majoritatea cazurilor cercetate de noi, cu caracterele morfologice sau anatomice, reprezentând deseori numai o verificare a identității speciilor și a genurilor la nivel molecular. Pornind deci de la această constatare, am început o analiză mai atentă a tuturor caracterelor, pentru a stabili care este identitatea lui *Cochlodina marginata*, și anume căruia gen aparține.

Cochilia acestei specii prezintă multe asemănări cu celelalte specii ale genului *Cochlodina*, este netedă, rezistentă, de culoare brun-roșcată, iar apertura prevăzută cu o anumită armătură; caracteristic apare faptul că această apertura este întărită mult prin existența unui chenar îngroșat care la exterior apare net vizibil printr-o dungă galben-roșcată, ceea ce nu întâlnim la alte specii (fig. 1). Acest lucru, alături de altele, a fost considerat caracter pentru diferențierea acestei specii față de altele.

Anatomia sistemului sexual ne arată existența unui penis scurt și strangulat puțin în partea sa superioară, cu un atrium genital mult dilatat, iar diverticulul receptaculului seminal este subțire și mult alungit; aceste caractere sunt diferite de ceea ce întâlnim la celelalte specii ale genului respectiv. Variația dimensiunilor diferitelor organe — și mai ales a penisului —, găsite la populații care aparțin unor localități sau zone de răspândire distanțată, nu diminuează valoarea acestor caractere indicate, deoarece ele își păstrează o anumită proporție și asemănare (fig. 2). și aceste caractere anatomici, probabil insuficient cunoscute sau insuficient analizate, au fost acceptate pentru diferențierea speciei.

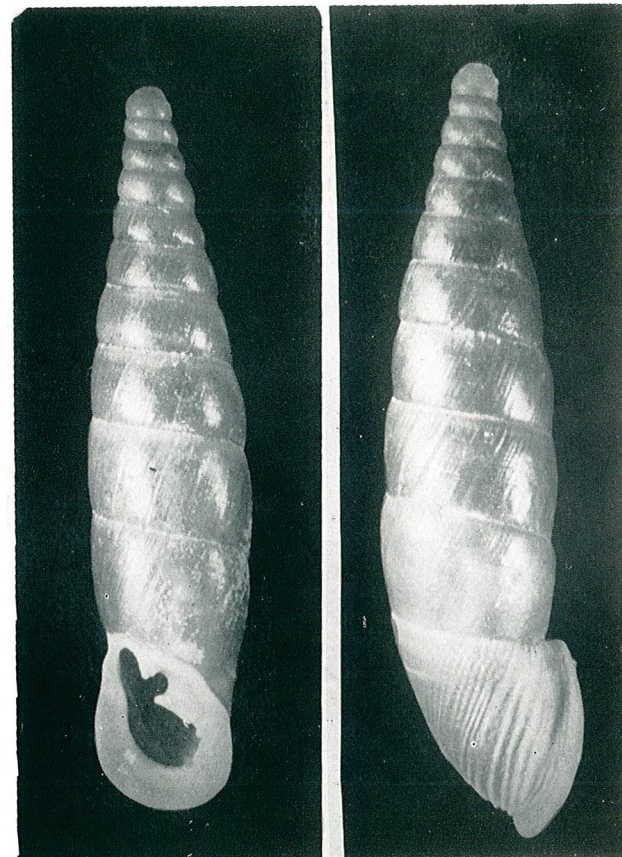


Fig. 1. — *Macedonica marginata* Rossmässler.

Revenind la analiza biochimică, care a semnalizat diferență, aceasta este făcută după metodele cunoscute (6).

Modelele obținute pentru *Cochlodina orthostoma* Menke (fig. 3 c) sunt mult diferite de ceea ce am obținut pentru aşa-numita *Cochlodina*

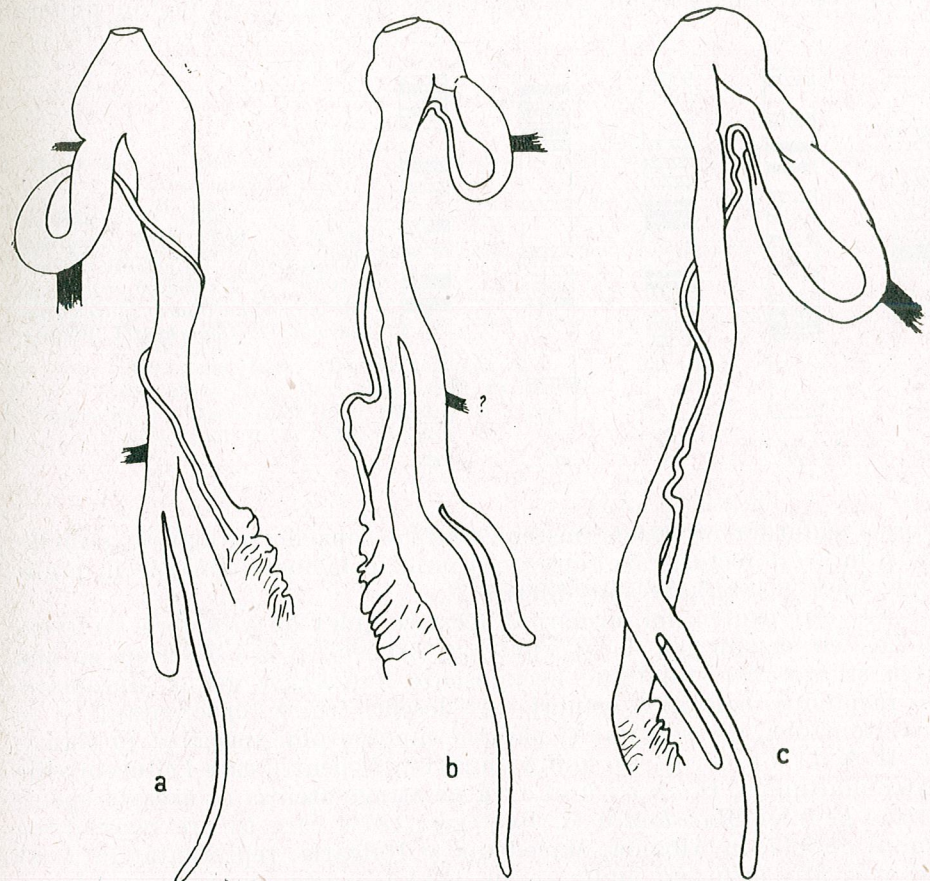


Fig. 2. — Sistemul sexual de la *Macedonica marginata* Rossini cu mici variații la populațiile de la : a, Aref — Argeș (Hidrocentrală electrică); b, Rudăreasa — Lotru; c, Ciungu — Lotru.

*marginata* (fig. 3 a), mai ales că pentru *C. laminata* Montagu modelul electroforetic are caracter de asemănare cu *C. orthostoma* (în figura noastră de comparare am pus numai unul dintre aceste două modele). Pentru verificarea noastră, noi am urmărit aceste modele electroforetice și la specii care aparțin la genuri diferite, tot dintre clausiliide, și am obținut într-adevăr modele diferite pentru fiecare. Comparând astfel modelele obținute de la *Clausilia cruciata* Studer, *Laciniaria plicata* Draparnaud și *Alopia bielzi* L. Pfeiffer (fig. 3), constatăm, într-adevăr, diferențe, la nivel de gen, în ceea ce privește poziția, gruparea și viteza de migrare a

benzilor, care situează pe *Cochlodina marginata* separat față de *C. orthostoma*. Nu ne-am limitat numai la aceste caractere, care ar fi fost suficiente pentru separarea acestor două specii în genuri diferite, ci am urmărit și biotopul în care trăiesc ele. Mareea majoritate a exemplarelor colectate în România se găsesc localizate pe peretii golași ai șisturilor cristaline, în timp ce restul speciilor genului *Cochlodina* își au ca biotop preferat

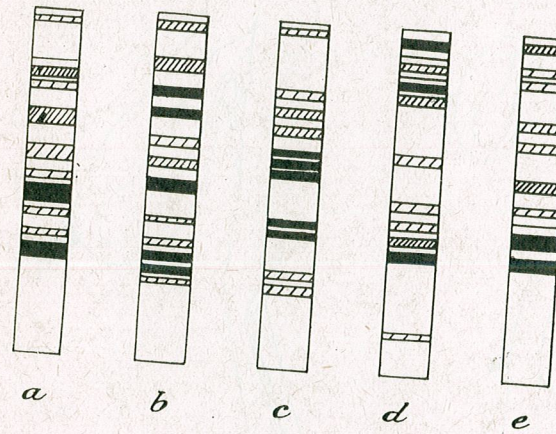


Fig. 3. — Modele electroforetice de la: a, *Macedonica marginata* Rossmässler; b, *Clausilia cruciata* Studer; c, *Cochlodina orthostoma* Menke; d, *Lacinularia plicata* Draparnaud; e, *Alopia bielzi* L. Pfeiffer.

parterul pădurilor: frunzar, bușteni, scoarța copacilor și mai rar stîncile. Deci și în acest sector, care reprezintă mult în biologia unei specii, preferințele lui *C. marginata* sănătătoare.

Era clar pentru noi, urmărind acest complex de caractere, că avem de-a face cu un nou gen. La început am fost ispiți să-l descriem ca nou pentru știință, dar, fiindu-ne necunoscute numeroase genuri apropiate, fauna României, am solicitat și părerea cunoșcutului specialist în clausiliide, H. Nördsieck. Cu multă bunăvoie, pentru care-i aducem viile apartine genului *Macedonica* O. Boettger, 1877, care își are răspândirea în sudul Serbiei, în Albania, Macedonia și Bulgaria, reprezentat în acest areal geografic prin mai multe specii. Dintre aceste specii, numai *Macedonica marginata* Rossm. se găsește în România. Documentările noastre biochimice vin și întăresc separarea acestor specii făcută recent din genul *Cochlodina* pe bază anatomică. După consultarea literaturii și după analiza probelor noastre din colecție, în România *Macedonica marginata* își are o răspândire limitată numai în munții Banatului, în porțiunea de sud a Transilvaniei și în Carpații Occidentali, pînă în Bucegi, zonă unde găsim și alte elemente balcanice (1), (2).

Se impune însă o verificare mai atentă a localităților citate în literatură, pentru a stabili repartitia ei în România.

Pornind de la rezultate biochimice neconcordante la speciile genului *Cochlodina*, am izbutit deci să restabilim apartenența unei specii altui gen și să identificăm în același timp prezența acestui nou gen în fauna noastră, gen care are o răspândire balcanică. *Macedonica marginata*

reprezintă deci o specie sudică, măringind numărul acestor elemente care se găsesc în nordul Dunării. Acest gen, alături de *Cochlodina*, aparține, din punct de vedere sistematic, tribului *Cochlodineae* din subfamilia *Alopinae* (8), (9).

(Avizat de prof. Al. V. Grossu.)

#### BIBLIOGRAFIE

1. BIELZ E.A., *Fauna de Land und Süßwasser-Mollusken Siebenbürgens*, Edit. S. Filtsch, Hermannstadt, 1867.
2. CLESSIN S., *Die Molluskenfauna Österreich-Ungarns und der Schweiz*, Edit. E. Küster, Nürnberg, 1887.
3. GROSSU AL.V., *Gastropoda Pulmonata, Fauna Republicii Populare Române*, Edit. Acad. R.P.R., București, 1955, 3, 1.
4. GROSSU AL.V., TESIO C., MEŞTER L., *Natura*, 1971, 6, 11–19.
5. GROSSU AL.V., TESIO C., *Atti Soc. It. Sc. Nat. e Museo civ. St. Nat. Milano*, 1971, 112, 3, 289–300.
6. — *Rev. roum. Biol. Série de Zoologie*, 1972, 17, 5, 335–348.
7. — *An. Univ. Buc., Biol. anim.* 1972, 21, 41–46.
8. NORDSIECK H., *Arch. Moll.* 1969, 99, 5/6, 247–265.
9. — *Arch. Moll.* 1972, 102, 1, 1–52.

*Facultatea de biologie  
București 35, Splaiul Independenței nr. 91–95*

Primit în redacție la 24 noiembrie 1972

CERCETĂRI ASUPRA HELMINTOFAUNEI UNOR  
SPECII DE INSECTIVORE (MAMMALIA) CORELATIV  
CU HRANA LOR

DE

ELENA CHIRIAC și ALEXANDRA POPESCU

In this paper are presented Trematoda species new for the Romanian fauna. The authors discuss the possibility that the insectivorous mammals be infected with trematodes through their food.

În continuarea cercetărilor întreprinse de noi asupra parazitofaunei mamiferelor mici din România, am avut prilejul să colectăm noi materiale helmintologice, a căror prelucrare a condus la îmbogățirea datelor existente în literatura românească (1), (2), (3), (4), (5), (7), (9).

Dintre speciile de mamifere mici capturate de noi în perioada anilor 1968—1973, insectivorele au fost mai intens parazitate de helminți; ele au fost reprezentate în materialul analizat de noi prin următoarele specii: *Erinaceus europaeus* L. (*Erinaceidae*), *Talpa europaea* L. (*Talpidae*), *Sorex araneus* L., *S. minutus* L., *Neomys fodiens* Pennant, *N. anomalus* Cabrera, *Crocidura suaveolens* Pal., *C. leucodon* Hermann (*Soricidae*). Având o largă răspîndire în țara noastră, populînd biotopi variați din zona de stepă, silvostepă, colinară și montană, insectivorele colectate de noi în perioadele de primăvară, vară și toamnă provin din următoarele localități: Jijila, Zebil (jud. Tulcea), Hagieni (jud. Constanța), Cernica, Roșu, Mihai Bravu (jud. Ilfov), Deveselu (jud. Olt), Sinaia, Predeal, Muntele Roșu (jud. Prahova), Piatra Graiului (jud. Brașov), Rucăr (jud. Argeș), Ieșenița (jud. Mehedinți), Gavajdia (jud. Timiș), Mada (jud. Hunedoara).

Deși aceste specii de insectivore trăiesc în habitate foarte variate ca înfățișare (terenuri întărite și cultivate, haturi cu tuși sau garduri vii, grădini, livezi, izlazuri, malurile apelor, liziera pădurilor, păduri de foioase, amestecate și de conifere etc.), hrana lor este preponderent insectivoră, fiind alcătuită în mare parte din insecte (coleoptere, diptere, lepidoptere, ortoptere) în diferite stadii de dezvoltare, miriapode, arahnidă, gasteropode mici, rîme, precum și alte specii de viermi. Hrana chităcanilor de apă este completată în mod frecvent cu peștișori și mormoloci de broască ori tritoni. Dar, dintre toate aceste specii de insectivore, aricile și chităcanii au regimul de hrănă cel mai variat, consumând, pe lîngă grupurile de nevertebrate amintite, și amfibieni, reptile, pui de păsări, mici mamifere și chiar fructe.

De remarcat că hrana, asemănătoare în linii mari la insectivore, prezintă totuși variații mai mult sau mai puțin importante în ceea ce privește ponderea componentelor alimentare, în funcție de preferințele speciei, biotopul populat, sezon etc. Aceste variații influențează într-un anumit grad și compoziția specifică a helminfofaunei, în special a celei intestinale. Astfel, regimul de hrănă aproape exclusiv animal, din care nu lipsesc insectele, miriapodele, gasteropodele etc., explică infestarea acestor mici mamifere cu un mare număr de specii de helminți, între care trematodele.

#### REZULTATE

În tabelul nr. 1 este prezentată sinoptic situația generală a infestării animalelor-gazdă cu diferiți helminți. După cum se poate vedea

Tabelul nr. 1

Situația generală a infestării insectivorelor cu diferiți paraziți

Nr. crt.	Gazda	Nr. expl. exam.	Nr. expl. infest.	Ext. inv. %	TREMATODE		CES-TODE	NEMA-TODE
					Nr. gazde infest.	Nr. specii tremat.		
1.	<i>Talpa europaea</i> L.	8	4	50	1	1	—	4
2.	<i>Crocidura suaveolens</i>	20	7	35	5	3	—	7
3.	<i>Crocidura leucodon</i>	7	4	57	1	1	1	4
4.	<i>Sorex araneus</i>	13	13	100	3	4	11	11
5.	<i>Sorex minutus</i>	2	2	100	—	—	1	2
6.	<i>Neomys fodiens</i>	1	—	—	—	—	—	—
7.	<i>Neomys anomalus</i>	1	—	—	—	—	—	—
8.	<i>Erinaceus europaeus</i>	6	6	100	1	1	2	6

din acest tabel, toate insectivorele au fost găsite infestate, cu excepția speciilor *Neomys fodiens* și *N. anomalus*, din care însă nu am avut decât câte un singur exemplar, ceea ce, desigur, este neconcludent. Helmintii colectați și determinați aparțin claselor *Trematoda*, *Cestodes* și *Nematodes*, cu predominanță acestora din urmă. În lucrarea de față ne oprim asupra trematodelor, între care am întîlnit specii mai puțin sau deloc cunoscute pînă în prezent pe teritoriul țării noastre.

Lista trematodelor găsite cuprinde următoarele 9 specii, aparținând la 4 familii diferite:

Fam. BRACHYLAEMIDAE (gazde intermediare: moluște-moluște)

1. *Ithyogonimus talpae* (Goeze, 1782)
2. *Brachylaemus erinacei* Blanchard, 1847
3. *Leucchloridium soricis* Solty, 1952
4. *Panopistus europaeus* Solty, 1952

Fam. OMPHALOMETRIDAE (gazde intermediare: moluște-insecte)

5. *Neoglyphe locellus* Kossack, 1910
6. *Rubenstrema exasperatum* (Rud., 1819)
7. *Rubenstrema opisthotellinum* (Solty, 1954)

Fam. PROSTHOGONIMIDAE (gazde intermediare: moluște-insecte)

8. *Cephalotrema minutum* Baer, 1943

Fam. DICROCOELIIDAE (gazde intermediare: moluște-insecte)

9. *Lyperoscum soricis* (Diesing, 1858)

1. *Ithyogonimus talpae* (Goeze, 1782); găsită în număr de 2 exemplare, împreună cu nematode, într-un intestin de *Talpa europaea* capturat la Mada (2.VI.1972). Specie larg răspîndită în Europa (Franța, Danemarca, R.D.G., R.F. Germania, Polonia, U.R.S.S. etc.), o menționăm aici pentru prima oară în România (vezi fig. 1).

2. *Brachylaemus erinacei* Blanchard, 1847; specie reprezentată în materialul nostru printr-un singur exemplar găsit într-un intestin de *Erinaceus europaeus* capturat în pădurea Hagieni la 26 martie 1972. Ca și specia precedentă, este larg răspîndită în Europa și cu acest prilej se citează pentru prima dată și în fauna țării noastre (vezi fig. 2).

3. *Leucchloridium soricis* Solty, 1952; trematod găsit în număr de 4 exemplare (împreună cu alte specii de cestode și nematode) în intestinul unui individ de *Sorex araneus* capturat la Muntele Roșu (august 1972). Specia, semnalată pînă acum în Polonia și Cehoslovacia, se menționează aici pentru întîlia oară în România (vezi fig. 3).

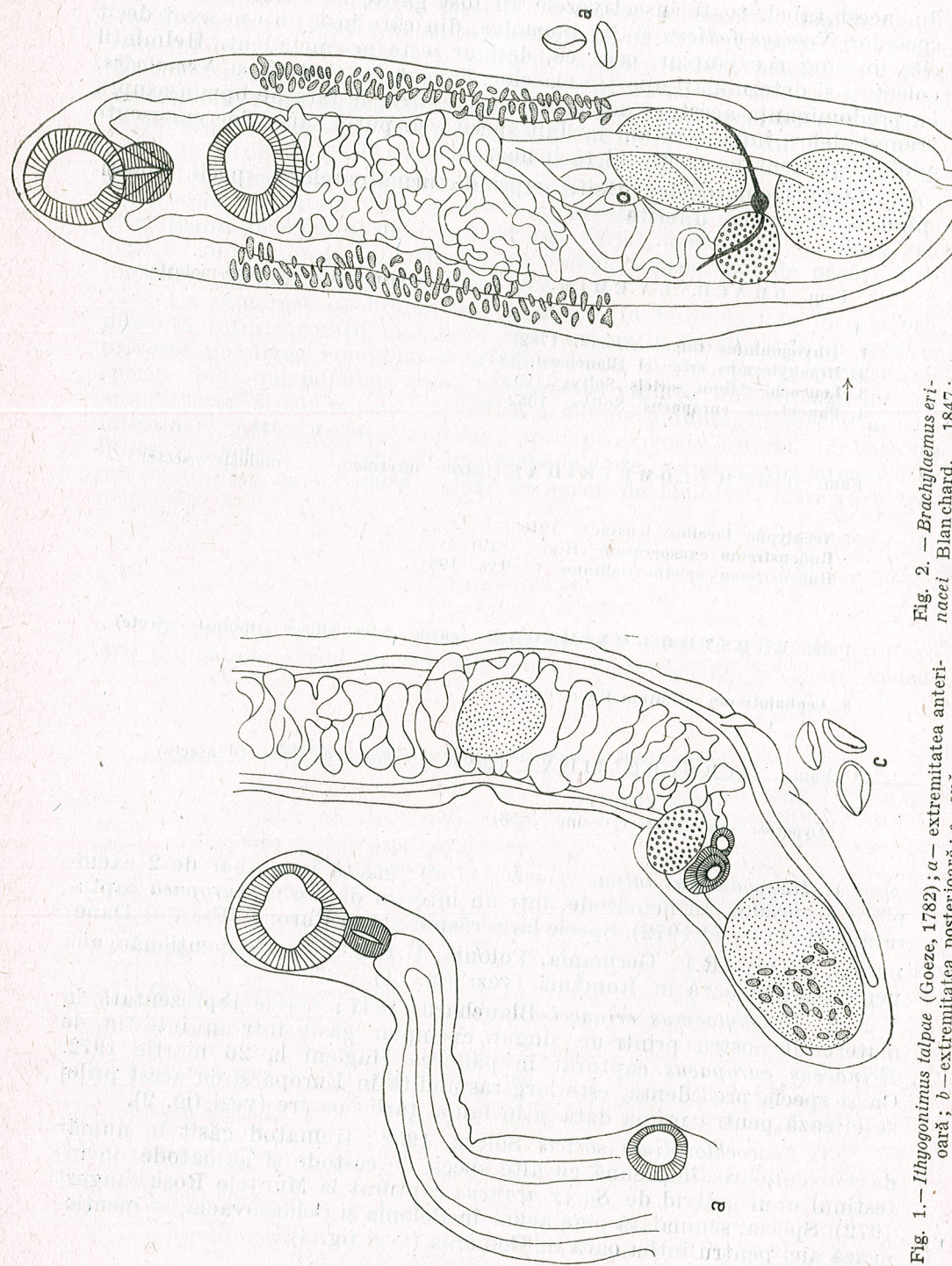


Fig. 1. — *Ithygonimus talpe* (Goze, 1782); a — extremitatea anterioară; b — extremitatea posteroară; c — ouă.

4. *Panopistus europaeus* Soltys, 1952 ; un singur exemplar, împreună cu cestode, în intestinul unui *Sorex araneus* capturat la Sinaia (17 aprilie 1970). Specia, cunoscută în Europa centrală (Polonia, Cehoslovacia), o menționăm acuma pentru prima dată în România (vezi fig. 4).

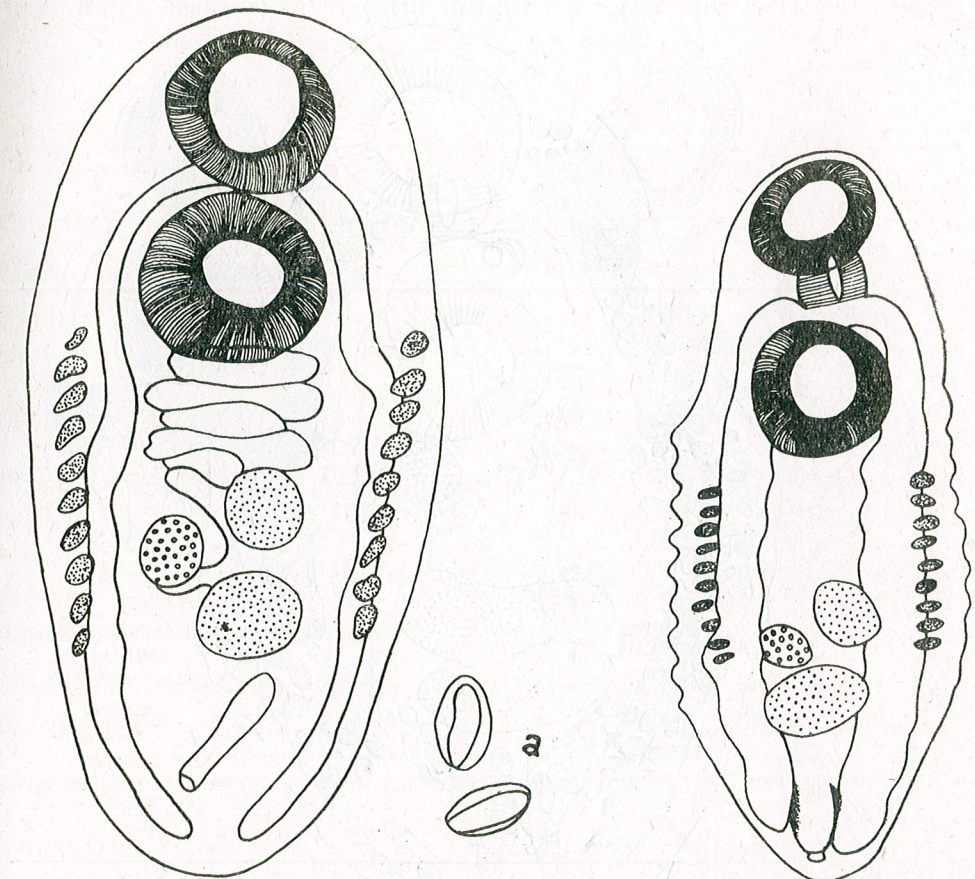


Fig. 2. — *Brachylaemus erinacei* Blanchard, 1847; a — ouă.

Fig. 3. — *Leucchloridium soricis* Soltys, 1952; a — ouă.

Fig. 4. — *Panopistus europaeus* Soltys, 1952; exemplar imatur, fără ouă.

5. *Neoglyphe locellus* Kossack, 1910 a fost identificată alături de nematode în intestinul de *Crocidura suaveolens* capturată la Jijila, noiembrie 1968. Specie cunoscută în Europa centrală și U.R.S.S., este menționată în lucrarea de față pentru prima dată în fauna țării noastre. Prezintă o mare variabilitate individuală (vezi fig. 5).

6. *Rubenstrema exasperatum* (Rud., 1819); întîlnită parazitind împreună cu nematode în intestinul de *Crocidura suaveolens* provenite de la Jijila (mai și noiembrie 1962). Specia, larg răspândită în Europa la

diferite insectivore, în special de genul *Crocidura*, prezintă o mare variaabilitate individuală.

7. *Rubenstrema opisthovitellinum* (Soltys, 1954) a fost găsită, singură sau cu nematode, parazitând în intestinul de *Crocidura suaveolens* și *C. leucodon* (Jijila, noiembrie 1968). Specia, tot atât de răspândită ca și

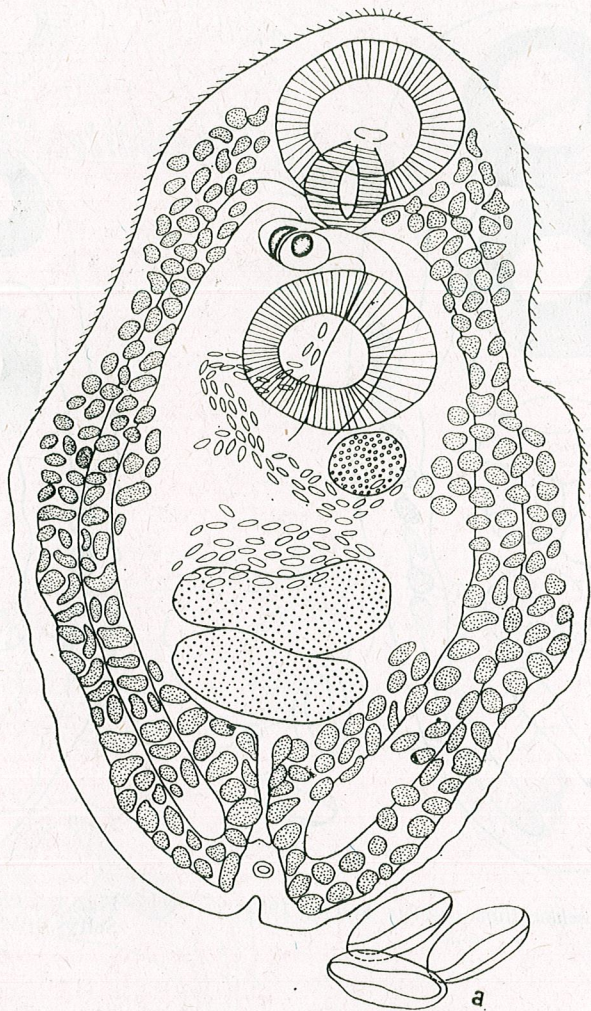


Fig. 5. — *Neoglyphe locellus* Kossack, 1910; a — ouă.

precedenta, a fost deja semnalată în România de Chiriac și Barbu (1) la *Crocidura suaveolens* capturată lîngă Măcin.

8. *Cephalotrema minutum* Baer, 1943 a fost întîlnită o singură dată, în număr de 2 exemplare, alături de nematode și cestode, în intestinul unui *Sorex araneus* parazitat în același timp și de trematodul *Lyperosomum soricis*. Animalul-gazdă a fost capturat la Gavajdia, în pădure pe,

marginea rîului Runcu (3 iunie 1972). Acest trematod, cunoscut în fauna Elveției, Cehoslovaciei, se semnalează cu acest prilej și în România (vezi fig. 6).

9. *Lyperosomum soricis* (Diesing, 1858); reprezentată în materialul nostru prin 4 exemplare parazite în canalul choledoc și vezica biliară a unui *Sorex araneus*, în al cărui intestin s-a găsit și specia precedentă.

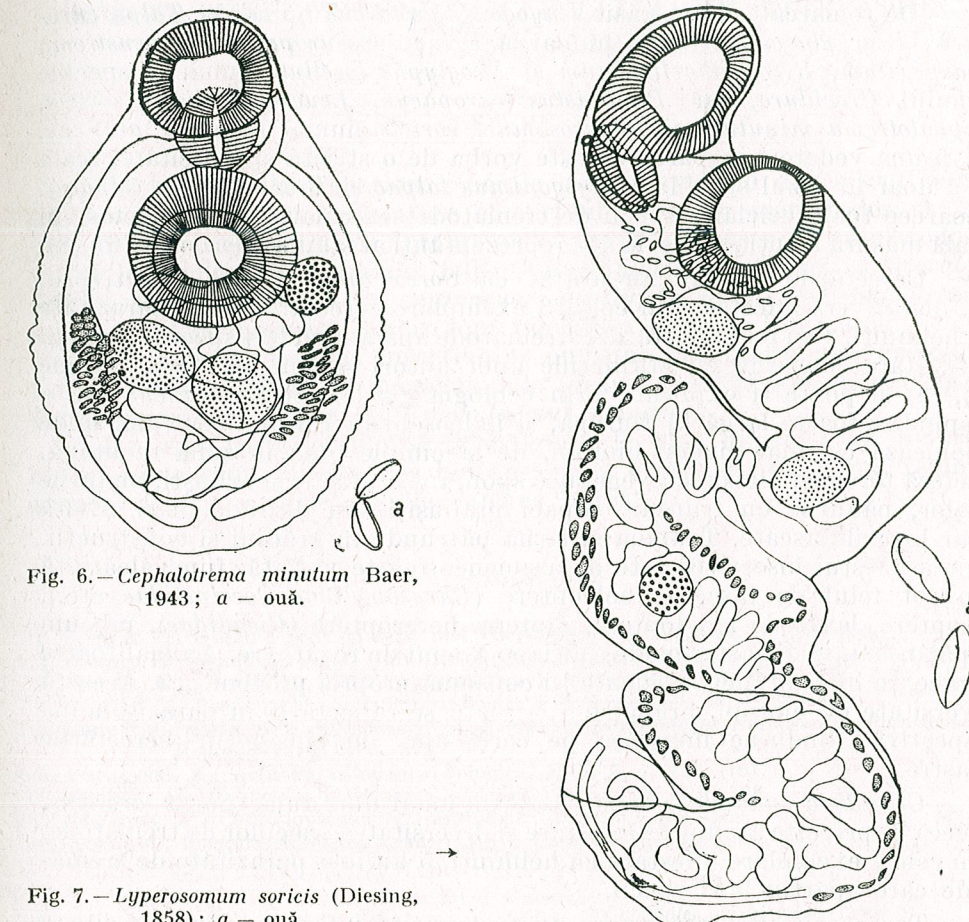


Fig. 6. — *Cephalotrema minutum* Baer, 1943; a — ouă.

Fig. 7. — *Lyperosomum soricis* (Diesing, 1858); a — ouă.

Acet trematod, larg răspândit în Europa (Franța, Elveția, R.D.G., R.F. Germania, Anglia, Cehoslovacia, Ungaria etc.), îl semnalăm aici pentru prima dată în fauna țării noastre (vezi fig. 7).

#### DISCUȚII

Analizînd trematodofauna insectivorelor cercetate, constatăm că este formată din specii cu largă răspîndire în Europa, dintre care multe

au fost deja semnalate în țările vecine (U.R.S.S., Polonia, Cehoslovacia, Ungaria, Bulgaria).

Dintre acestea, mai frecvente în materialul nostru au fost speciile *Rubenstrema exasperatum*, *Neoglyphe locellus* și *Rubenstrema opisthovitellinum*, care au parazitat mai mulți indivizi de *Crocidura suaveolens* și *C. leucodon*. Celelalte specii de trematode au fost întâlnite doar o singură dată și în număr extrem de mic (1–2 exemplare).

De remarcat că am găsit *Ithygonimus talpae* numai la *Talpa europaea*; *Brachylaemus erinacei* numai la *Erinaceus europaeus*; *Rubenstrema exasperatum*, *R. opisthovitellinum* și *Neoglyphe locellus* numai la speciile genului *Crocidura*, iar *Panopistus europaeus*, *Leucochloridium soricis*, *Cephalotrema minutum* și *Lyperosomum soricis* numai la *Sorex araneus*. La prima vedere s-ar părea că este vorba de o strictă specificitate, reală însă doar în cazul speciilor *Ithygonimus talpae* și *Brachylaemus erinacei*, deoarece toate celelalte specii de trematode semnalate de noi au fost în egală măsură menționate și la alți reprezentanți ai familiei *Soricidae* (6), (8).

Cercetările noastre au arătat că *Sorex araneus* este insectivorul cel mai divers infestat (din cele 13 exemplare cercetate, toate parazitate cu helminți, 3 au fost infestate cu trematode aparținând la 4 specii). Această constatare concordă cu afirmațiile unor autori străini din țările vecine (6), (8) și poate fi explicată prin ecologia gazdei. *Sorex araneus* are o răspândire foarte largă în Europa, și îndeosebi în Europa centrală, unde populează cei mai diversi biotopi, de la cîmpie pînă în zona montană. Preferă terenuri umede cu vegetație spontană, tufișuri și arbusti, malurile apelor, pădurile cu frunză, copaci prăbuși sau dezradăcați. Evită doar locurile uscate. Toamna și iarna pătrunde în grădini și construcții. Hrana acestui insectivor este de asemenea foarte variată, fiind alcătuită din tot felul de insecte: coleoptere (*Chrysomelidae*, *Coccinellidae* etc.), ortoptere, larve de lepidoptere, diptere, heteroptere (*Cicadidae*), precum și păianjeni, mici gasteropode, miriapode, pui de rozătoare. Animal foarte vorace, în lipsa hranei suficiente își consumă propria progenitură. Această diversitate de biotopi, hrănă, fel de viață se reflectă și în parazitofauna respectivă, dîndu-ne imaginea pe care am surprins-o în cercetările noastre.

*Crocidura suaveolens* se situează pe locul doi, după *Sorex araneus*, în ceea ce privește gradul de infestare și diversitatea speciilor de trematode. Din cele 7 exemplare infestate cu helminți, 5 au fost parazitate de trematode care aparțin la 3 specii.

Toate celelalte insectivore au fost găsite infestate doar cu cîte o specie de trematode, extensiunea invaziei fiind de 1, iar intensitatea de asemenea scăzută de 1–3 exemplare într-o gazdă.

Trematodele semnalate de noi în lucrarea de față aparțin unor familii ai căror reprezentanți au nevoie în dezvoltarea lor de două gazde intermediare, și anume: moluște (gasteropode), în care ajung pînă la stadiul de cercar (toate familiile), și moluște-gasteropode (*Brachylaemidae*, *Dicrocoeliidae*) sau insecte (*Omphalometridae*, *Prosthognathidae*, *Dicrocoeliidae*), în care se închistează metacercarul. Trematodele mai variate întâlnite la *Sorex araneus* atestă diversitatea componentelor alimentare

ingerate de acest insectivor. Cercetările vor continua cu analiza celorlalte grupe de helminți.

(Avizat de prof. R. Codreanu.)

## RECHERCHES SUR L'HELMINTHOFAUNE DE QUELQUES ESPÈCES D'INSECTIVORES (MAMMALIA) EN CORÉLATION AVEC LE RÉGIME ALIMENTAIRE

### RÉSUMÉ

On présente la situation générale de l'infestation des insectivores (Mammalia) avec des helminthes et surtout avec des trématodes. À la suite des investigations des auteurs on a trouvé 9 espèces de trématodes, parmi lesquelles *Ithygonimus talpae*, *Brachylaemus erinacei*, *Leucochloridium soricis*, *Panopistus europaeus*, *Neoglyphe locellus*, *Cephalotrema minutum*, *Lyperosomum soricis* sont nouvelles pour la Roumanie.

Les trématodes des insectivores ont une spécificité peu marquée vis-à-vis des hôtes de la même famille (ordre ?), à l'exception peut-être de *Ithygonimus talpae* et *Brachylaemus erinacei*.

De tous les insectivores investigués, le plus infesté s'est montré *Sorex araneus* qui habite des biotopes plus divers et qui a un régime alimentaire plus varié que les autres hôtes.

### BIBLIOGRAFIE

1. CHIRIAC E., BARBU P., St. și cerc. biol., Seria zoologie, 1962, **14**, 4, 385–392.
2. CHIRIAC E., BARBU P., Anal. Univ. Buc., Seria șt. nat. (biologie), 1963, **12**, 181–191.
3. CHIRIAC E., HAMAR M., Acta Parasitologica Polonica, 1966, **14**, 7, 61–72.
4. CHIRIAC E., POPESCU A., Acta Parasitologica Polonica, 1969, **16**, 7, 61–68.
5. CHIRIAC E., POPESCU A., TORCEA St., C.R. du 1er Multicolloque Européen de Parasitologie, Rennes, 1971, 371–372.
6. POJMANSKA T., Acta Parasitologica Polonica, 1957, **5**, 7, 118–161.
7. POPESCU A., St. și cerc. biol., Seria zoologie, 1967, **19**, 6, 501–508.
8. PROKOPIČ J., Československá Parasitologie, 1956, **3**, 109–129.
9. SUCIU M., POPESCU A., Com. Acad. R.P.R., 1962, **12**, 5, 559–564.

Facultatea de biologie,  
Catedra de zoologie-anatomie  
București 35, Splaiul Independenței nr. 91–95

Primit în redacție la 30 noiembrie 1972

O FORMAȚIUNE DEOSEBITĂ OBSERVATĂ ÎN  
CITOPLASMA OVOCITELOR DE NISETRU

DE  
MARIA CALOIANU-IORDĂCHEL

An analysis has been made of the cytoplasm changes in the differentiating sturgeon oocytes by using electron microscopy.

Within the cytoplasm of the oocyte a specific formation occurs which is formed by the stocks of 9–10 microtubules. The microtubules have approximately the same dimensions and the same diameter (270 Å). The structural and the functional significance of the specially-looking formation is discussed.

Numeroase cercetări întreprinse asupra ovocitelor la diferite grupe animale au adus contribuții însemnante la cunoașterea structurii și a dezvoltării acestora pînă la stadiul de ou, a fenomenelor legate de procesul fecundării și al începutului dezvoltării noului organism. Printre aspectele larg descrise se înscriu și cele referitoare la procesul de diferențiere și îmbogățire a citoplasmei în organite și incluziuni (7), (9) etc.

Studiul ovocitelor tinere de nistru relevă în plus existența unei formațiuni deosebite a citoplasmei, pe care o semnalăm în nota de față.

MATERIAL ȘI METODĂ DE LUCRU

Ovocite de diferite dimensiuni au fost prelevate din ovare de nistru (*Acipenser guldenslædtii* Brandt) și fixate inițial în 2 % glutaraldehidă în tampon cacodilat. După spălare rapidă în același tampon, a urmat postfixarea în tetraoxid de osmu în tampon cacodilat, deshidratarea și incluzionarea în araldită. Secțiunile fine au fost colorate cu uranil acetat și citrat de plumb (Raynolds) și examineate la microscopul electronic JEM-7.

## REZULTATE ȘI DISCUȚII

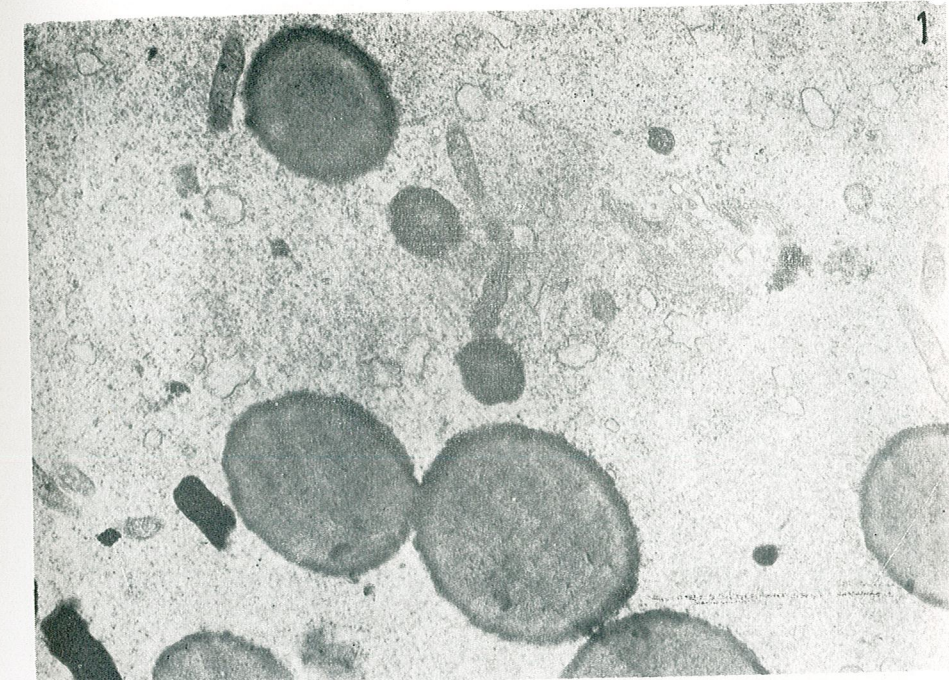
Formarea foliculului în cursul dezvoltării ovocitelor de nisetru, ca de altfel la majoritatea grupelor animale, marchează creșterea intensității procesului de citodiferențiere. În același timp apar noi raporturi cu celulele foliculare înconjurătoare. Contactul dintre suprafața ovocitului și suprafața ventrală a celulelor foliculare, realizat prin joncțiune, curind se modifică datorită formării microviliilor. Zona periferică a citoplasmei ovocitului marchează o serie de transformări calitative cunoscute (1), (2).

Spre deosebire de pești ososi la care citoplasma ovocitului, odată cu formarea microviliilor, se îmbogătește considerabil în organite, la studiori numărul acestora rămîne relativ mai scăzut. Structurile membranoase sunt reprezentate prin: mitocondrii mici, ovoidale sau alungite, cu puține criste și răspândite difuz în citoplasmă; complexe golgiene și numeroase vezicule ale reticulului endoplasmic (pl. I, fig. 1, 2). În citoplasma bogată în ribosomi liberi se remarcă de asemenea apariția a numeroase incluziuni electron-opace de formă rotundă și de dimensiuni variate (pl. I — pl. IV).

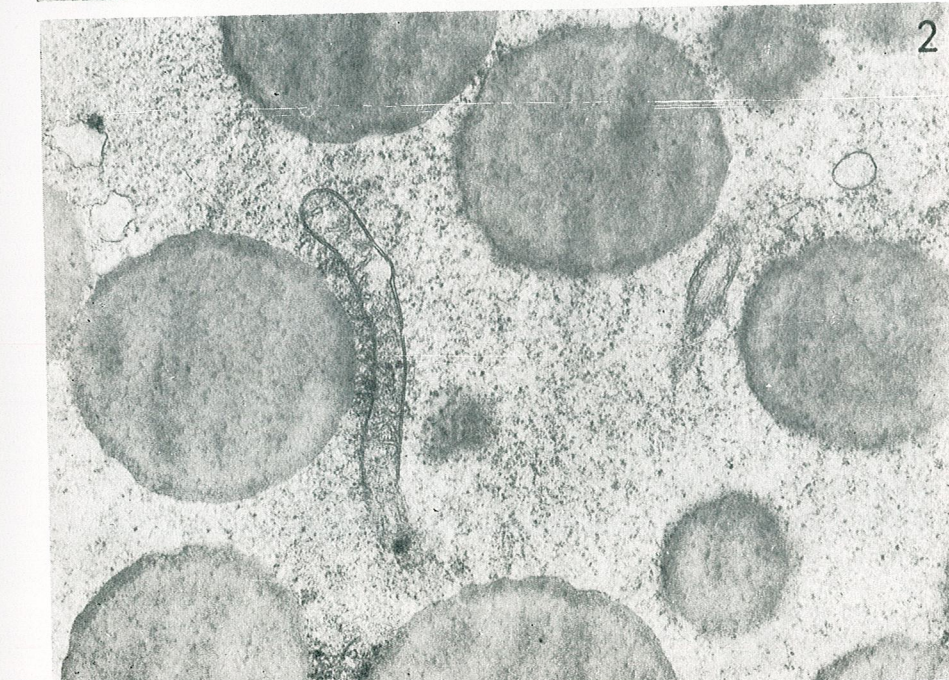
La acest stadiu de dezvoltare se observă în masa citoplasmei existența unei formațiuni deosebite (pl. II, fig. 3; pl. III, fig. 4). Aceasta reprezintă un stoc de microtubuli egali ca grosime, paraleli, cu o dispoziție riguroasă orientată. La o sumară apreciere ar putea fi asemănătă cu un cristaloid (pl. II, fig. 3) de tipul celor descrise în citoplasma ovocitului uman (11), (13).

La o mărire mai puternică (pl. III, fig. 4; pl. IV, fig. 5) se observă că această formațiune este alcătuită din grupuri de 9—10 microtubuli dispuși paralel și la distanțe egale pe toată lungimea lor. Grupurile sunt separate între ele prin unul sau două șiruri de microtubuli cu dispoziție perpendiculară pe acestea și care apar secționată transversal. Microtubuli au o formă perfect rotundă (pl. III, fig. 4) și dimensiuni egale pe toată lungimea lor. Media diametrului este de 270 Å. Pe secțiuni transversale se observă clar pereții microtubulilor, precum și lumenul acestora. Se constată de asemenea că în interiorul microtubulilor se află un conținut omogen și mai dens față de citoplasma înconjurătoare.

Problema interpretării acestei formațiuni și a rolului pe care îl deține în citoplasma ovocitului devine și mai complexă dacă luăm în considerare raportul acesteia cu restul citoplasmei. Secțiuni seriate permit observarea unor raporturi complexe cu citoplasma înconjurătoare. Unii microtubuli din grupurile periferice ale formațiunii își schimbă planul de orientare, îndreptîndu-se spre citoplasma înconjurătoare, în care se dispersează. În apropierea incluziunilor sferice de natură lipidică, microtubulii par să realizeze chiar un contact direct cu acestea (pl. IV, fig. 5). În citoplasma din apropierea grupului de microtubuli se mai pot observa mici fragmente de microtubuli, fine filamente și numeroși corpuseculi densi, de dimensiuni mai mari decît ribosomii. Această structură complexă poate reflecta procesul de fragmentare și de dispersare a microtubulilor în masa citoplasmei și participarea lor la îmbogățirea acesteia în formațiuni membranoase. În același timp însă poate fi interpretată ca rezultat al unui proces de sintetizare și organizare a materialului necesar formării microtubulilor formațiunii.



1



2

Ovocit de nisetru în citoplasma căruia se remarcă prezența a numeroși ribosomi, vezicule ale reticulului endoplasmic, mitocondrii de două tipuri și complex Golgi. De asemenea sunt prezente incluziuni electronopace de formă rotundă.

Fig.1. —  $\times 14\ 400$ .

Fig.2. —  $\times 17\ 000$ .

PLANŞA II

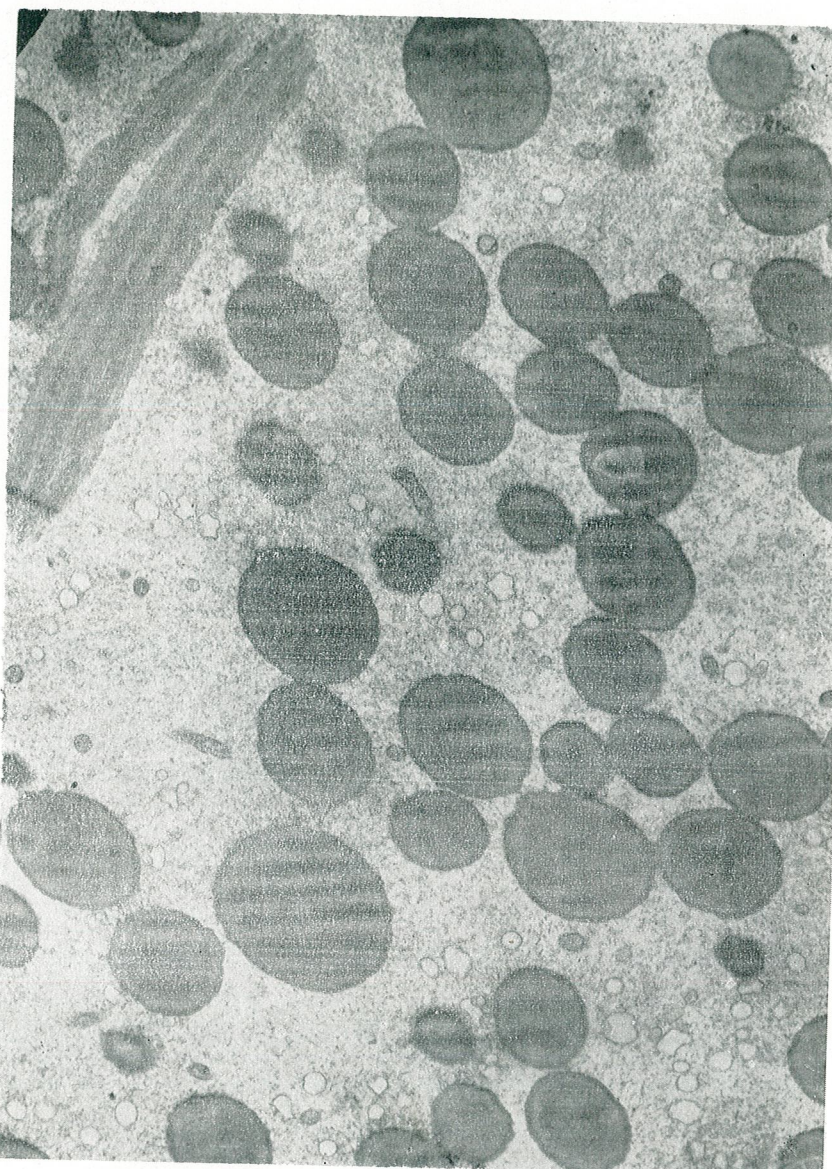


Fig. 3. — Aspectul general al citoplasmei ovocitului în care se află formațiunea alcătuită din microtubuli.  $\times 7\,100$ .

PLANŞA III

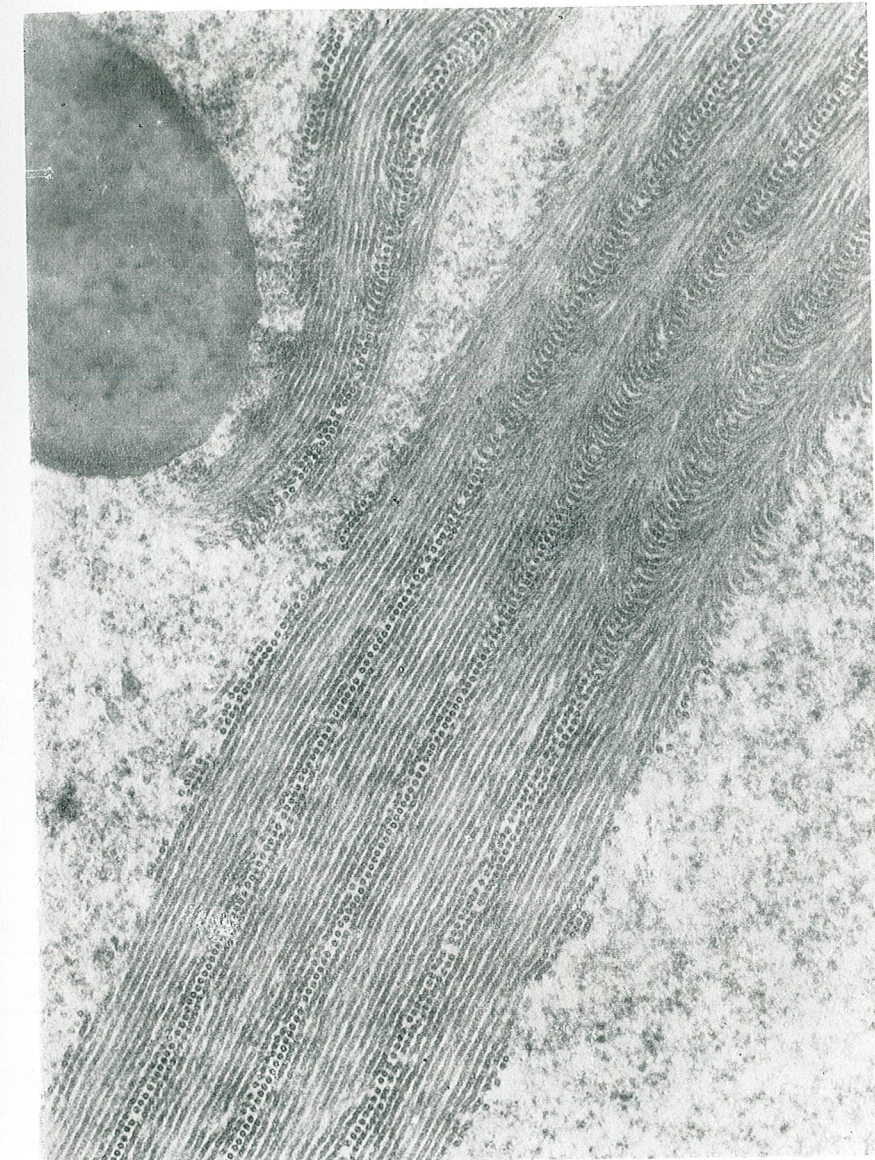


Fig. 4. — La o mărire mai puternică se observă dispoziția regulată și orientată a microtubulilor. În citoplasma înconjurătoare sunt prezente fragmente de microtubuli, fine filamente și numeroși corpusculi denși.  $\times 34\,000$ .

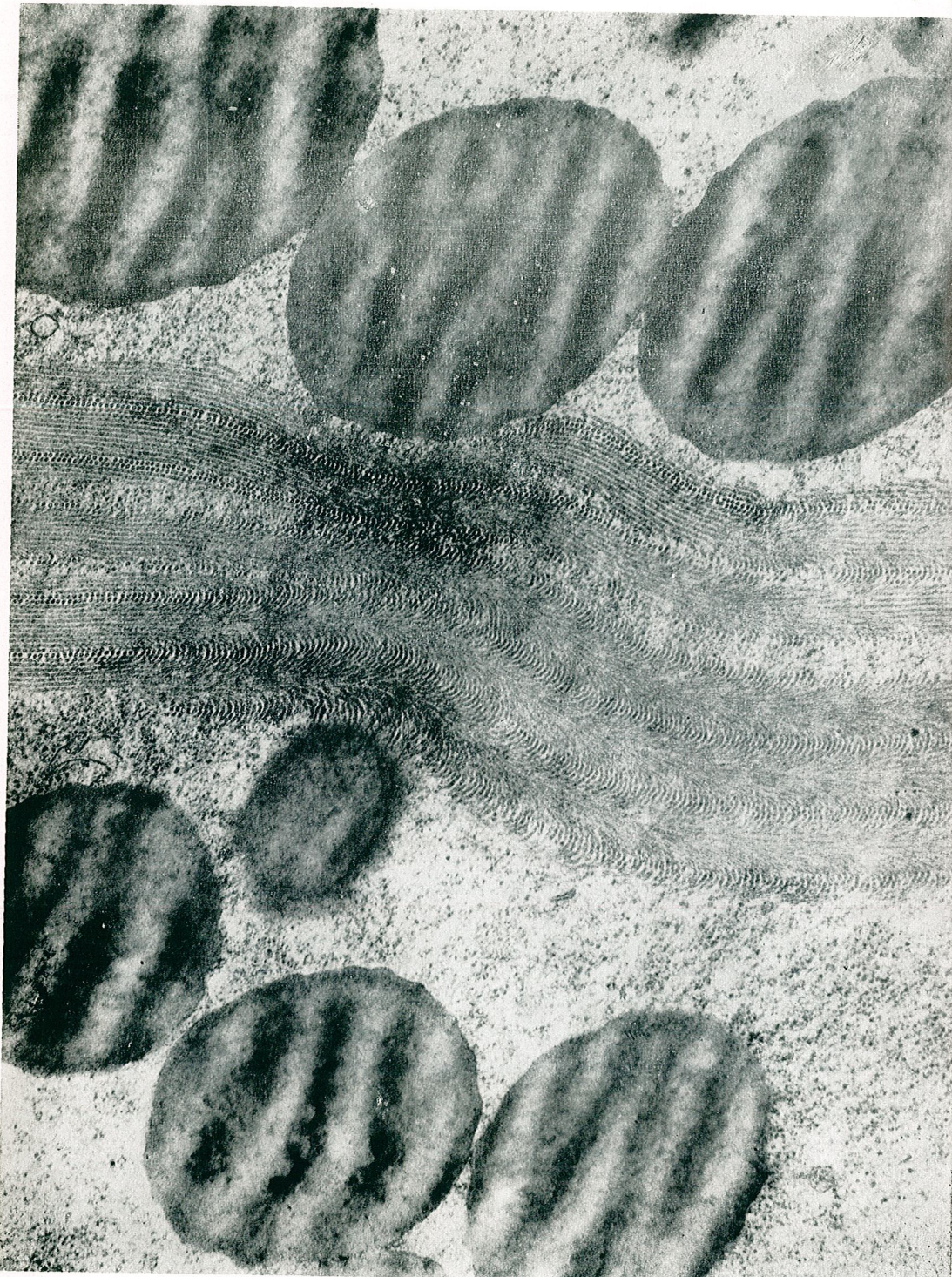


Fig. 5. — Se evidențiază raporturi de contact ale microtubulilor cu incluziunile citoplasmaticice.  $\times 29\,100$ .

Un proces asemănător de formare a microtubulilor în citoplasmă a fost observat de T a y l o r (10). După datele acestui autor, microtubulii cresc rapid în lungime prin adiționarea unor substanțe în lungul microtubulilor sau la capetele lor și constituie un component de bază al celulei vii, participând la organizarea structurilor interne.

S l a u t t e r b a c k (8) distinge două tipuri de microtubuli: un tip de microtubuli cu diametru mic și formă ondulată, care pot fi asociati cu procese metabolice și sintetice, și al doilea tip cu diametru larg și funcție de suport. Diametrul microtubulilor descriși de noi s-ar încadra între aceste două categorii. Diferența ar consta în acest caz numai în expresia organizării moleculare determinată de condițiile specifice citoplasmei ovocitului care se află în plin proces de diferențiere.

Prezența de structuri microtubulare ale reticulului endoplasmic a mai fost semnalată în spermatocite de crustacei (5), oenocyte de greier (4), cromatofori de crustacei (3), în celule tumorale maligne sau benigne de natură histogenetică foarte diversă (6). După datele acestor autori, dimensiunile microtubulilor variază între 15 și 40 m $\mu$ , iar funcțiile îndeplinite sunt diverse. Ca origine, microtubulii pot fi: un produs al secreției intra-ergastoplasmaticice; acumularea unui produs în reticulul endoplasmic; o stocare de fibre fusoriale anormale sau o structură de natură virală. În cazul nostru, considerăm ca origine posibilă acumularea unui material deosebit de către reticulul endoplasmic al citoplasmei ovocitului.

Părerea noastră referitoare la existența unei formații tubulare complexe în masa citoplasmei ovocitelor tinere de nisetru își găsește un sprijin și în observațiile lui Z a h n d și P o r t e (12). Autorii descriu în citoplasma periferică a ovocitelor de *Testudo hermania* grupe de 2 pînă la 10 formații tubulare paralele, cu un diametru de un sfert de micron, iar lumenul acestora conține elemente analoage celor din citoplasma încunjurătoare.

Deși diferite ca grupare și repartizare, prezența grupelor organizate de microtubuli în citoplasma ovocitelor de *Acipenser* și *Testudo* ne conduce la ipoteza că ele constituie un component important al citoplasmei anumitor tipuri de ovocite și participă la organizarea structurilor interne, că poate constitui un element temporar, dar fundamental pentru buna dezvoltare a ovocitului.

(Avizat de prof. E. A. Pora.)

#### SUR UNE STRUCTURE PARTICULIÈRE RENCONTRÉE DANS L'OVOCYTE D'ESTURGEON

#### RÉSUMÉ

Les jeunes ovocytes d'esturgeon (*Acipenser guldentädti* Brandt) ont été examinés au microscope électronique. Après un traitement par la double fixation glutaraldéhyde-tétr oxyde d'osmium, l'étude ultra-

structurale révèle l'existence d'une formation tubulaire particulière dans le cytoplasme.

Des groupes de 9—10 formations tubulaires parallèles sur toute leur longueur sont séparés à une distance égale par 1—2 rangées de formations tubulaires transversales. Malgré la disposition, tous les microtubules ont un diamètre d'environ 270 Å.

Le contenu des tubes est homogène, dense en électrons.

Autour de cette formation tubulaire la structure du cytoplasme est plus complexe, fait qui peut servir à l'interprétation de cette formation et du rôle fonctionnel qu'elle pourrait jouer dans le cytoplasme des jeunes ovocytes. Quant à leurs formation on suggère la participation du réticulum endoplasmique.

#### BIBLIOGRAFIE

1. CALOIANU-IORDACHEL MARIA, Rev. roum. Biol., Série de Zoologie, 1971, **16**, 165—169.
2. — Rev. roum. Biol., Série de Zoologie, 1971, **16**, 6, 371—373.
3. CHASSARD-BOUCHAUD C., HUBERT M., Colloque annuel de micr. électr. Caen, 1971, 39.
4. CASSIER P. et coll., C.R. Acad. Sci. Paris, 1968, série D, 683.
5. MEEK J.A. et coll., J. Biophys. Biochem. Cytol., 1961, **10**, 121.
6. MICCO-PAGIS C., CESARINI J.P., Coll. ann. de micr. électr. Caen, 1971, 80.
7. SLAUTTERBACK D.B., J. Cell. Biol., 1963, **18**, 367.
8. SRIVASTAVA M.D.L., *International Review of Cytology*, Acad. Press, N.Y. and London, 1965, **18**, 73—98.
9. RAVEN CHR., *Oogenesis*, Pergamon Press, N.Y. and London, 1961.
10. TAYLOR A.C., J. Cell. Biol., 1966, **28**, 2, 155—168.
11. WARTENBERG H., STEGNER H.E., Z. Zellforsch. Mikroskop. Anat., 1960, **52**, 450—474.
12. ZAHND J.P., PORTE A., C.R. Acad. Sci. Paris, 1971, série D, 598.
13. ZAMBONI L., MISHELL D.R., BELL J.H., BACA E., J. Cell. Biol., 1966, **30**, 3, 579—599.

Institutul de biologie „Traian Săvulescu”,  
Sectorul de ultrastructuri și microscopie electronică  
București 17, Splaiul Independenței nr. 296

Primit în redacție la 7 decembrie 1972

#### CONTRIBUȚII LA STUDIUL RESPIRAȚIEI INTESTINALE A COBITIDELOR

DE

LOTUS MEȘTER

Eight cobitid species examined by ecological and histological methods present an intestinal respiration. It is interesting to mention that *Cobitis calderoni* from Spain present a pronounced intestinal respiration, similar to that of *Cobitis taenia*. In the structure of the intestinal epithelium two phases were observed: the digestive and the respiratory one. When the intestinal respiration is less pronounced, the digestive phase is longer.

Particularitatea cobitidelor de a utiliza în anumite condiții de mediu sau chiar în mod natural respirația intestinală, ca un mijloc suplimentar de captare a oxigenului atmosferic, reprezintă o adaptare ecofiziologică deosebit de interesantă.

Respirația intestinală a fost cercetată în special la *Misgurnus fossilis*, la care aceasta se manifestă într-un grad mai intens (1)—(5). Lupu (8)—(13) descrie structura tubului digestiv la *Misgurnus fossilis* și la *Cobitis taenia*, urmărind regenerarea epitelului intestinal și corelația modificărilor structurale ale intestinului cu variația procentului hemoglobinei. Wu și Chang (16) analizează specia *Misgurnus anguillicaudatus* din China, evidențiind existența a 2 faze extreme în structura intestinului, iar Podubský (14), prin experiențe de fiziologie, confirmă existența unei respirații intestinale — mai puternică la *Misgurnus fossilis* și mai puțin exprimată la *Noemacheilus barbatulus* și *Cobitis taenia*.

Datele din literatură, destul de controversate, nu permit să se tragă o concluzie justă asupra existenței respirației intestinale la toate speciile de cobitide. De aceea am reluat cercetarea acestei probleme, printr-o

analiză mai detaliată a particularităților de structură ale intestinului, ca și a comportamentului cobitelor în condiții normale și în urma unor adaptări „forțate” la viață în mediu acvatic cu puțin oxigen.

#### MATERIAL ȘI METODE

Au fost cercetați reprezentanți ai următoarelor specii:

1. *Misgurnus fossilis* (L.) — Balta Sîrba (Oltenia);
2. *Noemacheilus barbatulus* L. — Ialomița;
3. *Cobitis taenia* L. — Colentina, Olteț;
4. *Cobitis elongata* Heck & Kner — Nera;
5. *Cobitis calderoni* Băc. — Duero, Spania;
6. *Sabanejewia aurata balcanica* (Kar.) — Olteț;
7. *Sabanejewia romanica* (Băc.) — Olteț;
8. *Sabanejewia bulgarica* (Drenski) — Dunăre.

Metodele utilizate au constat în observații directe asupra comportamentului peștilor în acvariu — în condiții normale și după inducerea unei hipoxii; numărarea mișcărilor lor operculare și fixarea intestinului (în Zenker, Susa, Bouin-Hollande) la pești agitați, cu frecvențe ridicări la suprafața apei. Piese fixate au fost incluse în parafină, secționate la 8μ și colorate cu mucicarmín Mayer și azan.

#### REZULTATE ȘI DISCUȚIA LOR

*Observații ecologice.* Urmărirea comportamentului cobitelor în condiții de laborator ne-a condus la unele observații legate în special de reacția acestora la scăderea cantității de oxigen.

La *Sabanejewia romanica*, prima reacție față de lipsa oxigenului se manifestă prin scoaterea capului vertical din nisip (toată regiunea branhiilor pînă la pectorale); priviți din profil, par niște pari mici înfipăti în nisip, care la apropierea omului se trag brusc înăuntru, încît nu se mai vede decît botul și fruntea. Ulterior, ies cu totul din nisip și respiră foarte rapid (180–210 mișcări operculare pe minut; numărul de mișcări este mai ridicat la juvenili). În condiții unei ape bine aerate, se înfig treptat în nisip.

*Misgurnus fossilis* și *Cobitis taenia* manifestă cea mai crescută rezistență față de lipsa de oxigen. Ambele specii pot trăi timp îndelungat la temperaturi ridicate și la temperaturi scăzute (0°C), iar în caz de hipoxie, frecvența ridicării lor la suprafața apei pentru suplimentare cu aer atmosferic este mai mare decât în condiții normale. *Misgurnus fossilis* s-a dovedit foarte rezistent și față de lipsa hranei; în condiții de laborator, adaptați la două temperaturi diferite (2°C și 25°C) s-au comportat normal, fără a fi hrăniți timp de 10 luni. În aceste condiții, temperatura scăzută pare a fi mai favorabilă întreținerii proceselor metabolice. Spre deosebire de tiparii adaptați la temperatură joasă, cei de la cald au scăzut foarte mult în greutate.

Toate speciile de *Cobitis* l.s. și *Noemacheilus barbatulus*, în condiții de lipsă accentuate de oxigen, devin agitate și se ridică des la suprafața apei, folosind frecvent pentru respirație și aerul atmosferic. Într-o fază

înaintată de hipoxie, puterile le slăbesc, rămîn în pătura superficială a apei, iar în etapa dinaintea morții înăoată un timp cu abdomenul în sus. În această fază, prin transparența tegumentului se observă intestinul, care prezintă pe tot traiectul său o vascularizație puternică.

Datele noastre, bazate pe observații ecologice și corelate cu cele de histologie, demonstrează existența la toate speciile de cobitide românești a 2 faze extreme în structura intestinului (digestivă și respiratorie), care pot fi induse pe cale experimentală.

*Cobitis elongata*, cea mai reofilă specie dintre zvîrlugile românești, manifestă rezistență cea mai scăzută în condițiile adaptării sale în laborator și față de lipsa de oxigen. Acest lucru se explică, printre altele, și prin posibilitatea ei redusă de a utiliza respirația intestinală.

*Cobitis calderoni* din Spania prezintă o capacitate mare de adaptare la condițiile de laborator și o rezistență destul de crescută la lipsa oxigenului. Ca și *Cobitis taenia* din țara noastră, și *Cobitis calderoni* poate folosi într-un grad ridicat respirația intestinală. Această specie a fost adaptată la condițiile țării noastre (rîul Olteț) și observațiile de pe teren ne fac să credem că s-a aclimatizat și s-a integrat foarte bine în noile condiții ecologice oferite.

#### OBSERVAȚII HISTOLOGICE

Făcînd secțiuni histologice prin intestinul diferitelor specii, ținute în condiții de hipoxie, am constatat modificări similare în structura submucoasei și a epitelului mucoasei. În cadrul genului *Cobitis* l.s., cele mai accentuate modificări se produc la *Cobitis taenia* (fig. 1C, D), la care crește mult numărul de capilare dilatate. În tot lungul intestinului (dar mai ales în cel posterior) submucoasa devine foarte laxă, închizînd în ochiurile ei numeroase capilare. Capilarele se dilată și pătrund pînă spre vîrful epitelului intestinal, împingînd în felul acesta și deformînd celulele absorbante cu platou striat, ai căror nuclei capătă o dispoziție oblică sau aproape orizontală. În regiunea anală, atât submucoasa rectumului, cât și toată zona de fibre conjunctive dintre intestin și deschiderea ureterului comun și din jurul acesteia din urmă sint împințite de capilare (fig. 1C). În unghiuile inferioare ale submucoasei, la locul unde corionul intestinului continuă cu cel al tegumentului, se observă de asemenea o congestie a capilarelor.

La *Noemacheilus barbatulus*, în condiții de lipsă de oxigen, cutele intestinale se aplatisescă; celulele mucoase sunt numeroase. Submucoasa pare invadată de capilare, care pătrund printre celulele epiteliale, împingîndu-le. Adesea sub o cută se întîlnesc numai unul sau două capilare mari (fig. 2B). Capilare se pot observa mai dilatate și printre fibrele musculare longitudinale. În unele porțiuni, epitelul intestinal capătă aspectul celui de la *Misgurnus fossilis* (fig. 1B) în faza respiratorie.

Structuri modificate asemănător în condiții de hipoxie apar și la *Sabanejewia romanica* (fig. 2D), *S. aurata balcanica* (fig. 2C), *S. bulgarica* (fig. 2A) și în măsură mai mică la *Cobitis elongata*. În aceste specii, aerul pătruns în intestin îl destinde, producînd o aplatisare a epitelului intestinal, o subțiere a musculariei și o congestie a capilarelor din submucoasă. Se remarcă tendința de pătrundere a capilarelor în epitelul

intestinal și subțierea acestuia mai ales în vîrful cutelor, zonele de la baza acestora păstrîndu-și structura tipic digestivă (fig. 1D, 2A). Această „dedublare funcțională” a fost subliniată încă de Lupu (13) pentru *Cobitis taenia*. Ea se întâlneste și la celelalte specii ale genului *Cobitis* l.s., dar numărul de capilare dilatale este inferior celui de *C. taenia*.

Adaptarea cea mai perfectă la captarea aerului atmosferic prin intestin se întâlneste însă la *Misgurnus fossilis*.

În ce privește vascularizarea canalului alimentar, încă Leydig (6) a subliniat bogăția ei în mucoasa intestinală, iar Lorenz (7) a căutat să arate modul ramificării capilarelor intraepiteliale, susținind greșit că cele ce se ramifică sunt venele porte duble, iar capilarele sunt libere în lumen, fiind delimitate superficial numai de pereții lor proprii.

Wu & Chang (16) și Talikowski (15) arată că transportul singelui la canalul alimentar este asigurat de artera celiaco-mezenterică, care se află pe partea dorsală a intestinului. Pe partea ventrală a intestinului merge vena subintestinală, care intră apoi în ficat. Venele hepatiche (3 pînă la 6) conduc singele de la ficat la sinusul venos. Din aceste vase principale pornesc numeroase ramuri, care formează rețele vasculare pe anumite porțiuni intestinale. Rețelele vasculare dă și ele, la rîndul lor, alte ramuri mai mici, care pătrund în submucoasă formînd sinusuri ovale și capilare numeroase sub epiteliu, corelate cu funcția respiratorie a intestinului.

Prin cercetările noastre asupra respirației intestinale la țipar, confirmăm datele cercetătoarei Lupu (11), care menționează existența a două faze în structura epitelialului intestinal: faza digestivă tipică, cu o durată foarte scurtă (fig. 1A) și faza respiratorie, cu o durată mai îndelungată (fig. 1B). Bășniță (2) nu a surprins pe preparatele sale decît o fază intermedieră, pe care a socotit-o ca invariabilă.

În fază respiratorie, epitelul intestinalului mediu și posterior se subțiază foarte mult în raport cu submucoasa, iar numărul de capilare este impresionant (fig. 1B). Celulele epiteliale sunt mult deformate, protejînd capilarele prin expansiunile lor — cum a arătat Călugăreanu (4). În epiteliu se observă numeroase celule mucoase piriforme, dar nu toate constituie cripte (cum menționează Lupu (11)); în submucoasă se află capilare dilatați în număr mare și cu dimensiuni crescute (comparativ cu celelalte specii). De fapt, la *Misgurnus fossilis* se remarcă existența unor vase de singe mai numeroase pe tot traiectul canalului alimentar (atât în zona cavității buco-faringiene, cât și în regiunea bulbului intestinal, în apropierea deschiderilor canalelor coledoc și pancreatic și în celelalte regiuni ale intestinului).

#### CONCLUZII

Observațiile ecologice, efectuate în condiții de laborator, ca și analizele histologice, ne arată comportamente diferite ale cobitidelor, în funcție de conținutul în oxigen al apei:

1. *Misgurnus fossilis* și *Cobitis taenia* manifestă rezistența cea mai crescută față de lipsa oxigenului din apă. Ambele specii pot trăi timp înde-

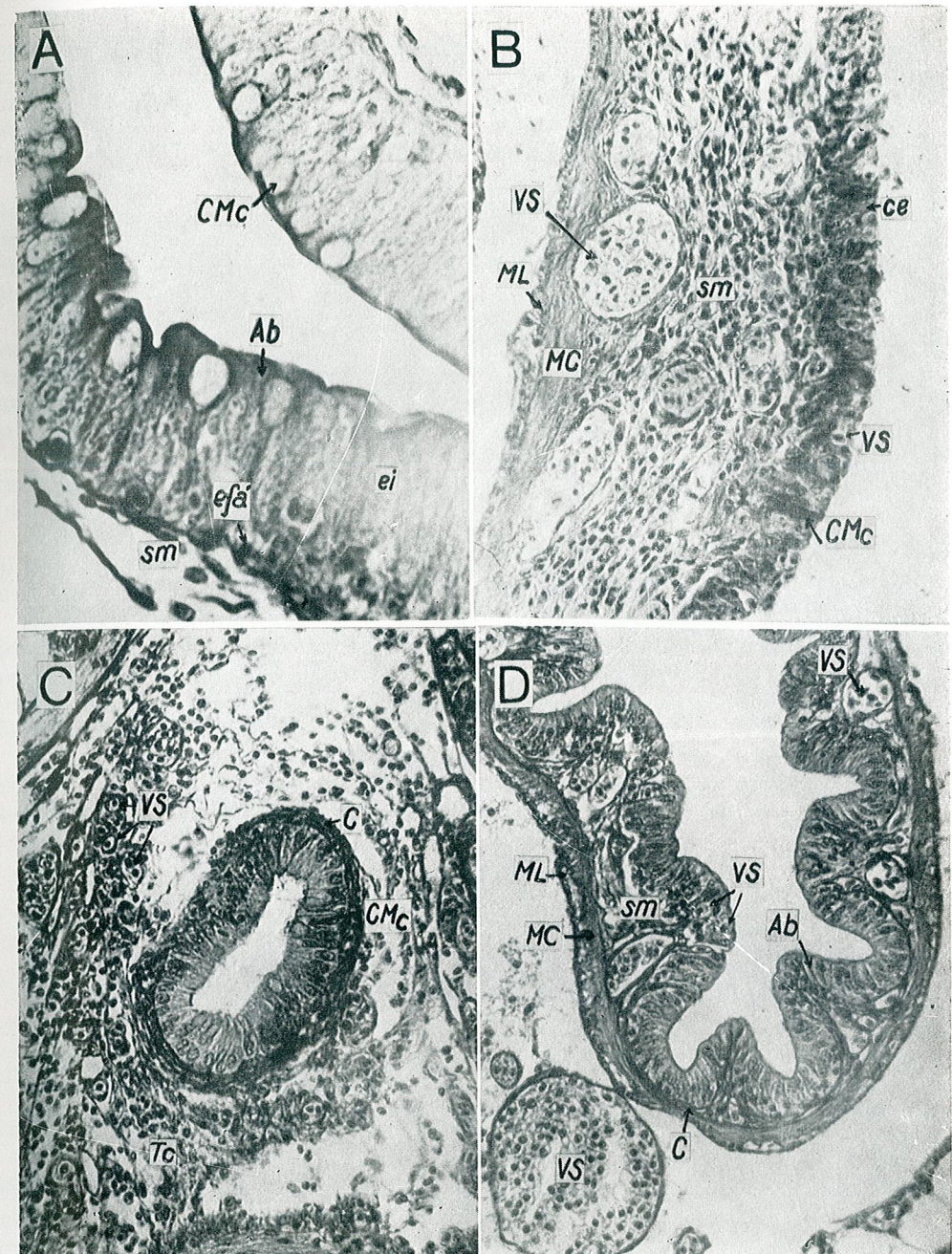


Fig. 1. — A. *Misgurnus fossilis*, ♂ (10,4 cm). Faza digestivă a intestinului (ROW, 6 × 24). B. *Misgurnus fossilis*, ♂ (12,8 cm). Faza respiratorie a intestinului (MC<sub>1</sub>, 21,5 × 20). C. *Cobitis taenia*, ♀ (3,6 cm). Deschiderea ureterului comun, inconjurată de țesut conjunctiv lax, cu multe capilare (ROW, 6 × 24). D. *Cobitis taenia*, ♀ (3,6 cm). Secțiune transversală prin intestin posterior la pește în hipoxie (ROW, 6 × 24).

AB = celule absorbante; C = corion; ce = celule epiteliale; CMc = celule mucoase; efa = elemente figurate albe; ei = epiteliu intestinal; MC = musculatură circulară; ML = musculatură longitudinală; sm = submucoasă; TC = țesut conjunctiv; VS = vase de singe.

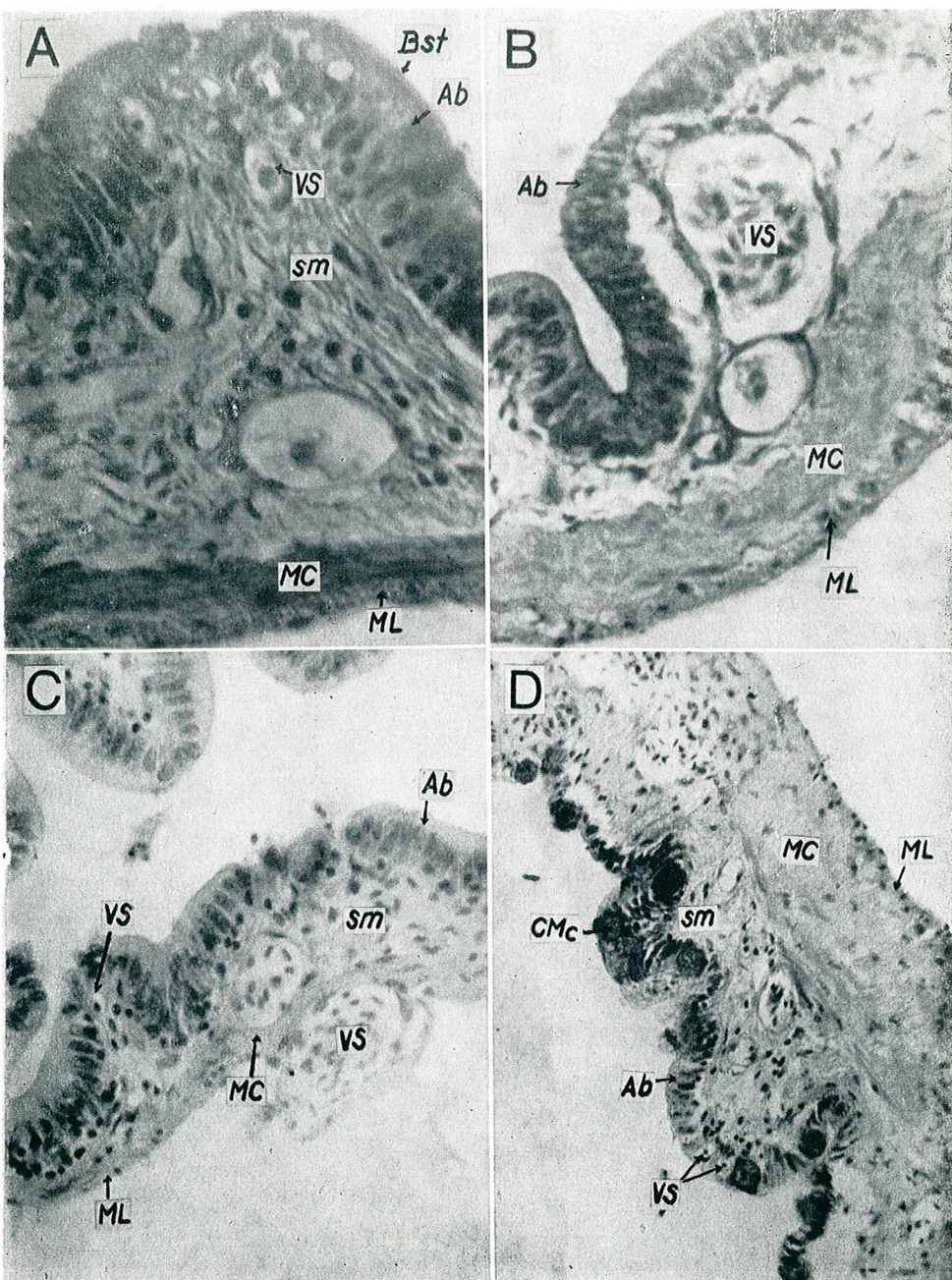


Fig. 2. — A. *Sabanejewia bulgarica*, ♀ (8 cm). Secțiune transversală prin intestin posterior în hipoxie ( $MC_1$ ,  $16,5 \times 40$ ). B. *Noemacheilus barbatulus*, ♀ (4,5 cm). Intestin posterior în hipoxie ( $MC_1$ ,  $16,5 \times 40$ ). C. *Sabanejewia aurata balcanica*, ♀ (4,4 cm). Secțiune transversală prin intestin posterior în hipoxie (ROW,  $6 \times 45$ ). D. *Sabanejewia romanica*, ♀ (7 cm). Intestin posterior în hipoxie (ROW,  $6 \times 24$ ).

lungat la temperaturi ridicate și chiar la temperaturi scăzute ( $2^{\circ}\text{C}$ ). La polul opus se situează *Cobitis elongata*, specie reofilă, care manifestă o mare sensibilitate la lipsa oxigenului și la transport. S-a remarcat de asemenea deosebită rezistență în condiții de laborator și marea plasticitate adaptativă a speciei *Cobitis calderoni* din Spania.

2. *Sabanejewia romanica* poate fi folosită ca indicator al gradului de oxigenare a apei. În condiții unei cantități suficiente de oxigen, stă complet îngropată în nisip; în condiții de hipoxie, ieșe din nisip și intensifică mișcările respiratorii; numai într-o fază extremă utilizează și respirația intestinală.

3. Cercetările noastre susțin existența a două faze extreme în structura intestinului la *Misgurnus fossilis* (faza digestivă și faza respiratorie). Această specie folosește respirația intestinală în mod curent și într-o măsură mare, iar fazele modificărilor epitelului intestinal se succedă mai rapid și au o durată mai scurtă decât la *Misgurnus anguillicaudatus* din China.

4. Față de *Misgurnus fossilis*, la *Cobitis taenia* și *C. calderoni* adaptarea intestinului la respirație este mai puțin perfectă, fazele cind epitelul intestinalului posterior are aspect de epiteliu digestiv fiind mai lungi.

5. La *Noemacheilus barbatulus*, ca și la celelalte specii de *Cobitis* și *Sabanejewia*, respirația intestinală este numai o respirație „de rezervă”, utilizată doar atunci cind este amenințată însăși viața animalului.

6. Se remarcă faptul că reducerea înălțimii celulelor epiteliale și pătrunderea capilarelor se face pe tot traiectul intestinului mediu și posterior la *Misgurnus fossilis*, pe cind la celelalte cobitide scăderea în înălțime a celulelor epiteliale și pătrunderea capilarelor se face în special la vîrful cutelor, la baza acestora epitelul rămînind înalt.

7. Adaptarea la respirația aeriană a apărut în evoluția grupului și s-a păstrat în grade diferite la reprezentanții actuali, în funcție de cerințele biotopului la care s-au adaptat speciile respective.

(Avizat de prof. G.T. Dornescu.)

#### CONTRIBUTIONS TO THE STUDY OF THE INTESTINAL RESPIRATION IN COBITID FISHES

#### SUMMARY

In this paper there are presented the results obtained by analysing the intestinal respiration in some cobitid fishes. Based on the ecological observations, it was stated that *Misgurnus fossilis* and *Cobitis taenia* present the highest resistance to the oxygen absence. Both species can live a long time at a high temperature and at a low one ( $2^{\circ}\text{C}$ ) and under hypoxia conditions they frequently are "gulping" the air. On the other hand, *Cobitis elongata* is very sensitive and cannot resist to the transport. The Spanish species *Cobitis calderoni* is very resistant and has an intestinal respiration like *Cobitis taenia* from Romania.

The existence of two extreme phases was demonstrated in the intestinal structure of *Misgurnus fossilis*: the digestive and the respiratory one. In comparison with *Misgurnus fossilis*, in *Cobitis taenia* and *C. calderoni* the adaptation of the intestine for respiration is less perfect, the digestive phases being longer. In *Noemacheilus barbatulus*, as in the other species of *Cobitis* and *Sabanejewia*, the intestinal respiration is only "for reserve" and is used to save the life of the animal.

Epithelium modifications were proved on the histological sections. The intestine adaptation to the respiratory function appeared during the evolution of the group and its degree of modification is related to the ecological conditions of life.

#### BIBLIOGRAFIE

1. BABAK E., DEDEK E., Arch. ges. Physiol., 1907, **119**, 483.
2. BUŞNIȚĂ T., Bul. Soc. de șt. Cluj, 1925, **2**, 3, 133.
3. — Bull. de la Section Scient. Acad. Roum., 1927, **10**, 1.
4. CĂLUGĂREANU D., Arch. ges. Physiol., 1907, **118**, 42.
5. — Rev. șt. medicale, 1908, 597.
6. LEYDIG C., Müller's Archiv für Anat. und Physiol., 1853, 3.
7. LORENT H., Arch. mikr. Anat., 1878, **15**, 429.
8. LUPU H., Ann. Scient. de l'Univ. de Jassy, 1907, **4**, 3—4, 165.
9. — Arch. Zool. exp. et gén., 1908—1909, IV série, **9**, 417.
10. — Ann. Scient. de l'Univ. de Jassy, 1911, **6**, 302.
11. — Ann. Scient. de l'Univ. de Jassy, 1914, **8**, 52.
12. — Ann. Scient. de l'Univ. de Jassy, 1926—1927, **14**, 1—2, 60.
13. — Ann. Scient. de l'Univ. de Jassy, 1928, **15**, 272.
14. PODUBSKÝ V., Sbornic Čes. Akad. Zem.-Ved., 1955, **28**, 5, 423.
15. TALIKOWSKA H., Acta Biol. Cracov., Zool., 1962, **5**, 2, 141.
16. WU H.V., CHANG H-WEI, Sinensis, 1945, **16**, 1—6, 1.

Facultatea de biologie,  
Catedra de anatomie-zoologie  
Bucureşti 35, Splaiul Independenței nr. 91—95

Primit în redacție la 13 decembrie 1972

#### OBSERVATII CU PRIVIRE LA NUTRIȚIA LARVELOR DE CHIRONOMUS F.L. PLUMOSUS DIN APELE ZONEI INUNDABILE A DUNĂRII

DE

GH. IGNAT și L. GRUIA

The work presents data on the feeding place of larvae of *Chironomus f.l. plumosus*, by comparing algae from the intestine of larvae with algae existing in the mud of the Crapina and Comorofca swamps.

The intensity of diurnal feeding, the capacity of food (algae) selecting and digestion degree was analysed in larvae.

Larvele de chironomide, ca elemente principale ale bazei trofice din bălți, constituie o verigă importantă a circuitului materiei și energiei în aceste ecosisteme.

Studierea modului de nutriție, a dinamicii nutriției larvelor de chironomide în condiții naturale este o importantă cale de cunoaștere a rolului acestor larve în economia bălților respective.

Având în vedere importanța deosebită pe care o au algele în hrana larvelor de chironomide bentonice neprădătoare (1), (3), (5), (6), (7), principalele aspecte urmărite de noi în studiu nutriției lui *Chironomus f.l. plumosus* se referă tocmai la această categorie de hrănă.

În lucrarea de față am căutat să elucidăm următoarele probleme: locul de hrănire al larvelor de *Ch. f.l. plumosus* în condiții naturale, intensitatea hrănirii, selectarea și digerarea algelor de către acestea.

## MATERIAL ȘI METODĂ

Cercetările noastre au fost efectuate pe larve de *Chironomus f.l. plumosus* (cu lungimea de 16 – 24 mm) colectate lunar, timp de un an (VI.1970 – V. 1971), din bălțile Crapina și Comorovca.

Pe loturi de cîte 10 larve din fiecare lună și baltă, au fost analizate calitativ și cantitativ algele din conținutul intestinal.

Pentru comparație, ne-am servit de rezultatele analizei algologice a probelor de mîl colectate din același locuri și la aceleași date cu larvele studiate, după metoda expusă anterior (3).

## REZULTATE ȘI DISCUȚII

Un aspect important al nutriției larvelor de *Ch. f.l. plumosus* îl constituie stabilirea nivelului la care se hrănesc acestea în mîlul bălților. După locul unde se hrănesc, K o n s t a n t i n o v (8) încadrează larvele genului *Chironomus* în categoria organismelor sestono-bentofage. Pe baza experiențelor de laborator, același autor stabilește că larvele de *Ch. f.l. plumosus* se hrănesc la suprafața mîlului (1–2 mm).

Pentru cunoașterea locului de hrănire al larvelor în condiții naturale a fost necesar să stabilim distribuția verticală a algelor în mîlul bălților respective. Tabelul nr. 1 arată repartiția procentuală a tuturor algelor și, dintre acestea, a algelor vii, în primii 10 cm din mîlul bălții Crapina.

Din acest tabel observăm că, de-a lungul unui an, în primul cm de mîl de la suprafață procentul algelor variază foarte mult (între 7,7 și 38%). Dintre acestea, procentul algelor vii — element important în hrănirea larvelor — variază și mai mult (între 2,7 și 50,1%).

Pentru cunoașterea posibilităților de hrănire cu alge a larvelor, este important să cunoaștem dinamica cantitativă a algelor vii. Se observă că, de la suprafață spre adâncime, procentul algelor vii scade, astfel că, din punct de vedere energetic, cele mai mari posibilități de hrănire cu alge pentru larve sunt în primul cm de mîl. În unele cazuri, cele mai multe alge vii pot să existe la oarecare adâncime în mîl (VI. 1970 la 2–3 cm și III. 1971 la 3–4 cm), acest lucru fiind însă determinat de condițiile hidrologice și climatice locale.

Referindu-ne tot la problema nivelului unde se hrănesc larvele de *Ch. f.l. plumosus*, am analizat compoziția în specii de alge la diferite niveluri în mîl și în intestinul larvelor, din balta Comorovca. Rezultatele numerice și procentuale sunt arătate în tabelul nr. 2.

Din acest tabel se observă că există un număr de alge comune în mîl și în intestin. Procentul acestor alge comune variază sezonal și în funcție de adâncimea de referință în mîl.

Tinând seama de faptul că există alge care au fost întîlnite în mîl la toate nivelurile analizate și că există alge în procente remarcabile (18,5–50%) care au fost găsite numai în intestin, putem afirma că, în condițiile bălții Comorovca, larvele de *Ch. f.l. plumosus* se hrănesc de preferință la suprafață sau în primul cm de mîl. Algele determine numai în intestinul larvelor sunt alge provenite din plancton.

Tabelul nr. 1  
Distribuția verticală procentuală a algelor în mîlul bălții Crapina

Anul	Luna	1970												1971												Media alge vii	
		VI			VII			VIII			IX			X			XI			XII			I				
		vii	total	vii	vii	total	vii	vii	total	vii	vii	total	vii	vii	total	vii	vii	total	vii	vii	total	vii	vii	total	vii		
0–1	2,7	7,7	35,3	17,3	27,8	23,5	31,8	23,6	50,1	36,9	27,0	23,2	15,2	25,7	17,7	12,6	40,3	38,0	27,54								
1–2	4,1	4,5	2,0	1,9	15,8	12,8	1,9	2,5	2,5	3,4	17,2	17,0	3,9	5,2	16,3	14,2	29,0	28,7	10,30								
2–3	21,9	7,2	11,1	9,1	1,6	1,8	1,9	4,7	0,8	2,3	22,1	17,3	15,2	20,5	10,7	19,0	4,3	5,0	9,95								
3–4	4,1	4,5	11,1	10,3	9,2	9,7	4,5	3,4	7,2	7,3	7,3	9,8	42,4	32,9	5,9	6,6	2,7	3,0	10,48								
4–5	12,3	8,1	6,0	7,3	14,7	15,3	11,0	12,9	10,8	14,6	3,3	4,5	3,9	3,9	3,2	14,8	15,1	2,0	4,4	8,75							
5–6	12,3	18,1	4,0	11,4	15,2	17,6	17,0	22,0	9,0	9,7	5,7	7,6	3,9	6,3	10,4	11,7	3,0	3,7	8,94								
6–7	9,6	17,6	11,1	15,1	8,2	11,8	8,4	7,2	7,7	9,2	6,5	7,1	11,2	3,2	6,4	5,7	3,0	4,4	8,01								
7–8	12,3	14,9	10,1	15,7	2,8	3,0	9,0	9,1	6,1	6,2	2,4	3,1	3,9	1,0	4,5	4,1	7,6	6,2	6,51								
8–9	5,5	8,6	3,0	5,6	1,6	2,6	9,0	8,9	4,6	7,0	4,9	6,7	—	1,0	8,4	4,9	7,2	5,7	4,91								
9–10	15,1	8,6	6,0	6,3	2,8	1,8	5,2	5,6	1,0	3,3	3,3	3,5	—	—	1,0	5,0	6,0	0,9	4,33								
Total	99,9	99,8	99,7	100,0	99,7	99,9	99,7	99,9	99,8	99,9	99,8	99,9	99,6	100,0	99,9	99,9	99,9	100,0	99,9	99,72							

Tabelul nr. 2

Algele din mîl și din intestinul larvelor de *Chironomus f.l. plumosus* din balta Comorova (numerice și procentuale)

Luna	cm în mîl	Partea analizată	Diatomee	Alte alge	Total alge	% comune în intestin și în mîl	Luna	cm în mîl	Partea analizată	Diatomee	Alte alge	Total alge	% comune în intestin și în mîl
V	0 - 1	mîl	12	1	13	-	IX	0 - 1	mîl	11	1	12	-
		intestin	11	0	11	84,6			intestin	7	1	8	66,6
	1 - 2	mîl	10	0	10	-		1 - 2	mîl	16	1	17	-
		intestin	8	0	8	80,0			intestin	14	1	15	88,2
	2 - 5	mîl	19	0	19	-		2 - 5	mîl	21	0	21	-
		intestin	13	0	13	68,4			intestin	15	0	15	71,4
	5 - 10	mîl	27	0	27	-		5 - 10	mîl	22	0	22	-
		intestin	17	0	17	62,9			intestin	15	0	15	67,8
	0 - 10	mîl	35	1	36	-		0 - 10	mîl	29	2	31	-
		intestin	22	0	22	61,1			intestin	16	2	18	58,0
VII	numai în intestin					18,5	XII	numai în intestin					50,0
	0 - 1	mîl	13	3	16	-		0 - 1	mîl	14	0	14	-
		intestin	13	0	13	81,2			intestin	14	0	14	100
	1 - 2	mîl	12	0	12	-		1 - 2	mîl	14	0	14	-
		intestin	12	0	12	100			intestin	13	0	13	92,8
	2 - 5	mîl	17	1	18	-		2 - 5	mîl	20	1	21	-
		intestin	14	0	14	77,7			intestin	18	0	18	85,7
	5 - 10	mîl	22	1	23	-		5 - 10	mîl	26	2	28	-
		intestin	16	0	16	69,5			intestin	19	0	19	67,8
	0 - 10	mîl	23	4	27	-		0 - 10	mîl	28	2	30	-
		intestin	16	0	16	59,2			intestin	20	0	20	66,6
	numai în intestin					20,0		numai în intestin					31,0

Pentru verificarea constatărilor referitoare la locul de hrănire al larvelor, am făcut cîteva experiențe de laborator. În aceste experiențe am folosit ca substanță de marcare amidon solubil, în următoarele variante : V<sub>1</sub> — larve la suprafața mîlului, amidon la suprafață ;

V<sub>2</sub> — larve la suprafața mîlului, amidon la 2 cm adîncime ; V<sub>3</sub> — larve la suprafața mîlului, amidon la 4 cm adîncime ; V<sub>4</sub> — larve la 2 cm adîncime, amidon la suprafață.

Experiențele au durat 12—36 de ore. În urma analizei conținutului intestinal s-a constatat că numai larvele din variantele 1, 2 și 4 au consumat amidon. Acest lucru demonstrează că larvele s-au hrănit atât la suprafața mîlului, cît și în primii 2 cm (de la suprafață) de mîl.

Din cele arătate pînă aici se poate afirma că larvele de *Ch. f.l. plumosus* se hrănesc de preferință la suprafața mîlului, existînd însă posibilitatea de hrănire și la oarecare adîncime în mîl. Constatarea că larvele se pot hrăni și în straturile mai adînci ale mîlului concordă cu unele date din literatură (3), (5). C a r z i n c h i n S.E., 1952 (citat de (2)), arată că larvele mari de *Tendipes f.l. plumosus* pătrund în adîncimea nămolului pînă la peste 20 cm, migrare care le permite valorificarea mai eficientă a bazei nutritive din adîncimea mîlului.

Referitor la intensitatea hrănierii larvelor, am determinat gradul de umplere a intestinelor pe loturi de 100 de larve colectate din balta Comorova, din 3 în 3 ore timp de 24 de ore, la două date diferite. Rezultatele acestor determinări sunt arătate în tabelul nr. 3. Din acest tabel se observă că procentul cel mai mare de intestine pline a fost găsit la orele 9 și 21 pentru data de 14.IV.1972 și la orele 9 și 18 pentru data de 1.VIII.1972. Procentul cel mai mic de intestine pline s-a găsit pentru ambele date la orele 3. Din totalul intestinelor analizate în decurs de 24 de ore, procentul cel mai mare de intestine pline a fost întîlnit în timpul zilei (54,5% la 14.IV.1972 și 60,6% la 1.VIII. 1972, considerînd durata zilei între orele 6 și 18).

Faptul că procentual au fost găsite mai multe intestine pline primăvara (14—15.IV.1972) decît vara (1—2.VIII.1972) se poate explica prin dependența intensității hrănierii sau a vitezei de trecere a hranei prin intestine de temperatură mîlului (16—18°C primăvara și 23—24,5 °C vara).

Pentru a demonstra dependența intensității de hrănire a larvelor (exprimată prin procentul intestinelor pline) de temperatura și de valoarea nutritivă a mîlului, am efectuat cîteva experiențe de laborator. Rezultatul acestor experiențe este arătat în figura 1, din care se observă dependența directă a intensității de hrănire atât de temperatura mîlului, cît și de valoarea nutritivă a substratului. Trebuie să remarcăm însă că valoarea nutritivă a substratului influențează asupra intensității hrănierii îndeosebi la temperaturi mai ridicate (în limitele experienței). Aceste rezultate sunt în concordanță cu datele din literatură privind dependența intensității hrănierii de temperatura și de valoarea nutritivă a substratului (8).

Compoziția procentuală a algelor din mîl și din intestinul larvelor ne poate da informații cu privire nu numai la locul de hrănire, dar și la capacitatea larvelor de a selecta hrana.

Capacitatea larvelor de chironomide de a selecta algele din sedimente este demonstrată destul de convingător de unii autori (5), (7), (10).

În ceea ce privește selectarea anumitor grupuri sau specii de alge din mediu de către larve, observații efectuate de noi (4) pe baza raportului dintre diatomeele din mîl și din intestin (49% în mîl și 51% în intestin pentru balta Crapina și 48,6% în mîl și 51,5% în intestin pentru balta

Tabelul nr. 3  
Dinamica nutriției diurne a larvelor de *Chironomus f.l. plumosus* în balta Comorovca

Data	Ora	T mil °C	Partea anterioară a intestinului %			Partea posterioară a intestinului %			Intestine %	
			P	S	G	P	S	G	complet pline	complet goale
14.IV	6	16	74	23	3	26	37	37	26	3
	9	17	79	20	1	44	30	26	43	1
	12	18	98	1	1	29	40	31	29	1
	15	18	80	18	2	22	18	60	22	2
	18	18	95	5	0	31	31	38	31	0
	21	17	88	11	1	39	32	29	36	1
	24	16	81	14	5	30	37	33	28	3
15.IV	3	16	73	25	2	9	15	76	9	2
	6	15	83	14	3	22	31	47	22	3
	6	23	41	54	5	7	12	81	7	5
	9	23,5	66	32	2	27	18	55	27	2
	12	24	54	44	2	18	17	75	18	2
	15	24	28	68	4	9	12	79	9	4
	18	24,5	36	61	3	19	8	73	19	3
1.VII	21	24	47	49	4	16	19	65	15	4
	24	23,5	18	72	10	10	30	60	7	7
	3	23	21	75	4	4	25	71	3	3
	6	23	40	58	2	8	32	60	8	2
	9	23,5	66	32	2	27	18	55	27	2
	12	24	54	44	2	18	17	75	18	2
	15	24	28	68	4	9	12	79	9	4
2.VIII	18	24,5	36	61	3	19	8	73	19	3
	21	24	47	49	4	16	19	65	15	4
	24	23,5	18	72	10	10	30	60	7	7
	3	23	21	75	4	4	25	71	3	3
	6	23	40	58	2	8	32	60	8	2

P. plin; S. semiplin; G. gol; partea anterioară a intestinului este cuprinsă între esofag și tuburile lui Malpighi; partea posterioară a intestinului este cuprinsă între tuburile lui Malpighi și orificiul anal.

Comorovca) ne conduc la concluzia că nu există o asemenea selectivitate.

Faptul că algele albastre, deși sunt evitate de larvele de chironomide (8) sau sunt puțin digerate (3), (5), au fost întâlnite în intestin în proporție mai mare decât în mil (21% în mil și 79% în intestin, pentru balta Crapina) demonstrează încă o dată că larvele nu evită acest grup de alge. Deci larvele nu pot selecta anumite grupuri sau specii de alge din sediment, ci algele în totalitatea lor. În acest fel, selectivitatea nu este legată direct de gradul de digerare.

În prezența noastră am căutat să stabilim și dacă larvele manifestă o preferință (și, legat de aceasta, o selectivitate) față de algele vii.

Figurile 2 și 3 arată dinamica procentuală a algelor vii în sedimentele și în partea anterioară a intestinului larvelor de *Ch. f.l. plumosus* în bălțiile Crapina și Comorovca. Din aceste grafice se constată că în balta Crapina,

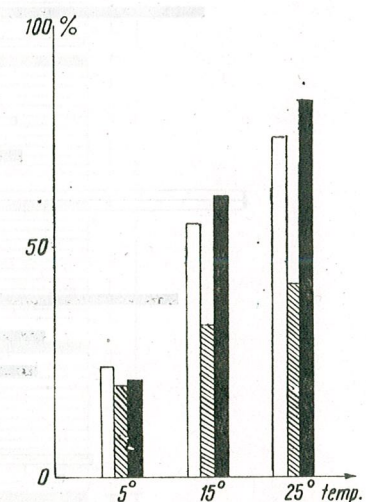


Fig. 1.—Procentul intestinelor pline în funcție de temperatură și de substrat. Coloane albe, mil natural; coloane hașurate, mil sterilizat în 24 de ore la 200°C; coloane negre, mil fertilizat cu făină de macrofite acvatice și alge din cultură (*Scenedesmus* și *Chlorella*). Durata experienței a fost de 3 ore.

cu excepția lunilor IV. 1971, VII și IX. 1970, procentul algelor vii din intestin este mai mic sau aproape egal cu cel din sedimente. În balta Comorovca numai în lunile IX. 1970 și III. 1971 procentul algelor vii măncate de larve este mai mare decât în sedimente. Pe baza acestor constatări putem spune că larvele de *Ch. f.l. plumosus* nu manifestă o selectivitate netă pentru algele vii.

Gradul de digerare a algelor de către larve poate fi considerat un indiciu important al posibilității de valorificare a hranei algale de către chironomide.

Estimarea gradului de digerare a diferitelor grupe de alge a fost efectuată de noi prin două procedee.

Prin primul procedeu, am calculat gradul de digerare scăzând procentul algelor vii față de totalul algelor existente în partea posterioară a intestinului din procentul algelor vii față de totalul algelor existente în partea anterioară a intestinului.

Prin al doilea procedeu (5), gradul de digerare se determină scăzând procentul algelor vii în partea posterioară a intestinului din procentul algelor vii din partea anterioară a intestinului (procenteile sunt calculate față de totalul algelor vii din intestin anterior și posterior).

Am folosit cele două procedee de calcul deoarece, în unele cazuri, prin cel de-al doilea procedeu gradul de digerare al diatomeelor avea valori mai mici decât al celor laalte alge.

Rezultatele acestor determinări sunt arătate în tabelul nr. 4. Din acest tabel se poate vedea că, în cazul ambelor bălți, gradul de digerare al algelor sau al diatomeelor — ca cele mai numeroase alge în aceste bălți

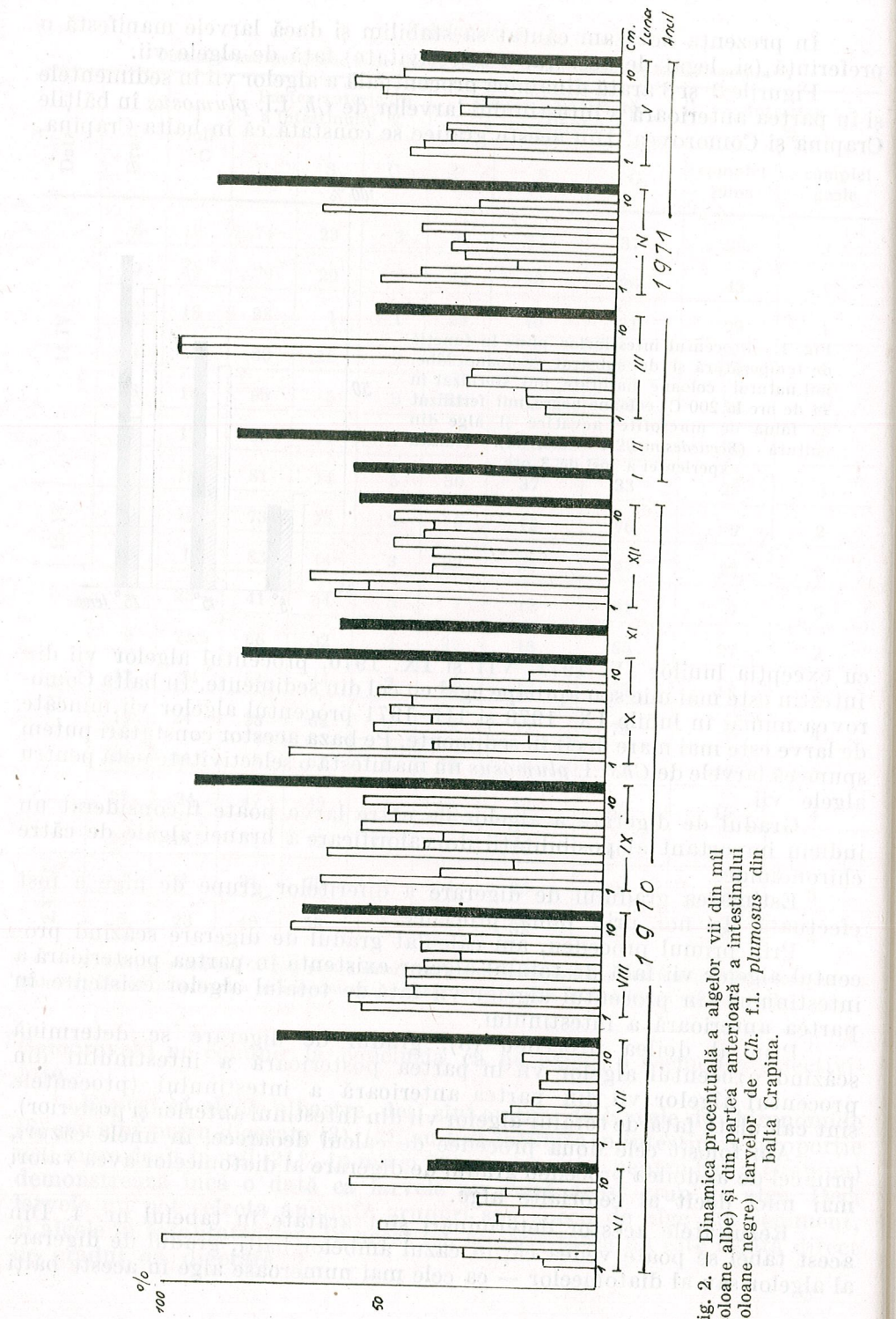


Fig. 2. — Dinamica procentuală a algelor vii din mil (coloane albe) și din partea anterioară a intestinului (coloane negre) larvelor de *Ch. f.l. plumosus* din balta Crapina.

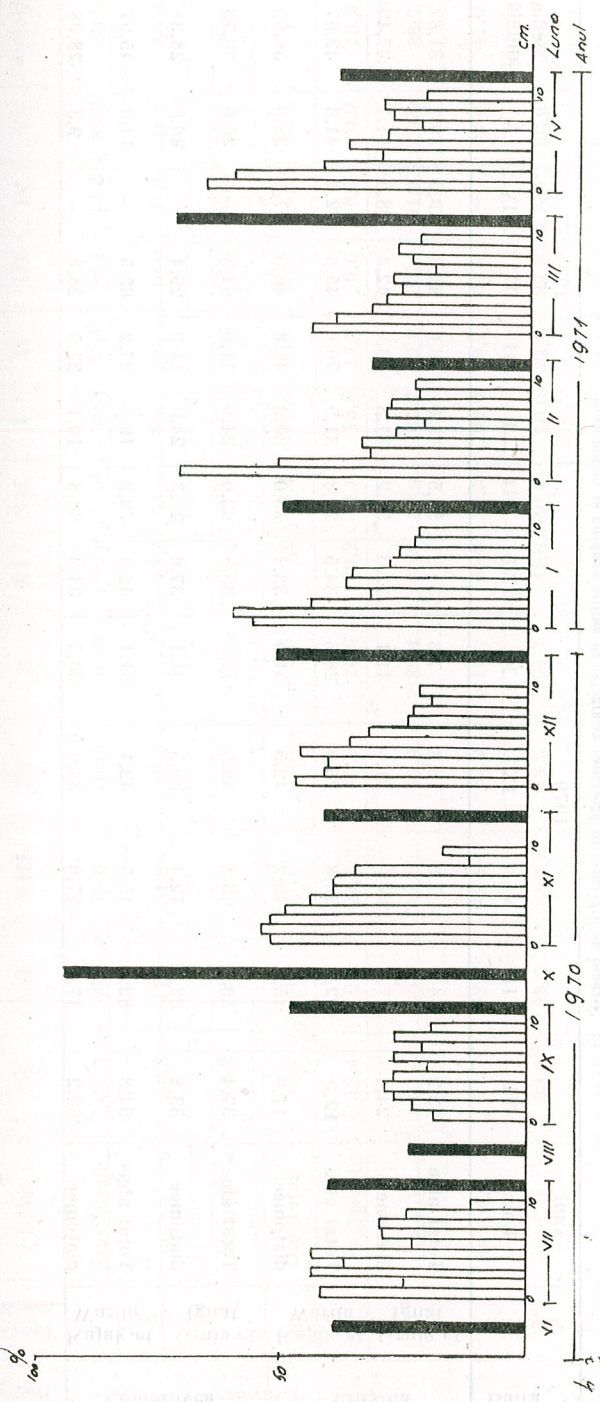


Fig. 3. — Dinamica procentuală a algelor vii din mil (coloane albe) și din partea anterioară a intestinului (coloane negre) larvelor de *Ch. f.l. plumosus* din balta Comorovcea.

Tabelul nr. 4  
Gradul de digerare (in procente) al algelor in bălțile Crapina și Comorova

Metoda	Anul	1970												1971					Media anuală
		Luna	VI	VII	VIII	IX	X	XI	XII	I	II	III	IV	V					
Bataia	Total alge	23,2	74,0	-7,8	6,8	7,6	24,9	54,5	43,0	66,6	49,3	13,0	19,1	31,82					
	diatomee	24,4	47,4	35,2	31,0	41,1	22,3	51,2	41,3	42,4	28,5	41,7	37,40						
Crapina	Total alge	12,5	72,2	26,8	75,0	28,5	34,5	26,8	31,9	76,8	45,8	42,4	41,3	42,87					
	diatomee	11,9	45,1	49,2	42,5	51,9	33,7	30,0	30,3	41,8	40,0	27,2	39,6	36,93					
Gomorovca	Total alge	37,4	33,8	3,8	33,5	71,5	35,8	62,0	24,0	14,6	64,3	-	26,6	36,75					
	diatomee	33,8	33,7	12,4	39,5	31,1	37,6	29,3	24,0	11,9	29,4	-	28,8	28,31					
Kesjaka et Gruiat Ignaț	Total alge	34,8	82,0	15,5	42,1	91,1	42,9	73,2	19,1	27,2	63,5	-	14,3	45,97					
Waarda	diatomee	32,2	17,6	17,9	34,9	53,2	34,6	33,8	19,1	27,5	28,8	-	9,3	28,08					

Tabelul nr. 5  
Procentul diatomelor din totalul algelor ingérate, al diatomelor VII din acestea și al diatomelor digerate din cele VII de către larvele de *Chironomus f. l. phunensis*

Metoda	Anul	1970												1971					Media anuală
		Luna	VI	VII	VIII	IX	X	XI	XII	I	II	III	IV	V					
Bataia	Din total	97,1	49,3	79,8	10,6	35,9	96,0	87,9	90,1	27,1	86,1	12,8	90,3	63,6					
	vii	36,8	47,4	64,9	46,1	55,7	61,5	53,4	56,4	56,6	49,0	37,3	41,7	50,4					
moarte	Din total	63,2	52,6	35,1	53,9	44,3	38,5	46,6	43,6	43,4	51,0	62,7	58,3	49,4					
	vii	93,7	100,0	31,1	5,7	3,6	97,9	75,4	98,3	70,0	88,2	8,5	73,3	62,8					
nedigerate	Din total	12,4	0,0	29,7	15,1	16,6	39,2	2,1	15,3	14,2	6,6	8,8	0,0	13,3					
digerate	Din total	87,6	100,0	70,3	84,9	83,4	60,8	97,9	84,7	85,8	93,4	91,2	100,0	86,7					
	vii	91,7	99,4	96,8	82,2	16,7	85,6	32,5	100,0	99,1	44,2	-	55,4	41,0					
moarte	Din total	66,2	60,5	76,0	51,5	45,8	58,4	49,1	50,0	66,7	62,8	-	63,1	53,7					
posterioră	Din total	46,4	99,5	60,3	93,7	94,9	100,0	98,7	100,0	100,0	100,0	-	90,0	89,6					
nedigerate	Din total	0,0	5,8	11,6	19,0	23,1	14,0	21,2	26,0	21,4	7,8	-	8,1	12,1					
digerate	Din total	100,0	94,2	88,4	81,0	76,9	86,0	78,8	74,0	78,6	92,2	-	91,9	87,9					

— variază mult în decursul unui an. Trebuie să remarcăm că fiecare băltă, prin condițiile ecologice locale, poate determina variații în ritmul de viață al aceleiași forme larvare, fapt evidențiat prin gradul de digerare diferit existent în cele două bălti în lunile X. 1970 și II. 1971.

Datele tabelului nr. 5 se referă numai la diatomee, care constituie grupul de alge cu frecvența cea mai mare în cele două bălti și totodată cel mai bine digerat de către larve. Observăm, din acest tabel, că procentul diatomeelor vii mîncate de larve este de aproximativ 50% din total; dintre acestea, circa 86—88% sunt digerate. Acest lucru arată o eficiență ridicată a utilizării diatomeelor ca hrana de către larvele de *Ch. f.l. plumosus*.

#### CONCLUZII

Față de cele expuse putem conchide că, în condițiile băltilor analizate, larvele de *Ch. f.l. plumosus* se hrănesc în special la suprafața mîlului.

Intensitatea hrăririi larvelor este mai mare în timpul zilei decit noaptea, iar gradul de umplere a tubului digestiv depinde direct de temperatură și de valoarea nutritivă a substratului.

Selectarea algelor din mîl nu depinde de posibilitatea digerării lor de către larve, algele albastre — puțin digerate — apărind uneori destul de frecvent în hrana.

Grupul de alge cel mai bine digerat de către larve îl constituie diatomeele, care au—din acest punct de vedere—și cea mai mare valoare nutritivă pentru aceste organisme.

(Avizat de prof. N. Botnariuc.)

#### OBSERVATIONS ON THE NUTRITION OF LARVAE OF *CHIRONOMUS F.L. PLUMOSUS* IN THE WATERS OF THE DANUBE FLOOD AREA

#### SUMMARY

Observations carried out by us on the nutrition of larvae of *Chironomus f.l. plumosus* in the period June 1970—May 1971 refer to the determination of the feeding place of larvae, to the intensity of diurnal feeding, to the capacity of selecting and digesting algae.

Investigations pointed out that the percentage of living algae in the first centimeter of mud from the surface of the Crapina swamp varies very much (between 2.7 and 5.1%). The percentage of living algae is observed to decrease from the surface to the depth, which makes people suppose that the highest possibilities of feeding on algae are supplied for larvae by the first cm of mud (Table 1).

The comparison of algae from the intestine of larvae with algae existing in the mud of the Crapina and Comorofea swamps, as well as expe-

riments carried out in the laboratory pointed out that larvae of *Chironomus f.l. plumosus* are feeding prevailingly at the surface of the mud.

The filling degree of the intestine of larvae is higher in the day-time (54.5% and 60.6%), depending on temperature and on the nutrient value of the substratum (Fig. 1).

It has been noticed that the larvae of *Chironomus f.l. plumosus* cannot select certain groups or species of algae from the sediment but only algae as a whole.

The estimation of the digestion degree of algae by the larvae of *Chironomus f.l. plumosus* from the Crapina and Comorofea swamps shows that the best digested group of algae is represented by Diatomeae (Tables 4 and 5).

#### BIBLIOGRAFIE

1. ARMITAGE P.D., Ann. Zool. Fenn., 1968, 5, 1, 6—13.
2. BOTNARIUC N., Popovici C., Anal. Univ. „C.I. Parhon”, București, 1956, 9, 121—127.
3. GRUIA L., IGNAT GH., St. și com. Muz. Pitești, 1971, 63—75.
4. — St. și com. Muz. Pitești, 1973.
5. KAJAK Z., WARDA J., Ann. Zool. Fenn., 1968, 5, 1, 57—64.
6. KAJAK Z., DUSAGE K., WARDA J., Ecol. Pol., B, 1968, 4, 329—335.
7. KONSTANTINOV A.S., *Biologihia hironomid i ih razvenie*, Saratov, 1958.
8. — Tr. VI-ogo Sovesniia po problema biol. vnutr. vod., 1959, 260—269.
9. LIPINA N.N., *Licinchi i eucolchi hironomid*, Moscova, 1928.
10. SADLER O.W., Cornell Univ. Agric. Exp. Stat. Memoir, 1935, 173, 1—25.

*Stațiunea hidrobiologică*  
Brăila, str. Vapoarelor nr. 1  
și  
*Stațiunea zoologică*  
Sinaia, str. Cumpătului nr. 5

Primită în redacție la 6 decembrie 1972

ACTIUNEA TIROXINEI ( $T_4$ ), TSH ȘI A TIOURACILULUI  
(Tu) ASUPRA CANTITĂȚII DE APĂ DIN SÎNGE ȘI  
TESUTURI LA *CYPRINUS CARPIO* L.

DE  
MÁRTA GÁBOS, HERTA FLATZ și LETITIA RĂU

The effect of the treatment with  $T_4$ , TSH and Tu on the water content of the blood, white muscle, red muscle, liver and kidney was followed.

The  $T_4$  had no effect upon this parameter. In the case of a 3-day determination the TSH had no influence on the water content of the tissues, producing at the same time a significant increase in the blood water content. In a 6-day determination, the water content of the blood remained increased and a significant enhancement of the liver water content appeared. Tu increased markedly only the kidney water content.

Se știe că sistemul endocrin este unul dintre factorii majori ai reglării metabolismului hidric. Aproape toate glandele cu secreție internă intervin în reglarea metabolismului apei.

Un rol deosebit în reglarea metabolismului apei îl are și tiroida, care, prin stimularea metabolismului bazal, produce o mărire a circuitului apei în organism, dezimbibiție și poliurie.

Fonțaine (2) a arătat că hormonii tiroidieni sunt importanți în menținerea echilibrului apei și al sărurilor minerale la pești, iar Olivereau (6) arată că tiroida este implicată mai mult în eliminarea apei. Activitate tiroidiană normală la pești este foarte necesară pentru a crește și a supraviețui în condiții de schimbare a mediului (hipo- sau hiper-tonic) (4).

În lucrarea de față ne-am propus să urmărim efectul  $T_4$ , TSH și Tu asupra variației cantității de apă din sînge (S), mușchiul alb (MA), mușchiul roșu (MR), ficat (F) și rinichi (R) la crapul de cultură.

## MATERIAL ȘI METODĂ

S-a lucrat pe crapi de 2 ani, ținuți în bazine cu apă curgătoare, la 10°C, înaintați aproximativ 2 luni.

Animalele au fost împărțite în 5 loturi:

1. Martori — injectați cu ser Schriever.
2. Tratat cu  $T_4$  (L-tiroxine sodium salz SERVA) 0,96 mg/kg greutate corporală timp de 7 zile (0,24 mg/kg prima zi, cîte 0,12 mg/kg 6 zile).
3. Tratat cu TSH (Thyreotrophinum e gland. pituit. lyophilisat. AMBINON) 1 U.I./kg greutate corporală cu 3 zile înainte de sacrificare.
4. Tratat cu TSH — 1 U.I./kg greutate corporală cu 6 zile înainte de sacrificare.
5. Tratat cu Tu (2-Thiouracilum puriss. SERVA) 9 mg/kg greutate corporală timp de 7 zile (3 mg/kg prima zi, cîte 1 mg/kg 6 zile)

Toate substanțele au fost dizolvate în ser Schriever (8) și administrate intramuscular. Sacrificarea animalelor s-a făcut prin decapitare la 24 de ore după ultima injecție. Conținutul de apă a fost determinat după tehnica obișnuită, prin compararea greutății umede și uscate. Pentru determinarea hidremiei, singele a fost recoltat direct din inimă. S-au pus cîte 0,1 ml pe ținte în prealabil cintărite. S-au cintărit imediat țintele cu singe, apoi au fost puse în termostat la 100°C pînă la greutate constantă (timp de 48 de ore). Pentru a determina conținutul de apă al țesuturilor (MA, MR, F și R) s-au luat aproximativ 200 mg de țesut din fiecare și s-a procedat ca și la singe. După răcire, țintele s-au recintărit. Rezultatele au fost exprimate în procente.

## REZULTATE

În experiențele noastre, la lotul martor am obținut valori comparabile cu cele din literatură (11). Cantitatea de apă (în %) din MA, MR, F și R în urma tratamentului cu  $T_4$ , TSH și Tu este redată în tabelul nr. 1.

Datele arată că tiroxina nu produce nici o modificare semnificativă a cantității de apă din țesuturile cercetate, deși apare o tendință de scădere. TSH este fără nici un efect asupra țesuturilor în cazul determinărilor de 3 zile de la administrare, dar provoacă o creștere net semnificativă a hidremiei. În cazul determinărilor de 6 zile de la administrare, TSH menține o hidremie crescută, net semnificativă, și determină o creștere semnificativă a cantității de apă din ficat. Tiouracilul pare să producă o creștere a conținutului în apă al țesuturilor, ea fiind semnificativă numai în rinichi.

## DISCUȚII ȘI CONCLUZII

Se cunoaște faptul că, în urma administrării hormonilor tiroidieni, se produce o eliminare crescută a apei (1), (7), iar extirparea glandei determină o micsorare a ei (9), (10). S-a constatat că nu numai extirparea glandei produce o micsorare a diurezei, dar și administrarea de substanțe antitiroidiene (5).

În ceea ce privește hidremia, rezultatele noastre sunt în concordanță cu cele de mai sus, referitor la acțiunea tiroxinei și a tiouracilului. Faptul că scădere, respectiv creșterea hidremiei nu este semnificativă se poate

Tabelul nr. 1

Variatia hidremiei (S) și a conținutului în apă din mușchiul alb (MA), mușchiul roșu (MR), ficat (F) și rinichi (R), în urma tratamentului cronice cu  $T_4$ , TSH la 3 și 6 zile și Tu

Țesut Trat.	Martori $T_4$	Tu	TSH—3 zile	TSH—6 zile		
S	$\bar{X}$ ± ES n p %	82,2 0,4 7 — —0,6	81,7 0,3 9 — +1,1	83,1 0,4 9 — —	86,8 1,1 7 $<0,01$ +5,5	86,9 0,6 12 $<0,001$ +5,7
MA	$\bar{X}$ ± ES n p %	81,0 0,004 7 — —0,5	80,6 0,2 9 — 0	81,0 0,2 9 — —	81,1 0,2 9 — +0,1	80,8 0,1 8 — —0,3
MR	$\bar{X}$ ± ES n p %	66,2 1,7 9 — —2,6	64,5 1,4 9 — +1,9	67,5 0,9 9 — —	66,2 1,4 10 — 0	65,4 1,3 8 — —1,2
F	$\bar{X}$ ± ES n p %	73,0 0,3 8 — +0,9	73,7 0,5 8 — +0,8	73,6 0,3 9 — +0,8	73,4 0,3 10 — +0,5	75,5 0,5 8 $<0,01$ +3,4
R	$\bar{X}$ ± ES n p %	79,9 0,2 9 — —0,1	79,8 0,05 7 — +1,3	80,9 0,2 7 $<0,01$ +0,1	80,0 0,2 9 — +0,1	80,4 0,2 7 — +0,6

pune probabil în legătură cu durata tratamentului. În privința acțiunii TSH presupunem că hidremia crescută este consecința scăderii cantității de apă din țesuturi (exceptând ficatul), care ar putea să determine o diureză marită la un tratament prelungit.

Creșterea diurezei în hipertiroidism și retentia apei în hipotiroidism nu produc modificări uniforme în diferite țesuturi. În cazul administrării hormonilor tiroidieni, unele organe, ca mușchii, tegumentul, pierd mult din apă în timp ce rinichii, ficatul și măresc cantitatea de apă (3).

În concordanță cu afirmația că hipertiroidismul nu produce o scădere a apei uniformă în toate țesuturile săn și rezultatele noastre obținute la animalele tratate cu  $T_4$  și TSH. În MA și MR apare o tendință de scădere, pe cînd în F și R o tendință de creștere.

Tratamentul cu Tu produce un hipotiroidism, care aduce după sine micsorarea eliminării apei și deci creșterea conținutului în apă a țesuturilor. Faptul că rezultatele noastre arată doar o tendință de creștere s-ar putea pune în legătură cu durata redusă a tratamentului, comparativ cu datele din literatură (5), (7).

- Din cele prezentate conchidem următoarele:
1. Tiroxina nu determină nici o modificare semnificativă a cantității de apă în țesuturile cercetate.
  2. TSH produce o creștere semnificativă a hidremiei în ambele variante experimentale.
  3. Tiouracilul determină o tendință de retenție a apei în toate țesuturile, ea fiind semnificativă numai în rinichi.

(Avizat de prof. E. A. Pora.)

EFFECT OF THE THYROXINE ( $T_4$ ), TSH AND THIOURACYL (Tu) ON THE WATER CONTENT OF BLOOD AND SOME TISSUES IN *CYPRINUS CARPIO L.*

SUMMARY

There is some evidence that thyroid hormone may be involved in the elimination of water. Experiments were carried out on 2-year-old hatchery carps, maintained under standard conditions.

A 7-day chronological treatment was applied, with a total dose of 0.96 mg./kg.  $T_4$  and 9.0 mg./kg. Tu, respectively. The animals were killed in both cases 24 h. after the last injection. TSH was administered in a single dose of 1 I.U./kg., 3 and, respectively, 6 days before killing.

The  $T_4$  had no effect upon this parameter. In the case of a 3-day determination the TSH had no influence on the water content of the tissues, producing at the same time a significant increase in the blood water content. In a 6-day determination, the water content of the blood remained increased, and a significant enhancement of the liver water content appeared. Tu increased markedly only the kidney water content.

BIBLIOGRAFIE

1. BAUMAN J. W., EARLS C., Endocrinology, 1967, **80**, 6, 1185.
2. FONTAINE M., Mem. Soc. Endocrinol., 1956, **5**, 69–82.
3. FUJIMAKI Y., HILDEBRANDT F., Arch. exp. Path., 1924, **102**.
4. GORBMAN A., BERG O., Endocrinology, 1955, **56**, 86–92.
5. KONIKOVA R.Z., Farmakol. i toksikologija, 1957, **20**, 6, 77–79.
6. OLIVEREAU M., Ann. Inst. océanog. (Paris), 1954, **29**, 95–296.
7. REVILLE P., STÉPHAN F., JAHN H., Arch. int. Physiol., Biochem., 1965, **73**, 1, 97–116.
8. SCHRIEVER K., Pflügers Arch. ges. Physiol., 1935, **235**, 774.
9. STÉPHAN F., JAHN H., REVILLE P., C.R. Acad. Sci. (Paris), 1960, **251**, 16, 1666–1668.
10. STÉPHAN F., JAHN H., REVILLE P., URBAN M., C.R. Acad. Sci. (Paris), 1962, **254**, 3, 571–573.
11. WITTENBERGER C., GÁBOS M., GROZA A., St. și cerc. biol., Seria zoologie, 1971, **23**, 2, 145–149.

Universitatea „Babeș-Bolyai”,  
Catedra de fiziolologie animală  
Cluj, str. Clinicii nr. 5–7

Primit în redacție la 26 octombrie 1972

VARIATIA VOLUMULUI PLASMATIC ȘI A PROTEINEMIEI  
ÎN URMA DEZECHILIBRĂRII IONICE A SÂNGELUI LA  
IEPURE

DE

H. KOLASSOVITS, academician E. A. PORA și C. WITTENBERGER

Modification of the ionic balance of the blood was elicited in rabbits, by i.v. injections of KCl or CaCl<sub>2</sub> solutions. No effect was observed concerning the hydremia, the percentage plasma volume, or the proteinemia. Both ions reduced the hemodiluting effect of a consecutive hemorrhage. Possible mechanisms are discussed.

Echilibrul ionic al mediului intern constituie unul din aspectele principale ale homeostaziei organismului animal. Raporturile ionice în continuă modificare, mereu dereglate de diverse factori interni și externi și mereu readuse în limitele valorilor normale de către mecanismele reglatoare, constituie „factorul rhopic”, a cărui importanță a fost relevată de către unul dintre noi atât pe plan teoretic, cât și experimental (5), (6), (7).

Se știe că mamiferele au o pronunțată capacitate de reechilibrire rhopică (capacitate homeorhopică), manifestată în primul rînd printr-o viteză mare de îndepărțare din plasmă a ionului introdus în exces (8), (9), (10). Se știe însă destul de puțin cu privire la natura mecanismelor prin care se realizează reechilibrarea, precum și cu privire la diversele efecte pe care dezechilibrul rhopic le provoacă în organism.

Ne-am propus studierea efectelor pe care mărirea concentrației de K<sup>+</sup> sau de Ca<sup>++</sup> în sânge le are asupra săngelui însuși, precum și studierea rolului jucat de unii centri nervosi în homeorhopie. În prezența lă-

crare dăm rezultatele privitoare la modificarea hidremiei, a concentrației de proteine plasmaticice și a hematocritului în urma încărcării acute cu unul din cei doi cationi.

#### MATERIAL ȘI METODE

Am lucrat pe iepuri de rasă Chinchilla, de ambele sexe, în greutate de 2,5–3,5 kg. Animalele au fost hrănite pînă în preziua experienței; în ajun lî s-a dat apă *ad libitum*.

Dezechilibru ionic al mediului intern a fost provocat prin injectarea în vena periauriculară stîngă a unei soluții de KCl, respectiv de CaCl<sub>2</sub>. Soluțiile au fost izotonice cu serum de iepure, avînd 164 mM KCl, respectiv 116 mM CaCl<sub>2</sub> (11). Cantitatea administrată a fost calculată în funcție de greutatea iepurelui, astfel încît concentrația cationului respectiv în ansamblul sîngelui să crească de două ori în cazul potasiului și de trei ori în cazul calciului; volumul sîngelui a fost luat drept 5% din masa corpului (11). Injectarea a durat 6–15 s.

Experiențele s-au desfășurat sub anestezie cu Nembutal (pentobarbital de sodiu, Abbott, Chicago), administrat intraperitoneal, în doză de 45 mg pe kilocorp. După cum a arătat unul dintre noi într-o altă notă, dintre parametrii urmăriți aici singurul care suferă modificări semnificative în urma anesteziei cu Nembutal este proteinemia (3).

Probele de singe (de cîte 3 cm<sup>3</sup>) au fost recoltate din vena periauriculară dreaptă. Pentru a avea valori de referință, s-a recoltat o probă de la animalul neanesteziat, apoi una sau două după instalarea completă a anesteziei. După aceasta a fost injectată soluția de experiență, apoi recoltarea probelor a continuat, la început la intervale cît se poate mai scurte (30–60 s), apoi din ce în ce mai lungi. Au fost luate 14–17 probe de singe (după injectarea soluției saline), într-un interval total de circa 90 min.

Drept martori au servit animale injectate cu ser fiziologic Krebs-Henseleit.

Hidremia a fost determinată gravimetric, pe probe de singe integral. Pentru celelalte analize, singele a fost recoltat pe heparină. A fost determinat volumul plasmatic, prin centrifugare în tuburi de hematocrit. Pe altă porțiune de singe, după separarea plasmei de globule, a fost determinată concentrația globală a proteinelor plasmaticice, pe cale refractometrică, cu un instrument Zeiss-Abbe.

Valorile obținute au fost raportate procentual la acelea ale probei recoltate de la animalul anesteziat, înainte de administrarea soluției.

#### REZULTATE ȘI DISCUȚII

Încărcarea mediului intern cu K sau cu Ca nu a provocat în mod direct modificarea nici unuia dintre parametrii urmăriți în prezenta lucrare. Valorile acestora se mențin în primele minute după administrarea soluției în limitele variațiilor normale (tabelele nr. 1–3). În etapa imediat următoare însă (4–10 min de la injectare), se observă o îndepărțare a valorilor proteinemiei de acelea ale animalelor-martor. După cum se vede în tabelul nr. 3, la 10 min martorul prezintă deja o accentuată scădere a proteinelor în plasmă, pe cînd la lotul 2 × K scăderea este aproximativ jumătate, iar la lotul 3 × Ca ea nu apare deloc. Literatura semnalează, pentru aceeași etapă, o scădere a volumului plasmatic și o creștere a viscozității sîngelui (10). Cele două observații pot denota în fond același fenomen: creșterea concentrației proteinelor în plasma sîngelui, în comparație cu martorul. În experiențele noastre, martorul a manifestat scă-

Tabelul nr. 1

Modificarea procentuală de substanță uscată din singe (m = media valorilor obținute în n experiențe; d% = diferența procentuală față de valoarea de la timpul zero)

Lotul	m d %	Minute de la injectare					
		0	1	4	10	30	75
Martor (n = 4)	m d %	18,8 0	18,1 – 4,0	18,3 – 2,5	17,9 – 4,8	17,1 – 9,1	16,3 – 13,2
3 × Ca (n = 9)	m d %	17,1 0	17,05 – 0,4	17,2 + 0,6	16,6 – 3,2	16,5 – 3,6	15,6 – 8,9
2 × K (n = 8)	m d %	17,35 0	17,4 + 0,3	17,1 – 1,4	17,2 – 0,8	16,6 – 4,4	16,4 – 5,4

Tabelul nr. 2

Modificarea volumului plasmatic

Lotul	m d %	Minute de la injectare					
		0	1	4	10	30	75
Martor (n = 4)	m d %	61,84 0	63,05 + 1,95	63,03 + 1,92	63,80 + 3,16	66,25 + 7,13	68,22 + 10,31
3 × Ca (n = 6)	m d %	65,55 0	65,66 + 0,11	66,71 + 1,76	66,20 + 0,99	67,55 + 3,05	69,29 + 5,70
2 × K (n = 7)	m d %	66,07 0	66,13 + 0,09	66,25 + 0,27	67,11 + 1,57	69,27 + 4,84	70,80 + 7,15

Tabelul nr. 3

Modificarea concentrației proteinelor plasmaticice

Lotul	m d %	Minute de la injectare					
		0	1	4	10	30	75
Martor (n = 4)	m d %	6,35 0	5,98 – 5,8	6,12 – 3,6	5,94 – 6,5	5,60 – 11,8	5,35 – 15,7
3 × Ca (n = 9)	m d %	6,43 0	6,60 + 2,6	6,56 + 2,0	6,44 0	6,14 – 4,7	5,71 – 11,2
2 × K (n = 8)	m d %	6,75 0	6,70 – 0,7	6,63 – 1,8	6,53 – 3,3	6,20 – 8,1	6,10 – 9,6

derea proteinemiei (pe care autorii cități n-o menționează), probabil datorită pierderilor de singe mult mai mari decit în lucrarea citată. Deosebirea de comportare a celor trei loturi în această privință reiese și mai evident din figura 1.

După cum se vede din tabele, în stadii mai avansate ale experienței are loc, la toate loturile, o scădere a conținutului de substanță uscată în sînge, o creștere a procentului de plasmă în sînge și o scădere a concentrației de proteine în plasmă. Cu alte cuvinte, are loc o diluare treptată a singelui, datorită, desigur, pierderii măsoare de sînge pe care o implică recoltarea celor 16–20 de probe. Această pierdere a ajuns la 25–30% din volumul total de sînge al animalului. În determinarea gradului de diluare

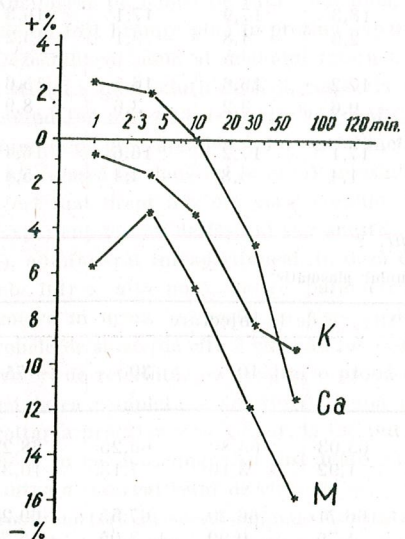


Fig. 1. — Variația proteinemiei în urma hemoragiilor repeatate, la lotul marilor (M) și la loturile cu încărcare cu K, respectiv cu Ca. Pe axa absciselor: timpul trecut de la injectarea soluției pe scară logaritmică. Pe axa ordonatelor: diferențe procentuale medii față de valoarea de la animalul anesteziat, înainte de injecțarea soluției.

pot interveni numeroși factori: pierderea de globule și de proteine plasmatic, vărsarea în sîngel circulant a hematilor din rezervele organismului sau a unor proteine (din țesuturi sau nou sintetizate), intrarea de apă din țesuturi în vase, scăderea volumului de sînge circulant. Fără să putem da o descriere exactă a rolului acestor factori, datele obținute ne permit totuși unele considerații.

Creșterea volumului plasmatic se desfășoară cu viteze diferite la cele trei loturi (fig. 2 a, b, c). La lotul  $3 \times$  Ca, viteza de creștere este net mai redusă decât la celelalte două. La 90 min de la injectare, diferența față de media creșterii de la martori este, la lotul  $3 \times$  Ca, semnificativă ( $P < 0,05$ ). La acest lot, variația volumului plasmatic este aproximată de relația<sup>1</sup>

$$V_n = \frac{100 P_0 V_0}{P_n (100 - V_0) + P_0 V_0} . \quad (1)$$

<sup>1</sup> Notația utilizată în formulele din text este următoarea:  $\Pi$  = cantitatea totală de proteine plasmatic din sîngel circulant;  $\pi$  = cantitatea de proteine plasmatic din sîngel recoltat la o probă;  $P$  = concentrația proteinelor în plasmă (în procente);  $V$  = volumul plasmatic (procent la hematocrit);  $v$  = volumul de plasmă din sîngel recoltat la o probă;  $g$  = volumul de globule din sîngel recoltat la o probă; indicele 0 denotă valori inițiale, indicele  $n$  denotă valori finale.

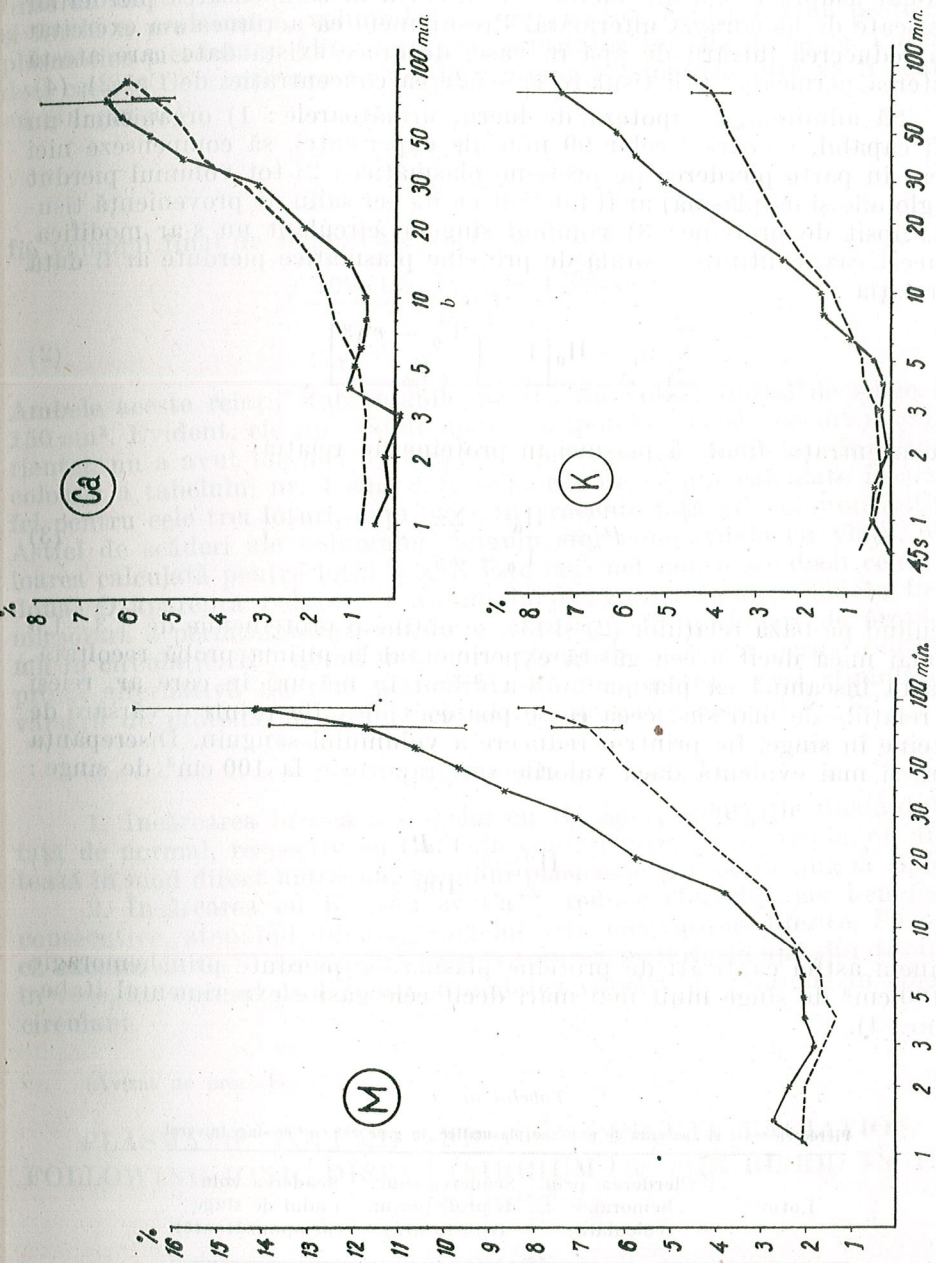


Fig. 2. — Variația volumului plasmatic în urma hemoragiilor repeatate, la lotul marilor (M) și la loturile cu încărcare cu K, respectiv cu Ca. Pe axa absciselor: timpul trecut de la injectarea soluției (pe scară logaritmică). Pe axa ordonatelor: diferențe procentuale medii față de valoarea de la animalul anesteziat, înainte de injecțarea soluției. Linia continuă: valoare determinată experimental; linia întreținută: valoare calculată după relația (1) din text; linile verticale: ± eroarea standard, c.

Aceeași relație dă la lotul martor și la lotul  $2 \times K$  curbe ce rămân mult sub nivelul celor experimentale. Înseamnă că administrarea de  $CaCl_2$  a acționat asupra unuia din factorii ce intervin în compensarea pierderilor provocate de hemoragia ulterioară. Presupunem că acțiunea s-a exercitat prin reducerea intrării de apă în vase, deoarece există date care atestă creșterea permeabilității tisulare la scăderea concentrației de  $Ca$  (2), (4).

Să admitem, ca ipoteză de lucru, următoarele: 1) organismul nu ar fi capabil, în cursul celor 90 min ale experienței, să compenseze nici măcar în parte pierderea de proteine plasmaticice; 2) tot volumul pierdut (de globule și de plasmă) ar fi înlocuit cu un ser salin de proveniență tisulară, lipsit de proteine; 3) volumul sîngelui circulant nu s-ar modifica. În acest caz, cantitatea totală de proteine plasmaticice pierdute ar fi dată de relația

$$\sum_{i=1}^n \pi_i = \Pi_0 \left[ 1 - \left( \frac{V_0 - v}{V_0} \right)^n \right], \quad (2)$$

iar concentrația finală a plasmei în proteine de relația

$$P_n = \frac{\Pi_0 - \Sigma\pi}{V_0 + ng}. \quad (3)$$

Calculind pe baza relațiilor (2) și (3), se obține o proteinemie de 1,3–1,5 ori mai mică decât aceea găsită experimental la ultima probă recoltată. Aceasta înseamnă că plasma nu s-a diluat în măsura în care ar reiești din relațiile de mai sus, ceea ce se poate explica fie printr-o vârsare de proteine în sînge, fie printr-o reducere a volumului sanguin. Discrepanța apare și mai evidentă dacă valorile sunt raportate la 100 cm<sup>3</sup> de sînge:

$$\Pi \% = \frac{V.P.}{100}. \quad (4)$$

Obținem astfel cantități de proteine plasmaticice pierdute prin hemoragie pe 100 cm<sup>3</sup> de sînge mult mai mari decât cele găsite experimental (tabelul nr. 4).

Tabelul nr. 4

Pierdere reală și aparentă de proteine plasmaticice, în g pe 100 cm<sup>3</sup> de sînge integral

Lotul	Pierdere prin hemoragie (calculată)	Scădere conc. de prot. plasm. (constată)	Scădere volumului de sînge (corespunzătoare)
Martor	1,09	0,30	22%
3 × Ca	1,12	0,30	21%
2 × K	1,28	0,13	27%

În general, cantitatea de proteine plasmaticice rămase în circulație după o hemoragie nu se poate calcula, deoarece nici se cunoaște volumul final de sînge (1). În cazul de față cunoaștem însă concentrația inițială și finală a proteinelor, volumul de sînge pierdut, cantitatea de proteine plasmaticice pierdută și (din literatură) cantitatea inițială de sînge. Putem deci calcula fie cantitatea finală de proteine plasmaticice, care va fi egală cu (în grame)

$$\frac{1,5P_0 V_0}{100} - \Sigma\pi, \quad (5)$$

fie volumul final de sînge, care va fi (în cm<sup>3</sup>)

$$\frac{100 (1,5 P_0 V_0 - 100 \Sigma\pi)}{P_n V_n}. \quad (6)$$

Ambele aceste relații sunt valabile pentru un volum inițial de sînge de 150 cm<sup>3</sup>. Evident, ele sunt valide numai în ipoteza că, pe parcursul experienței, nu a avut loc nici o vârsare de proteine în circulație. În ultima coloană a tabelului nr. 4 sunt date scăderile de volum calculate în acest fel pentru cele trei loturi, exprimate în procente față de volumul inițial. Astfel de scăderi ale volumului sanguin sunt compatibile cu viață. Valoarea calculată pentru lotul  $2 \times K$  este însă net mai mare decât celelalte două. O aparentă reducere a volumului sanguin ar putea denota fie o micșorare a permeabilității vaselor pentru apă, fie o vârsare de proteine noi în circulație.  $K^+$  având în general efecte de mărire a permeabilității, nu în circulație.  $K^+$  având în general efecte de mărire a permeabilității, nu în circulație.  $K^+$  având în general efecte de mărire a permeabilității, nu în circulație.

#### CONCLUZII

1. Încărcarea bruscă a sîngelui cu  $K^+$  în concentrație finală dublă de normal, respectiv cu  $Ca^{++}$  în concentrație finală triplă, nu afectează în mod direct hidremia, volumul plasmatic și proteinemia la iepure.

2. Încărcarea cu  $K^+$  sau cu  $Ca^{++}$  reduce efectele unei hemoragii consecutive, atenuând diluarea sîngelui prin mecanisme diferite. Se pare că excesul de  $Ca^{++}$  acționează prin reducerea intrării de apă din țesuturi în vase, iar excesul de  $K^+$  prin stimularea vârsării de proteine în sîngel circulant.

(Avizat de prof. E. A. Pora.)

#### PLASMATIC VOLUME AND PROTEINEMIA VARIATION FOLLOWING IONIC DISEQUILIBRIUM OF THE BLOOD IN THE RABBIT

#### SUMMARY

Modification of the ionic balance of the blood was elicited in Nembutal anesthetized rabbits, by i. v. injections of isotonic solutions of KCl

or  $\text{CaCl}_2$ . Venous blood samples were taken along 90 min. and hydremia percentage plasma volume, and proteinemia were determined. None of these parameters showed significant modifications.

As a consequence of repeated taking of blood samples, a dilution of the blood occurred. This was more pronounced in the control animals and attenuated in both KOI and  $\text{CaCl}_2$  injected ones. It seems that the excess of  $\text{Ca}^{++}$  reduces the entering of the water from tissues into blood vessels, while the excess of  $\text{K}^+$  has a stimulating effect on the entering of the proteins into the circulating blood. Thus, by different ways, both ions in excess result in a reduction of the hemodilution occurring after hemorrhage.

#### BIBLIOGRAFIE

1. ABBOT W., in *Belki i aminokislot v pitaniu celoveka i jivotniny* (sub red. S.I. KAPLIANSKI), Izdat. inostrann. lit., Moscova, 1952, 242-263.
2. CHAMBERS R., ZWEIFACH B.W., citate după RUCH T. și FULTON J., *Fiziologie medicală și biologică*, Edit. medicală, București, 1963, 967.
3. KOLASSOVITS H., St. și cerc. biol., Seria zoologie, 1973, 25, 3.
4. LOEWENSTEIN W. R., Proc. IUPS, 1971, 8, 68.
5. PORA E.A., J. Physiol. (Paris), 1958, 50, 464-465.
6. — Rapp. Proc. Verb. CIESMM, 1960, 15, 171-188.
7. — Rev. roum. Biol., Série de Zoologie, 1966, 11, 2, 77-110.
8. PORA E.A., Roșca D.I., STOICOVICI F., WITTENBERGER C., RUȘDEA D., Com. Acad. R.P.R., 1960, 10, 10, 839-846.
9. PORA E.A., STOICOVICI F., Rev. roum. Biol., Série de Zoologie, 1964, 9, 4, 257-269.
10. RIPPLINGER J., MALLIE J.P., C.R. Soc. Biol. Paris, 1961, 155, 2371-2374.
11. Sós J., LÖDI S.I., in *Kisérleti orvostudomány vizsgáló módszerei* (sub red. Kovách A.), vol. 1, Akad. kiadó, Budapest, 1954, 104-144.

Universitatea „Babeș-Bolyai”,  
Catedra de fiziologie animală  
Cluj, str. Clinicii nr. 5-7  
și  
Centrul de cercetări biologice,  
Sectorul de fiziologie animală  
Cluj, str. Republicii nr. 48

Primit în redacție la 15 noiembrie 1972

#### INFLUENȚA LEZIUNII BILATERALE A HIPOCAMPULUI DORSAL ȘI VENTRAL ASUPRA RHOPIEI PLASMATICE LA ȘOBOLANII ALBI

DE

ION FILIPĂȘ, academician E. A. PORA și MIRCEA POP

Beside behavioural changes, as : automutilation, canibalism, reduction of orientation capacity, vegetative hyperactivities, the bilateral lesions of the ventral and dorsal hippocampus bring about changes in the plasma levels of Na, K and Ca.

The plasmatic content of K and Ca decreases following the ventral injuries and increases after dorsal injuries. The plasmatic level of Na diminishes in both kinds of lesions.

Consequently the rhopic ratios of the blood equilibrium are modified and probably this fact accounts for the behavioural modifications.

Hipocampul este una din principalele formațiuni limbice corticale cu structură de allocortex archipaleal, care are un rol important în reglarea homeostaziei generale a organismului (5), (7), (14). Prin stimularea hipocampului se observă creșterea secreției de ADH (17) și de TSH (9) la șobolani. Kárlík (7) menționează că stimularea hipocampului la pisică seade secreția corticosteroidelor, iar lezarea o crește.

Pora și colab. (12) și Ogoro (10) semnalează modificări ale conținutului de Na, K, Ca în plasmă și în creier la șobolani în urma lezării, respectiv a stimulării hipocampului. Psattu (14) menționează acțiunea diferită a hipocampului dorsal și ventral în reglarea stărilor emoționale. Kulikova (citată de (11)) constată că decorticarea nu modifică viteza

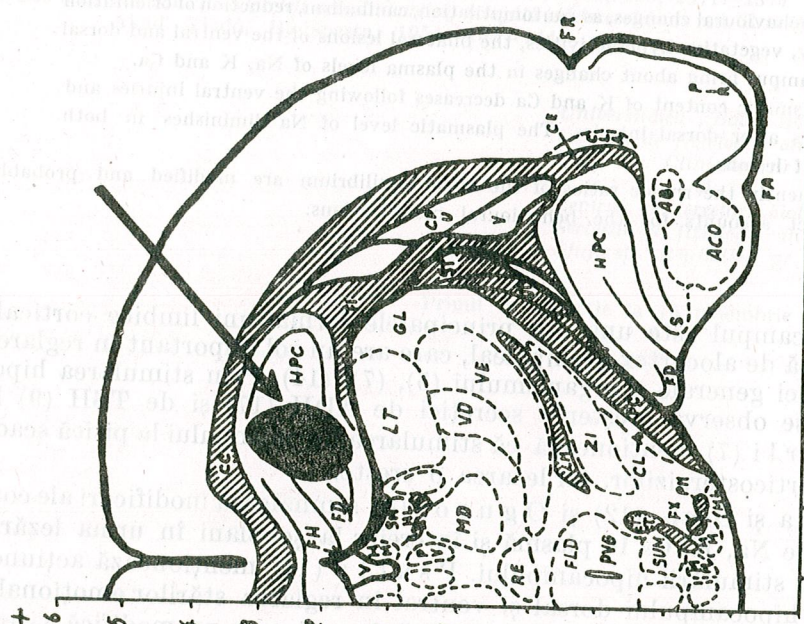


Fig. 1. - Secțiune frontală ( $A = 3,8$ ) prin creierul de sobolan în regiunea hippocampului. Sägeata indică leziunea în hippocampul (HPC) dorsal.

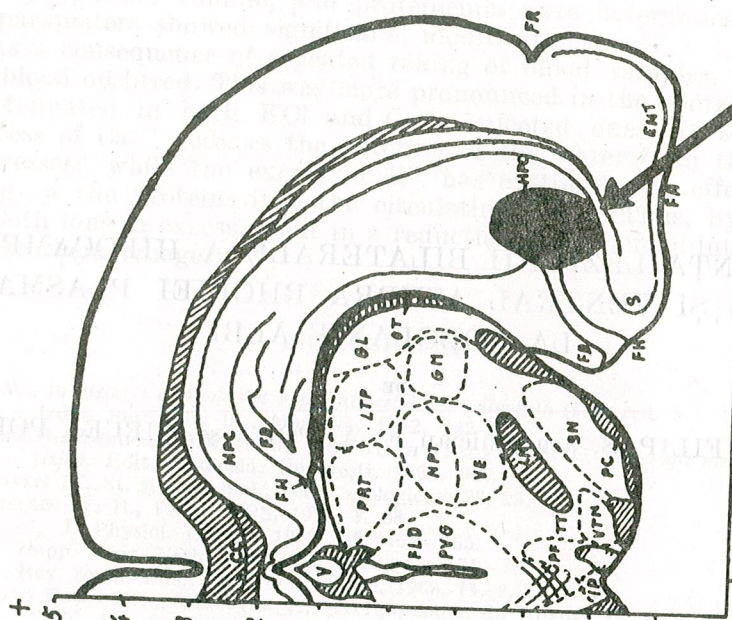


Fig. 2. - Secțiune frontală ( $A = 2,6$ ) prin creierul de sobolan în regiunea hippocampului. Sägeata indică leziunea în hippocampul (HPC) ventral.

reglării echilibrului ionic tulburat prin introducerea în exces a unui cation și conchide că fenomenul are un sediu periferic și mecanisme locale de tip humoră.

Având în vedere că intervenția hippocampului în reglările rhopice este puțin studiată (10), (12), ne-am propus să urmărim efectul leziunii bilaterale a hippocampului dorsal și ventral asupra modificărilor rhopice din plasmă la sobolanii albi.

#### MATERIAL ȘI METODĂ

S-a lucrat pe sobolanii albi, masculi și femele, în greutate de 200–220 g. Animalele au fost impărțite în 3 loturi:

- 1) lotul martor;
- 2) lotul cu leziuni în hippocampul dorsal;
- 3) lotul cu leziuni în hippocampul ventral.

Leziunile au fost efectuate cu ajutorul aparatului stereotaxic M-B 4101, după coordonatele atlasului lui J. D e Groot (6). Coordonatele pentru leziunea în hippocampul dorsal sunt:  $A = 3,8$ ;  $P = + 2,4$ ;  $L = 2$ , iar pentru leziunea în hippocampul ventral sunt:  $A = 2,6$ ;  $P = -2,5$ ;  $L = 4,6$ .

Electrocoagularea s-a făcut unipolar cu curent continuu de 15 mA, timp de 20 s. Elektrodul de leziune, din oțel inoxidabil, izolat, avea vîrful pe o porțiune de 1,5 mm dezisolat. Atât la martor, cât și la cei operați, după 14 zile de la operație, cînd comportamentul animalelor a revenit la normal, s-a recoltat o probă de singe, sub anestezie eterică, prin secționarea vîrfului cozii. Apoi s-a injectat în vena femurală cîte 1 ml soluție NaCl 1%, care conține 10 mg Na (adică 1/2 din cantitatea totală de Na, calculată a fi, în cei 7 ml plasmă, de 20 mg Na). Injectarea dura 5 s. Imediat după injectare se recolță singe tot prin secționarea vaselor codale. Recoltarea dura 30 s–1 min. Analiza cationilor din această probă ne redă modificări rapide de moment produse pe parcursul a 6–12 circuite complete. La 5 zile de la injectarea NaCl, se procedă similar la injectarea a 0,1 ml KCl 1%, care conține 1 mg K (ce crește cu 1/2 conținutul K din plasmă, calculat a fi 2 mg K în cei 7 ml plasmă). Imediat după injectare se recolță singe prin decapitare. Analizele biochimice ale cationilor Na, K și Ca s-au făcut la fotometru cu flacără după tehnica obișnuită. Rezultatele au fost prelucrate statistic după testul Student, calculindu-se  $\pm$  ES, t, p.

Înainte și după lezare, sobolanii au fost puși de 3 ori consecutiv într-un labirint, confectionat după modelul lui Tsaia (după (12)), pentru a li se urmări capacitatea de orientare. Eficacitatea orientării și a memoriei a fost apreciată după timpul necesar parcurgerii drumului din boxa de la intrare la locul hranei, după ce animalul găsise drumul în prima incercare.

#### REZULTATE ȘI DISCUȚII

Primele simptome observate imediat după lezarea celor două zone ale hippocampului au fost: poliurie, piloerecție, tremurături, arcuiri ale corpului, accese periodice convulsive, mișcări de masticatie, lins, adulmecare, mișcări necoordonate și de pedalare ale membrelor. Pe parcursul acestei perioade postoperatorie apare o hiperexcitabilitate generală manifestată prin tresăriri la cele mai mici zgomote, repede devin furioși, atacă, mușcă sau devin fricoși. Menționăm, de asemenea, fenomene de automutilare și canibalism. După 14 zile comportamentul animalelor revine la normal, astfel că, la reluarea în experiență, comportamentul general al

șobolanilor operați nu pare că se deosebește de cel al martorilor. Semnalăm, cu titlu informativ, rezultatele orientării în labirint. Cel mai caracteristic efect al lezării hippocampului dorsal și ventral era scăderea capacitații de orientare, însotită de o hiperactivitate manifestată prin agitație, mișcări continue de căutare, dar fără finalizare sau cu finalizare minimă.

Aceste observații privind orientarea confirmă datele referitoare la diminuarea reflexului de orientare și la hiperactivitate, obținute prin leziuni, provocate în hippocamp și sistemul limbic, de către Kormos și colab. (8) la pisici, Kasanova la cîini și Kveim la sobolani (citați după (12)).

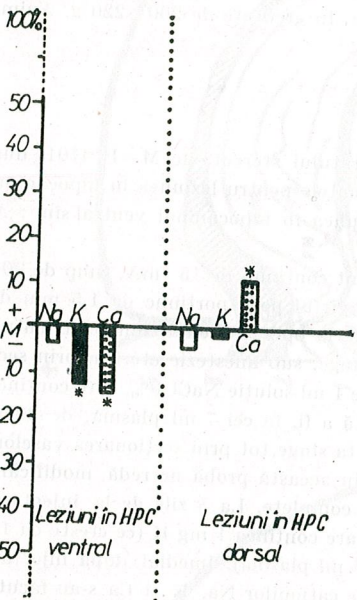


Fig. 3. — Modificările % față de martor ale Na, K și Ca la sobolanii cu leziuni în hippocampul ventral și dorsal. \*-semnificativ față de martor ( $p < 0,01$ ).

Din analiza tabelului nr. 1 și a figurii 3 reiese că la sobolanii cu leziuni în hippocampul ventral, Na scade nesemnificativ, iar K și Ca scad semnificativ. La sobolanii lezați în hippocampul dorsal, Na și K scad nesemnificativ, iar Ca crește semnificativ. Sensul modificărilor concentrației cationilor la lezarea hippocampului dorsal este același cu cel semnalat de noi într-o lucrare anterioară (12), obținut tot prin lezarea hippocampului dorsal, dar în altă zonă;  $A = 2$ ;  $L = 0,7$ ;  $P = +3,4$  mm.

Ca urmare a variației conținutului de cationi, se modifică și raportul dintre aceștia, la animalele operate. Valoarea raporturilor  $\frac{Na}{K}$ ,  $\frac{Na}{Ca}$ ,  $\frac{K}{Ca}$  crește în urma leziunii hippocampului ventral și scade în urma leziunii hippocampului dorsal.

Aceste efecte diferite, chiar opuse (cu excepția Na), obținute prin lezarea hippocampului dorsal și ventral, le-am putea considera ca venind să completeze ideea unei diferențe funcționale între hippocampul dorsal și ventral și în ce privește reglarea concentrației cationilor Na, K, Ca din plasmă, diferență semnalată de alți autori (7), (14) privind efectul inhibitor, structura și enzimele specifice.

Tabelul nr. 1  
Modificarea concentrației cationilor din plasmă singelului sobolanii cu leziuni bilaterale în hippocampul ventral și hippocampul ventral și hippocampul dorsal

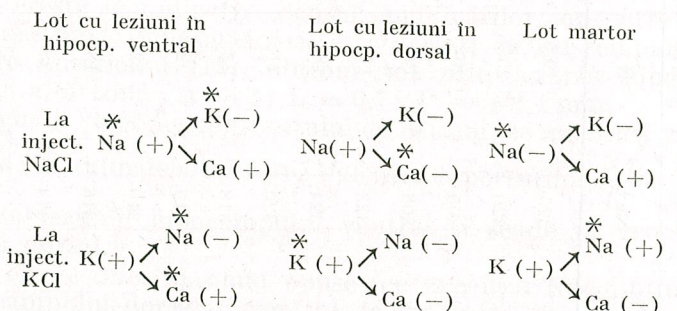
Nr.	Lot mg%	Martor			Leziuni în hippocampul ventral			Leziuni în hippocampul dorsal		
		Na <sup>+</sup>	K <sup>+</sup>	Ca <sup>++</sup>	Na <sup>+</sup>	K <sup>+</sup>	Ca <sup>++</sup>	Na <sup>+</sup>	K <sup>+</sup>	Ca <sup>++</sup>
1	325	19,5	8,8	305	18	7,8	310	23,4	10,3	
2	320	25	7,9	316	20	7	335	17,8	9,7	
3	305	20	8,9	309	18,5	8,9	298	23	9,6	
4	308	19	8,6	313	17,3	9	300	21	9,3	
5	323	17	9,6	312	15,4	9,6	304	22	8,8	
6	324	18	7,8	299	17,5	7,1	312	18,6	10,6	
7	320	21,5	10	311	19,8	7	292	16	10,5	
8	318	22	10,8	310	16,3	6,9	313	19	11	
9	317	22,3	10,5	315	18,2	8	315	21,2	9,4	
10	310	22,2	9,5	298	18,4	8,5	308	19,3	12,9	
11	316	18,5	9	317	18,5	—	290	25,2	10	
12	314	23	8,7	—	—	—	—	—	—	
Media ± ES				309,5 ± 5,8	17,9 ± 1,3	7,96 ± 0,9	307 ± 11,9	20,4 ± 2,6	10,2 ± 1,05	
P							p < 0,01			p < 0,01

Tabelul nr. 2

**Modificarea raporturilor cationice din plasmă la sobolanii cu lezuni bilaterale în hipocampul ventral și hipocampul dorsal, la 14 zile după intervenție (pe baza datelor din tabelul nr. 1)**

Raport Lot	Martor	Lezuni în hipocampul ventral		Lezuni în hipocampul dorsal	
		± %	± %	± %	± %
Na/K	15,4	17,2	+11,6 %	15,04	-2,3 %
Na/Ca	34,5	38,8	+12,5 %	30,9	-10,2 %
K/Ca	2,23	2,24	+ 0,4 %*	2,0	-10 %

Pentru a urmări în ce măsură lezarea hipocampului influențează eficacitatea și promptitudinea mecanismelor homeostazice din organism, am folosit testul suprasolicitării. Urmărind tabelele nr. 3 și 4 și schemele de mai jos, care redau conexiunile dintre cei 3 cationi analizați [în care creșterea este notată prin semnul (+), scăderea prin semnul (-), modificările semnificative prin semnul \*], observăm că creșterea concentrației ionului injectat este urmată de modificări compensatorii ale celorlalți doi cationi: fie că scad ambi, fie că unul scade și celălalt crește. Relația dominantă este antagonismul dintre Na și K, constând într-o dublă legătură minus (-)  $Na \rightleftharpoons K$ . Mai există și legătura plus-minus (+, -) între Na și Ca,  $Na \rightleftharpoons Ca$ , în sensul că creșterea Na uneori determină creșterea, alteori scăderea Ca, pe de o parte, și între K și Ca, pe de altă parte,  $K \rightleftharpoons Ca$ , unde la fel creșterea K crește sau scade Ca.



Schemele redau interacțiunile dintre cationi în faza modificărilor rapide, de moment, survenite după dezechilibrire. Amintim rezultate asemănătoare, privind interacțiunile dintre cationi, obținute de Pop (13)

Tabelul nr. 3  
Modificarea conținutului de  $Na^+$ ,  $K^+$ ,  $Ca^{++}$  în sistenu circulator sanguin

Nr.	Martor	Lezuni în hipocampul ventral			Lezuni în hipocampul dorsal		
		Inainte de inject.	După inject.	Inainte de inject.	După inject.	Inainte de inject.	După inject.
mg%	Na <sup>+</sup>	K <sup>+</sup>	Ca <sup>++</sup>	Na <sup>+</sup>	K <sup>+</sup>	Ca <sup>++</sup>	Na <sup>+</sup>
1	325	19,5	8,8	9,8	305	18	7,8
2	320	25	7,9	9,9	316	20	7
3	305	20	8,9	9,5	309	18,5	8,9
4	308	19	8,6	9,2	313	17,3	9
5	323	17	9,6	10,5	312	15,4	9,6
6	324	18	7,8	17,1	299	17,5	7,1
7	320	21,5	10	312	17,9	9,1	311
8	318	22	10,8	16,9	310	16,3	6,9
9	317	22,3	10,5	295	17,7	8,9	315
10	310	22,2	9,4	302	18,2	8,2	323
11	316	18,5	9	305	17,8	8,9	333
12	314	23	8,7	298	18,8	10,9	332
M	317,3	20,5	9,2	298	17,8	9,4	309,5
+ES	$\pm 6,1$	$\pm 2,2$	$\pm 0,9$	$\pm 10,2$	$\pm 0,8$	$\pm 0,9$	$\pm 5,8$
P				$\pm 11,1$	$\pm 1,3$	$\pm 1,2$	$\pm 11,9$
				$\pm 11,1$	$\pm 1,3$	$\pm 1,2$	$\pm 11,9$
				$\pm 0,9$	$\pm 0,9$	$\pm 0,9$	$\pm 0,9$
				$\pm 11,1$	$\pm 1,3$	$\pm 1,2$	$\pm 11,9$
				$\pm 0,9$	$\pm 0,9$	$\pm 0,9$	$\pm 0,9$
				$\pm 11,1$	$\pm 1,3$	$\pm 1,2$	$\pm 11,9$
				$\pm 0,9$	$\pm 0,9$	$\pm 0,9$	$\pm 0,9$
				$\pm 11,1$	$\pm 1,3$	$\pm 1,2$	$\pm 11,9$
				$\pm 0,9$	$\pm 0,9$	$\pm 0,9$	$\pm 0,9$
				$\pm 11,1$	$\pm 1,3$	$\pm 1,2$	$\pm 11,9$
				$\pm 0,9$	$\pm 0,9$	$\pm 0,9$	$\pm 0,9$
				$\pm 11,1$	$\pm 1,3$	$\pm 1,2$	$\pm 11,9$
				$\pm 0,9$	$\pm 0,9$	$\pm 0,9$	$\pm 0,9$
				$\pm 11,1$	$\pm 1,3$	$\pm 1,2$	$\pm 11,9$
				$\pm 0,9$	$\pm 0,9$	$\pm 0,9$	$\pm 0,9$
				$\pm 11,1$	$\pm 1,3$	$\pm 1,2$	$\pm 11,9$
				$\pm 0,9$	$\pm 0,9$	$\pm 0,9$	$\pm 0,9$
				$\pm 11,1$	$\pm 1,3$	$\pm 1,2$	$\pm 11,9$
				$\pm 0,9$	$\pm 0,9$	$\pm 0,9$	$\pm 0,9$
				$\pm 11,1$	$\pm 1,3$	$\pm 1,2$	$\pm 11,9$
				$\pm 0,9$	$\pm 0,9$	$\pm 0,9$	$\pm 0,9$
				$\pm 11,1$	$\pm 1,3$	$\pm 1,2$	$\pm 11,9$
				$\pm 0,9$	$\pm 0,9$	$\pm 0,9$	$\pm 0,9$
				$\pm 11,1$	$\pm 1,3$	$\pm 1,2$	$\pm 11,9$
				$\pm 0,9$	$\pm 0,9$	$\pm 0,9$	$\pm 0,9$
				$\pm 11,1$	$\pm 1,3$	$\pm 1,2$	$\pm 11,9$
				$\pm 0,9$	$\pm 0,9$	$\pm 0,9$	$\pm 0,9$
				$\pm 11,1$	$\pm 1,3$	$\pm 1,2$	$\pm 11,9$
				$\pm 0,9$	$\pm 0,9$	$\pm 0,9$	$\pm 0,9$
				$\pm 11,1$	$\pm 1,3$	$\pm 1,2$	$\pm 11,9$
				$\pm 0,9$	$\pm 0,9$	$\pm 0,9$	$\pm 0,9$
				$\pm 11,1$	$\pm 1,3$	$\pm 1,2$	$\pm 11,9$
				$\pm 0,9$	$\pm 0,9$	$\pm 0,9$	$\pm 0,9$
				$\pm 11,1$	$\pm 1,3$	$\pm 1,2$	$\pm 11,9$
				$\pm 0,9$	$\pm 0,9$	$\pm 0,9$	$\pm 0,9$
				$\pm 11,1$	$\pm 1,3$	$\pm 1,2$	$\pm 11,9$
				$\pm 0,9$	$\pm 0,9$	$\pm 0,9$	$\pm 0,9$
				$\pm 11,1$	$\pm 1,3$	$\pm 1,2$	$\pm 11,9$
				$\pm 0,9$	$\pm 0,9$	$\pm 0,9$	$\pm 0,9$
				$\pm 11,1$	$\pm 1,3$	$\pm 1,2$	$\pm 11,9$
				$\pm 0,9$	$\pm 0,9$	$\pm 0,9$	$\pm 0,9$
				$\pm 11,1$	$\pm 1,3$	$\pm 1,2$	$\pm 11,9$
				$\pm 0,9$	$\pm 0,9$	$\pm 0,9$	$\pm 0,9$
				$\pm 11,1$	$\pm 1,3$	$\pm 1,2$	$\pm 11,9$
				$\pm 0,9$	$\pm 0,9$	$\pm 0,9$	$\pm 0,9$
				$\pm 11,1$	$\pm 1,3$	$\pm 1,2$	$\pm 11,9$
				$\pm 0,9$	$\pm 0,9$	$\pm 0,9$	$\pm 0,9$
				$\pm 11,1$	$\pm 1,3$	$\pm 1,2$	$\pm 11,9$
				$\pm 0,9$	$\pm 0,9$	$\pm 0,9$	$\pm 0,9$
				$\pm 11,1$	$\pm 1,3$	$\pm 1,2$	$\pm 11,9$
				$\pm 0,9$	$\pm 0,9$	$\pm 0,9$	$\pm 0,9$
				$\pm 11,1$	$\pm 1,3$	$\pm 1,2$	$\pm 11,9$
				$\pm 0,9$	$\pm 0,9$	$\pm 0,9$	$\pm 0,9$
				$\pm 11,1$	$\pm 1,3$	$\pm 1,2$	$\pm 11,9$
				$\pm 0,9$	$\pm 0,9$	$\pm 0,9$	$\pm 0,9$
				$\pm 11,1$	$\pm 1,3$	$\pm 1,2$	$\pm 11,9$
				$\pm 0,9$	$\pm 0,9$	$\pm 0,9$	$\pm 0,9$
				$\pm 11,1$	$\pm 1,3$	$\pm 1,2$	$\pm 11,9$
				$\pm 0,9$	$\pm 0,9$	$\pm 0,9$	$\pm 0,9$
				$\pm 11,1$	$\pm 1,3$	$\pm 1,2$	$\pm 11,9$
				$\pm 0,9$	$\pm 0,9$	$\pm 0,9$	$\pm 0,9$
				$\pm 11,1$	$\pm 1,3$	$\pm 1,2$	$\pm 11,9$
				$\pm 0,9$	$\pm 0,9$	$\pm 0,9$	$\pm 0,9$
				$\pm 11,1$	$\pm 1,3$	$\pm 1,2$	$\pm 11,9$
				$\pm 0,9$	$\pm 0,9$	$\pm 0,9$	$\pm 0,9$
				$\pm 11,1$	$\pm 1,3$	$\pm 1,2$	$\pm 11,9$
				$\pm 0,9$	$\pm 0,9$	$\pm 0,9$	$\pm 0,9$
				$\pm 11,1$	$\pm 1,3$	$\pm 1,2$	$\pm 11,9$
				$\pm 0,9$	$\pm 0,9$	$\pm 0,9$	$\pm 0,9$
				$\pm 11,1$	$\pm 1,3$	$\pm 1,2$	$\pm 11,9$
				$\pm 0,9$	$\pm 0,9$	$\pm 0,9$	$\pm 0,9$
				$\pm 11,1$	$\pm 1,3$	$\pm 1,2$	$\pm 11,9$
				$\pm 0,9$	$\pm 0,9$	$\pm 0,9$	<

Tabelul nr. 4  
Modificarea conținutului de  $\text{Na}^+$ ,  $\text{K}^+$ ,  $\text{Ca}^{++}$  la injectarea cu  $\text{KCl}$  1% în sistemul circulator sanguin

Nr.	Martor				Leziuni în hipocampul ventral								Leziuni în hipocampul dorsal							
	Înainte de injectare		După inject.		Înainte de inject.				După inject.				Înainte de inject.				După inject.			
mg%	$\text{Na}^+$	$\text{K}^+$	$\text{Ca}^{++}$	$\text{Na}^+$	$\text{K}^+$	$\text{Ca}^{++}$	$\text{Na}^+$	$\text{K}^+$	$\text{Ca}^{++}$	$\text{Na}^+$	$\text{K}^+$	$\text{Ca}^{++}$	$\text{Na}^+$	$\text{K}^+$	$\text{Ca}^{++}$	$\text{Na}^+$	$\text{K}^+$	$\text{Ca}^{++}$		
1	322	17,5	6,6	327	20,5	7,2	320	19,5	6,2	312	22,5	7,4	280	16	8,4	274	24	7,5		
2	298	19,5	8,1	338	20	7,1	315	19,8	5,5	309	20,8	8	277	15,2	8,6	276	23,5	6,3		
3	315	20	7,8	329	21,5	7,5	319	21	4,7	296	24,4	7,8	281	12	10	279	22,5	8		
4	295	17	8,2	335	17,8	6	316	20	6	300	21,7	5,8	290	14,4	9,8	266	22	6,1		
5	307	16,5	6,8	333	17	6,4	313	16	4,8	295	19	8,8	289	14	7,8	262	20,9	6,5		
6	318	16	6,4	325	17,3	6,5	312	17,5	6,5	299	19,2	10	296	13,8	6,9	263	23,8	7		
7	310	17,6	9,6	331	17,9	8,1	305	20,2	6,3	301	25	6,8	298	14,9	7	265	24,6	6		
8	305	18,1	7,1	334	20,7	8	325	21	5,2	306	22	7,6	285	13,9	6,5	264	22,9	5,4		
9	310	17,7	9,8	340	18	6,2	311	19	5,8	297	23,5	8,6	283	14	7,1	276	25	6		
10	314	17,9	8,3	332	18,5	8,2	314	19,6	—	—	—	—	7	300	14,2	6,8	275	—		
11	315	19,2	9	328	19,5	7,7	318	—	—	—	—	—	—	—	—	—	—	—		
12	308	17,1	8,4	335	20,1	—	—	—	—	—	—	—	—	—	—	—	—	—		
M	310	18	8	333	19,6	7,1	314,5	19,4	5,6	301,6	22,1	7,7	287,9	14,2	7,8	270	23,3	6,53		
$\pm \text{ES}$	$\pm 7,7$	$\pm 1,1$	$\pm 1$	$\pm 4,3$	$\pm 1,5$	$\pm 0,7$	$\pm 4,8$	$\pm 1,5$	$\pm 0,7$	$\pm 0,63$	$\pm 2$	$\pm 1,1$	$\pm 7,6$	$\pm 1,05$	$\pm 1,05$	$\pm 6,1$	$\pm 1,2$	$\pm 0,24$		
P	$p < 0,01$																			

După inject.  $p < 0,01$

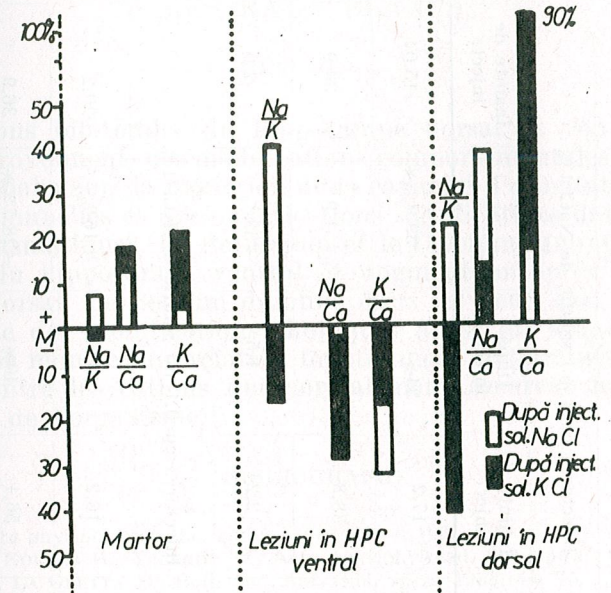
$p < 0,01$

9

LEZIUNI BILATERALE ALE HIPOCAMPULUI ȘI RHOPIA

la pisici, prin injectări repetitive de  $\text{NaCl}$ ,  $\text{KCl}$  și  $\text{CaCl}_2$  în sănge și în hipotalamus.

Comparind variațiile valorilor rapoartelor  $\frac{\text{Na}}{\text{K}}$ ,  $\frac{\text{Na}}{\text{Ca}}$ ,  $\frac{\text{K}}{\text{Ca}}$  la cele trei loturi, înainte și după injectarea de  $\text{NaCl}$  și  $\text{KCl}$ , redate în tabelul nr. 5 și în figura 4, constatăm că variațiile valorilor rapoartelor sunt mai ample la șobolanii lezați (între  $\pm 20\%$  și  $\pm 90\%$ ) decât la martori (între  $-1\%$  și  $+20\%$ ). Deci îndepărțarea cationului în exces și revenirea spre normal (reechilibrarea) se fac mai încet la șobolanii lezați în hipocamp decât la martori.



Acestea ne întăresc presupunerea că leziunile în hipocamp tulbură promptitudinea și eficacitatea mecanismelor homeorhopice și că, implicit, hipocampul are rol în realizarea acestor mecanisme.

#### CONCLUZII

1. Leziunile bilaterale ale hipocampului dorsal și ventral la șobolanii albi provoacă modificări, în mare parte semnificative, în conținutul cationilor  $\text{Na}$ ,  $\text{K}$  și  $\text{Ca}$  din plasmă. Astfel,  $\text{K}$  și  $\text{Ca}$  scad semnificativ la lezarea hipocampului ventral, iar  $\text{Ca}$  crește semnificativ în urma lezării hipocampului dorsal.

2. Rolul hipocampului dorsal și ventral în reglarea conținutului cationilor în plasmă este, probabil, diferit.

Tabelul nr. 5

Modificarea raporturilor cationice în plasmă la șobolanii marfor cu leziuni în hippocampul ventral și hippocampul dorsal, în urma injectării cu sol. NaCl 1% și KCl 1%

Lot	Raport	Marfor			Injectarea cu 1 ml soluție de NaCl 1%			Leziuni în hippocampul ventral			Leziuni în hippocampul dorsal		
		Inainte de inject.	După inject.	± %	Inainte de inject.	După inject.	± %	Inainte de inject.	După inject.	± %	Inainte de inject.	După inject.	± %
Modificarea raporturilor cationice în plasmă la șobolanii marfor cu leziuni în hippocampul ventral și hippocampul dorsal, în urma injectării cu sol. NaCl 1% și KCl 1%													
Na	K	15,4	16,7	+ 8,4%	17,2	24*	+ 39,9%*	15,04	18,4	+ 22,3%			
Na	Ca	34,5	39,2	+ 13,3%	38,8	38,1	- 1,9%	30,9	42,7	+ 38%			
K	Ca	2,23	2,34	+ 5%	2,24	1,5	- 33%	2,0	2,31	+ 15,5%			
Modificarea raporturilor cationice în plasmă la șobolanii marfor cu leziuni în hippocampul ventral și hippocampul dorsal, în urma injectării cu 0,1 ml soluție de KCl 1%													
Na	K	17,22	17	- 1,2%	16,2	13,6	- 16%	20,2	11,6*	- 42,5%*			
Na	Ca	38,75	46	+ 18,7%	56,1	40*	- 28,7%*	36,9	41,5	+ 12,4%			
K	Ca	2,25	2,76	+ 22,6%	3,45	2,87	- 16,9%	1,82	3,60	+ 99,9%			

3. Variațiile K și Ca plasmatic, procentual, sunt mai mari decât ale Na.

4. Analiza modificărilor rhopice ne arată o anumită relație funcțională și anumite interacțiuni între cationi, care asigură o stabilitate modificărilor survenite în urma dezechilibrului prin suprasolicitare.

(Avizat de prof. E. A. Pora.)

### L'INFLUENCE DES LÉSIONS BILATÉRALES DU HIPPOCAMPE DORSAL ET VENTRAL SUR LA RHOPIE PLASMATIQUE CHEZ LES RATS BLANCS

#### RÉSUMÉ

Les lésions bilatérales du hippocampe dorsal et ventral chez les rats blancs provoquent des modifications comportementales (automutilation et cannibalisme), la réduction de la capacité d'orientation, d'hyperactivités fonctionnelles et des modifications significatives dans le contenu des cations plasmatiques. Le Potassium et le Calcium diminuent à la suite de la lésion du hippocampe ventral et augmentent après la lésion du hippocampe dorsal. Le Sodium diminue dans les deux cas.

L'analyse des modifications rhopiques après les lésions bilatérales du hippocampe montre une relation fonctionnelle déterminée et certaines interactions entre les cations qui normalement assurent la stabilité de l'homéostasie de l'organisme.

#### BIBLIOGRAFIE

- BOHUS B., Acta physiol. Acad. Sc. Hung., 1961, **20**, 4, 196.
- FENDLER G., KORMOS G., TELEGYD G., Acta physiol. Acad. Sc. Hung., 1961, **20**, 3, 293.
- GIAMANCA S., LA GRETNA V., Boll. Soc. Ital. Biol. sper., 1968, **44**, 75.
- GRANT L., JARARD L., Brain Res. Netherl., 1968, **3**, 124.
- GREEN J., Neurophysiology, 1960, **2**, 1, 1373.
- JEAN DE GROOT, *The rat forebrain in Stereotaxic coordinates*, Amsterdam, 1959.
- KARLI P., J. Physiol., Paris, 1968, **1**, 60, 56-70.
- KORMOS G., GRASTYAN E., HAJNA LASENZY, L. VERECSKEY, J. GROSZ, Acta physiol. Acad. Sc. Hung., 1965, **26**, 1-2, 76.
- KOVACS K., SZ. SZEBOREINGI, Acta physiol. Acad. Sc. Hung., 1966, **30**, 1, 73-77.
- OGURO TOSO, Sikoku dzasi igaku, Skikoku acta med., 1965, **1**, 21, 1-18.
- PORA E. și colab., Com. Acad. R.P.R., 1960, **10**, 7, 12.
- POP M., PORA E., FILIPĂS I., Studia Univ. „Babeș-Bolyai”, Biologia, 1966, **2**, 137.
- POP M., Fiziol. norm. și patol., 1968, **14**, 1, 29.
- PSATTA D., St. și cerc. neurol. 1969, **14**, 4, 28-50.
- STRUNGARU G., *Contribuții la studiul fiziolgiei tonusului cortical, cu privire specială asupra rolului tonogen al rinencefalului*, Cluj, 1965, 80-110 (teză de doctorat).
- STUTZ R., J. comp. Physiol. Psychol. U.S.A., 1968, **1**, 68.
- TRACSYC W., Acta Biol. exp. Warszawa, 1967, **27**, 3.
- VAGENAS H., FLYN I., Brain Res. Netherl. 1968, **3**, 489.

Universitatea „Babeș-Bolyai”,  
Catedra de fiziolgie animală  
Cluj, str. Clinicii nr. 5-7

Primit în redacție la 7 decembrie 1972

## UN MODEL AL EVOLUȚIEI BIOLOGICE

DE

C. PORTELLI

According to the model presented, the evolution of species is not the result of genetic mutations and of natural selection, but the effect of the action of certain mechanisms ruled by the optimality principle.

Within phylogenesis, four types of evolution may be observed at the level of the nuclear DNA: extensive, intensive, restrictive and reorganizing.

The extensive evolution of DNA was produced in the transitional period from pre-cellular elements to the cell and in the development from cell colonies to Metazoa. For this reason the species differed from the beginning by the nucleus DNA amount and their evolutive genetic potential.

### INSUFICIENȚA FACTORILOR CAUZALI FOLOȘIȚI ACTUALMENTE PENTRU EXPLICAREA EVOLUȚIEI BIOLOGICE

Studiul evoluției speciilor a arătat în mod convingător că dezvoltarea filogenetică are o direcție și un sens, de la organizarea simplă spre organizarea complexă, cu edificarea unor niveluri de ordine din ce în ce mai înaltă.

Teoriile actuale despre cauzele evoluției biologice presupun intervenția a doi factori: mutația genetică și selecția naturală.

a. Mutația genetică este produsă sub influența unor factori de mediu foarte variati: radiații ionizante, agenți chimici etc. Aceste mutații se produc de o manieră cu totul întâmplătoare și nu prezintă nici o corelație de tip adaptativ la condițiile de mediu care le-au generat.

b. Selectia intervine prin intermediul luptei inter- și intraspecifice, precum și prin confruntarea directă cu condițiile mediului exterior, și dă posibilitate supraviețuirii doar indivizilor celor mai bine dotați.

Acești factori cauzali nu pot explica în suficientă măsură tendința evoluției biologice spre perfecționarea organizatorică, întrucât atât mutațiile, cât și selecția naturală nu urmăresc acest criteriu. Întâmplarea urmată de selecție poate constitui un cuplu cauzal al evoluției în cazul sistemelor foarte simple. La ele există o oarecare probabilitate ca să apară prin hazard și o structură organizatorică mai complexă, care să fie ulterior selecționată. În cazul sistemelor foarte complexe, cu o înaltă ordine și integrare, hazardul nu mai poate constitui un mijloc de edificare a unei ordini mai complexe. Aceasta ar fi ca și cum s-ar încerca să se scrie o carte de logică utilizând un noian de litere care cad la întâmplare. O literă nouă introdusă în text nu are nici un sens prin ea însăși, pentru că selecția să poată avea un criteriu suficient de intervenție. Nici un cuvânt și nici măcar o frază nouă nu ar fi suficiente, ci este nevoie de o pagină, și anume de una care să fie logică și necontradictorie cu restul sistemului pentru a putea să fie corelată cu el.

În concluzie, trebuie căutați alți factori cauzali ai evoluției biologice.

#### ROLUL ADN ÎN EVOLUȚIA BIOLOGICĂ

Astăzi este pe deplin stabilit rolul ADN în ereditate și, în consecință, orice model al evoluției biologice trebuie să indice transformările corespunzătoare ale acizilor nucleici. S-au incriminat în această privință următoarele mecanisme:

a. Recombinarea intra- și intercromozomială a materialului genetic, fenomen care are loc cu predilecție în timpul diviziunii celulare (12).

b. Schimbările de material genetic între celulele aflate în contact mai mult sau mai puțin direct. Aceste schimburi se pot efectua prin difuziunea fragmentelor genetice în mediu și captarea lor (transformație), prin intermediul virusurilor care facilitează pătrunderea materialului genetic străin în nucleu (transducție), prin mijlocirea conjugării sau prin comunicarea sexuală (3), (13).

Jacob și Monod (5), (7) au arătat că pentru elaborarea unei singure enzime la nivelul ADN se pune în mișcare un complex aparat cibernetic molecular, alcătuit din: gene regulator, gene represor, mRNA, gene operator și gene efector.

Britten și Davidson (1) au propus un model de ADN cu o înaltă organizare, care prezintă 5 tipuri de elemente genetice funcționale: gene sensor, gene integrator, activator RNA, gene receptor și gene productor.

ADN apare din ce în ce mai mult ca un sistem cibernetic deosebit de complex, care joacă un rol de primă importanță în evoluția speciilor.

Pe de altă parte, nu se poate nega citoplasmelui un rol evolutiv. Sub influența activității genelor, în citoplasmă se formează compuși macromoleculari care acționează apoi pe cale inversă ca inductori sau ca reprezori asupra genelor. Se realizează astfel un *feed-back* citoplasmă-nucleu (12).

#### PRINCIPIUL OPTIMIZĂRII

Sistemele vii sunt sisteme cibernetice complexe ale căror funcții se desfășoară conform unui program genetic. În evoluția sistemelor biologice se remarcă intervenția unui principiu de optimizare. Sistemele evoluează spre optimizarea funcțiilor lor. Aceasta înseamnă realizarea la cel mai înalt nivel a programului lor cu un consum minim de energie. Programul sistemelor vii urmărește în primul rînd conservarea proprietății existente și autoreproducerea. Acest program suferă, pe parcursul evoluției filogenetice, modificări în sensul creșterii complexității obiectivelor propuse și mai ales a mecanismelor utilizate.

Pentru a veni în sprijinul ideii că în evoluția filogenetică a sistemelor vii intervin mecanisme interne care acționează conform unor principii de optimizare, prezentăm următoarele argumente:

1. *Fiecare sistem viu are anumite puncte de optim funcțional care sunt dependente de valorile parametrilor lui interni (și în mod indirect și de valorile parametrilor externi).* Studiind dinamica bioelectrogenezei sub influența modificărilor de temperatură la animale poikiloterme (broasca) și homeoterme (șoareci și şobolani), se constată că pentru fiecare subsistem (retină, nervi, mușchi striați, cord, creier etc.) există un anumit punct termic de optim funcțional (10). Prin aceasta se înțelege că, la o anumită temperatură, sistemul își atinge valorile maxime pentru unii parametri și valorile minime pentru alți parametri, de așa manieră încât se favorizează realizarea programului genetic. De exemplu, la nervul sciatic de broască, amplitudinea maximă și viteza cea mai mare de transmisie a potențialului de acțiune apar la o temperatură în jurul lui 38–39°C. Latența cea mai scurtă în declanșarea excitației, precum și frecvența maximă de impulsuri pe care sănătatea capabili să le transmită axonii de broască se situează tot în jurul temperaturii de 38–39°C (10). Toate aceste modificări cresc capacitatea nervilor de a transmite informațiile. Pentru aceleași criterii de apreciere (amplitudine, viteză, latență și frecvență maximă), nervul sciatic de şobolan prezintă un punct de optim funcțional situat în jurul lui 39–40°C (10).

2. *Sistemele vii au evoluat filogenetic spre optimizarea funcțiilor lor.* Datele experimentale arată că, din punct de vedere al transmiterii informațiilor prin nervi, broasca, animal poikiloterm, prezintă o temperatură medie a organismului cu 15–20°C mai scăzută decât temperatura corespunzătoare optimului funcțional. Şobolanul, animal homeoterm, are o temperatură a corpului constantă și situată în vecinătatea temperaturii optime pentru conducerea informațiilor nervoase. Cum evoluția filogenetică să produse de la poikiloterme spre homeoterme, apare evident că prin acesta s-a realizat și o optimizare de tip informațional. Aceasta s-a constituit treptat, prin autogenerarea unui sistem de reglaj termic.

3. *Criteriile care au stat la baza optimizării funcțiilor au evoluat și ele odată cu evoluția filogenetică.* Se știe că metabolismul basal crește cu circa 13% pentru fiecare grad Celsius în plus.

Dacă, din punctul de vedere al temperaturii corpului, poikilotermele se află la o temperatură suboptimă pentru transmisia informațiilor, această temperatură le este în schimb favorabilă prin solicitarea unui consum

energetic redus. Pe parcursul evoluției speciilor s-a produs o schimbă și a criteriilor de optimizare. La început au intervenit criterii mai multe de ordin energetic, pentru că ulterior să domine criteriile de ordin informational. Am putea spune că s-a realizat o optimizare chiar și în cadrul criteriilor, deci o optimizare de ordinul doi.

Selecția naturală, descrisă de Darwin, nu este decât o formă particulară a principiului de optimizare, care apare la intersecția condițiilor de mediu cu potențialele disponibile ale sistemelor vii. Principiul optimizării acționează la toate nivelurile de organizare ale sistemelor vii și este generat, pe măsura evoluției, chiar de funcțiile interne ale sistemului.



În continuare, vom studia un model al evoluției speciilor pornind de la acizii nucleici și de la principiul optimizării.

#### EVOLUȚIA ADN

Urmărind modificările ADN în corelație cu transformările speciile din cursul evoluției filogenetice, se pot diferenția 4 tipuri de evoluții :

- 1) evoluția extensivă ;
- 2) evoluția intensiv-integrativă ;
- 3) evoluția restrictivă ;
- 4) evoluția restructivă.

1) *Evoluția extensivă*. Ea constă în creșterea cantității de nucleotide ale ADN celular, pe parcursul dezvoltării filogenetice. D. A. V. I. D. S. O. N. și C. O. H. N. (3) apreciază numărul perechilor de nucleotide aflate în nucleul unei celule de mamifer ca fiind de  $10^3$  ori mai mare decât cel al nucleotidelor din nucleul bacteriilor. În legătură cu această problemă se pun două întrebări :

- care este cauza evoluției extensive ?
- care este mecanismul prin care ea s-a realizat ?

Cauza evoluției extensive constă în tendința spre optimizare a tuturor sistemelor și subsistemelor vii. Dacă ne referim la cantitatea de ADN nuclear, o creștere a ei are evidente implicații de optimizare a funcțiilor celulare, chiar dacă se produce o simplă dedublare cu material genetic de același tip, întrucât crește viteza de producere a enzimelor.

În ce privește mecanismele prin care s-a realizat această evoluție extensivă, se pot face două ipoteze :

- a) cantitatea de ADN a crescut în mod continuu pe parcursul evoluției filogenetice ;
- b) cantitatea de ADN a crescut mai ales în anumite momente ale evoluției filogenetice.

Prima ipoteză este susținută de majoritatea autorilor și, conform ei, creșterea cantității de ADN s-a produs și se produce în mod continuu prin :

- achiziția de material genetic extern ;
- duplicarea unor gene sau chiar a unor blocuri de gene care aparțin propriului nucleu.

O serie de date experimentale vin să certifice aceste modalități, dar nu demonstrează și faptul că aceasta este calea principală pe care a urmat-o evoluția extensivă în dezvoltarea filogenetică.

Conform celei de-a doua ipoteze, evoluția extensivă a ADN a avut loc într-o fază incipientă a evoluției celulare, atunci cînd celula nu era încă pe deplin constituită și integrată. Studiind evoluțiile extensive pentru diferitele niveluri de organizare ale materiei vii, se constată că ele se produc mai ales în faza de tinerețe a sistemelor, atunci cînd integrarea lor funcțională nu s-a realizat încă pe deplin. Odată efectuată integrarea sistemului, evoluția extensivă are loc în domeniul de organizare a nivelului superior. De exemplu, evoluția extensivă a ADN din celulele actuale, care sunt bine integrate ca entități, se produce prin duplicarea semiconservativă a materialului genetic și duce la diviziunea celulară și la creșterea numărului de celule, ea acționând deci la nivelul supracelular.

Cele două ipoteze nu se exclud una pe alta și este posibil ca, de o manieră oarecare, ele să fi acționat împreună. Dacă e veridică cea de-a doua ipoteză, atunci celulele s-au diferențiat încă de la începutul apariției lor printr-un potențial evolutiv repartizat în mod egal, în funcție de cantitatea de ADN pe care au primit-o.

2) *Evoluția intensiv-integrativă*. Aceasta este evoluția unui sistem spre perfecționarea relațiilor dintre unitățile subcomponente, în vederea realizării unui grad din ce în ce mai înalt de organizare.

Relațiile dintre subunitățile unui sistem se dezvoltă după următoarea schemă :

- a) la început domină relațiile de relativă independență ;
- b) urmează apoi diferențierea și specializarea elementelor, care este însoțită de crearea unor relații de cooperare ;
- c) în cele din urmă, se produce integrarea elementelor pe un nivel de organizare superior.

Această schemă de evoluție intensiv-integrativă este întîlnită la toate nivelurile de organizare ale sistemelor vii și se constituie sub impulsul principiului de optimizare. Diferențierea elementelor, specializarea lor pe anumite atribuții și coordonarea operațiilor lor sub comanda unui centru unic contribuie la realizarea unei eficiente funcționale crescute.

În cazul ADN, numeroase date din literatură vin să pledeze pentru existența evoluției lui intensiv-integrative de-a lungul dezvoltării filogenetice a speciilor.

G. A. T. L. I. N. (4) a arătat că, pentru o anumită compoziție de baze (C + G), cantitatea de informații conținută pe unitatea de simbol este mai mare la vertebrate decât la bacterii, iar la acestea din urmă este mai mare decât la fagi. B. R. I. T. T. E. N. și D. A. V. I. D. S. O. N. (1) au propus un model de DNA conținând 5 clase de elemente funcționale, care sunt integrate într-un sistem unic. S-a arătat că organismele aparținând speciilor superioare, cu un genom mare, au un echipament genetic informational similar în multe privințe celui al speciilor cu un genom mic, dar prezintă o mai amplă complexitate organizatorică și un nivel mai înalt de integrare. La animalele superioare, numeroase date experimentale indică existența unor gene regulatoare suplimentare. C. R. I. C. K. a propus un model de cromozomi pentru speciile evaluate, la care zonele de control alternează cu zonele de

codificare a secvențelor de proteine (2), (6). În concluzie, evoluția intensă integrativă a genomului de-a lungul dezvoltării filogenetice este pe deplin dovedită.

3) *Evoluția restrictivă*. În cadrul acestei evoluții are loc reducerea entităților și a schemelor devenite inutile pe parcursul dezvoltării filogenetice. Acest tip de evoluție prezintă un net avantaj economic în bioenergetica celulară și se produce sub influența același principiu de optimizare. Evoluția restrictivă apare la toate nivelurile de organizare ale sistemelor vii.

În evoluția ontogenetică a unui individ, pe măsură ce se parcurg etapele dezvoltării, unele celule și chiar organe devin inutile sistemului ansamblu, și, ca atare, ele suferă o evoluție restrictivă (involuție). În exemplu, timusul după pubertate și glandele sexuale după menopauză involuează.

Se dispune de puține date despre evoluția restrictivă a ADN. Examind sinteza proteinelor la diferite specii, se observă că multe dintre speciile evoluționate și-au pierdut din capacitatea de a-și sintetiza o serie de vitaminele absolut necesare. La speciile care au evoluat spre parazitism evoluția restrictivă este și mai evidentă.

În timpul evoluției ontogenetice, pe măsura desfășurării etapei o parte din compușii genomului își termină sarcinile care le revin și devin inutili. Este probabil că, în această situație, acțiunea restrictivă constă dintr-o blocare a secvențelor inutile și nu dintr-o eliminare a lor din genom, fapt care ar modifica o mulțime de alte rapoarte topografice dintre gene.

4) *Evoluția restructivă*. Evoluția restructivă transformă schema funcțională a unei mari porțiuni din genom și contribuie la realizarea unei integrări de ordin superior.

Această evoluție corespunde în filogeneza trecerii speciei de la etapa la alta, iar în ontogeneza diferențierii de la celula primară spre celula specializată. Cauza generatoare a evoluției restrictive constă în acțiunea la nivelul tuturor structurilor genomului, precum și la nivelul legăturilor genomului cu citoplasma și cu mediul ambiant, a principiului optimizării.

Sub acțiunea acestui principiu, în timpul evoluției filogenetice încearcă să acumuleze elementele pentru o nouă schemă optimizantă. Elementele noii scheme nu pot să se încadreze treptat în vechiul sistem genomic pentru că prezintă anumite contradicții logice cu el. În această situație ele se organizează treptat și în mod separat. La un moment dat, sistemul genomic depinde de două scheme funcționale, una veche și alta nouă, și basculează sub influența unui stimул extern, trecind de la o situație la alta. O asemenea schimbare constituie o evoluție restructivă și sporește realizează un salt calitativ. Poate că aceasta este explicația lipsei multor forme intermediare în evoluția filogenetică a speciilor. Formele intermediare nu au dispărut, ci nu au apărut.

#### UN MODEL AL EVOLUȚIEI FILOGENETICE

Înainte de apariția primelor celule, au existat, probabil, sistemele precelulare. Sagan (după (10)) a emis ipoteza că mitocondriile ar re-

7  
prezenta tocmai vestigiile unor asemenea sisteme precelulare. O serie de argumente pledează pentru acest lucru:

- mitocondriile conțin un ADN propriu și au capacitatea de a-și transmite genetic caracterele;
- ele au capacitatea de automultiplicare.

Mitocondriile actuale sunt însă diferite de elementele precelulare primitive, deoarece au suferit o serie de transformări corespunzătoare integrării lor celulare.

Sagan presupune că mitocondriile au fost ingerate de citoplasma unor protocelule și că, în urma acestui fapt, a rezultat o simbioză evolutivă.

Conform ipotezei pe care o susținem, la începutul evoluției au existat niște elemente precelulare, care s-au asamblat treptat într-un sistem celular. Principiile de optimizare au impus o anumită evoluție a relațiilor dintre unitățile subcomponente, și anume: diviziunea muncii, specializare, cooperare și în cele din urmă integrarea, cu realizarea unui centru de comandă unic. Din aceste sisteme precelulare s-au diferențiat toate componentele citoplasmatic, iar unele elemente au evoluat spre constituirea centrului de comandă celular și au realizat nucleul. ADN nuclear a rezultat din fuziunea ADN furnizat de aceste elemente precelulare.

În această primă fază a evoluției filogenetice de la precelule la celulă, s-a realizat și cea mai importantă evoluție extensivă și integrativă a ADN cellular.

Renshaw și Huxley au emis o teorie a deschiderilor (9), conform căreia în evoluția sistemelor se produce o creștere a capacitații lor de a domina medii exterioare din ce în ce mai vaste. Ipoteza noastră este că sistemele tind să-și conserve un anumit grad de libertate care să le permită adaptarea la variațiile mediului extern. Prin evoluția intensiv-integrativă, gradul de libertate al subsistemelor în cadrul sistemului scade. Relațiile de relativă independentă sunt înlocuite cu determinismul reglărilor interne. În această situație deschiderea se face prin creșterea gradului de libertate la nivelul de organizare imediat superior. Celula integrată are potențe crescute și un grad de libertate sporit în mediul exterior, comparativ cu sistemele precelulare.

Celulele primitive erau diferite de celulele actuale, așa cum elementele subcelulare actuale sunt diferite de elementele precelulare. Deosebirea constă în faptul că sistemele primitive aveau o integrare puțin avansată.

Din celulele primitive, unele și-au continuat integrarea ca unicelulare, în timp ce altele s-au constituit în colonii și au evoluat spre metazoare. S-au dezvoltat spre metazoare acele celule primitive care au avut de la început anumite potențe crescute în acest sens, ca, de exemplu, o cantitate mai mare de ADN și o disponibilitate mai amplă de diferențiere.

În cadrul coloniilor celulare primitive au acționat principiile de optimizare, iar evoluția relațiilor intercelulare a urmat aceeași ordine pe care am mai menționat-o: diferențiere, specializare, cooperare și integrare, cu constituirea unui centru de comandă unic.

Prin diferențierea celulară, genomul fiecărei celule s-a modificat în mod corespunzător. În acele vremuri ale începutului, materialul genetic avea o mare plasticitate, pentru că nu era încă constituit într-un sistem integrat. Între celulele coloniei s-au efectuat schimburile de informații genetice. O clasă de celule a devenit depozitarul eșantioanelor de informație

genetică provenind de la toate tipurile celulare și astfel s-au constituit viitoarele celule germinale. Din celulele germinale puteau evoluă prin diferențiere (activarea segmentului corespunzător din genom) oricare dintre tipurile celulelor reprezentate de un esantion genetic.

Prin constituirea organismului pluricelular, genomul a suferit o puternică evoluție extensivă datorită sumării eșantioanelor genomului diferențiat. Astfel s-a produs cel de-al doilea moment important de extensie a ADN (primul moment de extensie fiind marcat prin trecerea de la sistemele precelulare la celulă).

În cadrul organismelor metazoarelor, evoluțiile extensivă, integrativă, restrictivă și restructivă s-au produs printr-o continuă deplasare a echilibrelor interne, sub influența funcțiilor de optimizare. În acest mers ascendent, speciile au apărut ca niște etape de echilibru relativ. Au existat perioade în care evoluția a operat inaparent și perioade în care ea a devenit manifestă. Deosebirea se datorează faptului că sistemele prezintă intervale în care modificările funcționale sunt tamponate prin intervenția mecanismelor de reglare și intervale în care limitele de toleranță ale sistemelor sunt depășite, având loc tranzitia spre o altă stare. Aceste tranzitii corespund, în cadrul speciilor, mutațiilor, iar pentru ADN celular ele reprezintă ceea ce s-a descris la evoluția restructivă a acizilor nucleici.

Conform ipotezelor actuale, evoluția filogenetică a speciilor s-a desfășurat după modelul unui arbore cu numeroase ramificații, în care speciile noi au apărut prin desprinderea de la trunchiul comun al speciilor vechi.

Acestui tablou î se poate opune următorul model: în trecerea de la fază precelulară la celulă au rezultat elemente cu diferite cantități de ADN și, de aici, cu inegale potențiale evolutive. Numai unele celule au fost capabile, din acest punct de vedere, să evolueze spre metazoare. Deci prima mare despărțire s-a făcut încă în fază trecerii de la precelule la celule. La constituirea metazoarelor primitive au rezultat deja organisme diferențiate între ele ca potențial genetic. Prin constituirea metazoarelor diferențierea genetică s-a accentuat datorită schimburilor de material genetic între celulele diferențiate.

Cibernetica dezvoltării a impus însă parcurgerea unor anumite etape comune. Nu s-a putut ajunge la stadiul de animal homeoterm decât trecind prin etapa de poikiloterm, nu s-a putut parveni la organizarea creierului fără a realiza mai întâi un sistem nervos de tip ganglionar etc.

Acstei drumuri evolutive comune se explică prin:

1. Celulele primitive au pornit de la niște scheme organizatorice și funcționale asemănătoare, încit și astăzi se păstrează multe similitudini ale metabolismelor elementare pe întreaga scară a evoluției filogenetice. Diferențele dintre celule erau mai mult în ceea ce privește cantitatea materialului genetic și nu în ceea ce privește calitatea și funcțiile lui. Treptat, pe măsură ce genomul s-a integrat, s-au produs și deosebirile de ordin calitativ. Celulele cu genom mare s-au diferențiat și s-au integrat pe mai multe niveluri de organizare, comparativ cu celulele cu genom mai redus. Modificările celulare și cele ale ADN au mers corelat.

2. În condițiile în care dezvoltarea s-a produs în medii asemănătoare, principiile de optimizare au condus la soluții analogice. Se știe, de exemplu, că forma aerodinamică și mijloacele de înot seamănă la

9  
unele din mamiferele acvatice cu cele de la pești. Dezvoltarea embriilor proveniți de la diferite specii (pești, reptile, mamifere) parcurge anumite etape obligatorii comune. S-a spus că evoluția ontogenetică o repetă pe cea filogenetică, dar acest lucru a fost privit mai mult ca o necesitate istorică. Ea apare însă ca o necesitate dictată de anumite legătări cibernetice. Homeorezisul este termenul care consacra în biologie necesitatea parcurgerii unui anumit drum. Acesta înseamnă că, pornind de la stări inițiale similare (asemănări calitative de ADN) și evoluind în condiții de mediu asemănătoare, funcțiile de optimizare impun anumite soluții comune, pentru ca deosebirile să apară mai tîrziu, pe măsură ce se produce și organizarea calitativ diferită a ADN. Dacă ontogenia repetă filogenia și embrionii de la specii diferite parcurg etape evolutive similare, dar ajung la rezultate finale diferite pentru că au genetic potențe diferite, atunci putem accepta că și filogenetic este posibil să se fi petrecut același lucru.

S-a crezut multă vreme că omul descinde din maimuțe. Astăzi s-a renunțat la această ipoteză și se bănuiește că radiația hominidelor de la trunchiul comun s-a produs cu 25 de milioane de ani în urmă, cînd s-au separat ramurile care au dat naștere maimuțelor antropoide de cele care au produs omul (8). Putem presupune că, pe măsură ce metodele noastre de investigație se vor perfecționa, această separare a speciilor va înainta din ce în ce mai adînc în trecutul filogenetic.

#### UN MODEL AL EVOLUȚIEI ÎN ONTOGENEZĂ

La organismele pluricelulare, atât celula-ou, cât și celulele derivate ulterior prin diviziunea ei au o compozitie a genomului similară.

Toate celulele prezintă procese asemănătoare ale unui metabolism de bază necesar întreținerii vieții. Acestei funcții îi corespunde o porțiune a genomului care se păstrează aproape nemodificată de-a lungul evoluției ontogeneze a tuturor celulelor unui metazoar.

Pentru celulele diferențiate, fiecărui tip celular îi corespunde, în plus, o anumită fracțiune activă de genom, care-i asigură specificitatea. Cum într-un organism toate celulele au aceeași zestre genetică, rezultă că fiecare celulă dispune de un genom amplu, din care doar două fracțiuni sunt active: una care-i asigură metabolismul elementar și alta care-i realizează diferențierea. Toate celelalte fracțiuni ale genomului sunt blocate. Fracțiunea genomului care asigură diferențierea celulară este activată, la un moment dat, de o trefonă sau de un hormon și, odată activată, ea blochează definitiv toate celelalte fracțiuni.

Toate celulele conțin întregul material genetic, dar îl conțin în stare latentă. O informație latentă nu devine „informație activă” decât în prezența unui sistem capabil să citească informația și să mobilizeze energiile necesare realizării ei.

O celulă unică poate conține informația potențială pentru edificarea unui organism, dar numai prin diviziune celulară și diferențiere se pot asigura mecanismele traducerii informației latente în informație activă. În celulele sistemului nervos devin active fragmentele de genom

corespunzătoare integrării organismului. Dacă studiem retina ochiului uman, constatăm că există 10 straturi de celule suprapuse, din care 7 straturi de celule nervoase. Fiecare strat de celule nervoase corespunde unui nivel de integrare. Conform unei legități cibernetice, un sistem nu poate edifica un alt sistem de ordin informational superior lui. De aici, putem emite ipoteza că ADN celulelor umane conține cel puțin 7 niveluri de integrare. Nivelurile integrativ-superioare ale genomului celular devin informational-active prin diferențiere celulară în cadrul conexiunilor intercelulare ale organismului.

#### CONSECINȚELE MODELULUI PROPUȘ

1. Mutățiile genetice întâmplătoare, produse sub acțiunea agenților mutageni, nu au jucat nici un rol pozitiv în evoluție.
2. Selectia naturală are un rol evolutiv, însă ea este doar o parte componentă a principiului de optimizare, care acționează la toate nivelurile de organizare ale materiei vii.
3. Evoluția speciilor s-a desfășurat sub influența unor mecanisme interne care s-au condus după principiul optimizării. Mediul exterior a intervenit în evoluție prin faptul că organismul „și-a ales” drumul său optim în condițiile oferite de realitatea existentă.
4. În constituirea speciilor, două etape au jucat un rol major: trecerile de la precelul la celulă și constituirea metazoarelor primitive.
5. Modelul propus este de natură materialistă. El înglobează într-o generalizare mai amplă vechiul model darvinist, întrucât extinde acțiunea principiului optimizării (selectia) la toate nivelurile de organizare ale sistemelor vii.
6. Prin dezvoltarea ciberneticii, o serie de noțiuni din tehnica calculatoarelor, ca: program, optimizare, criterii de opțiune etc., și-au găsit corespondente analogice în biologie (și invers). Toate acestea au contribuit la demonstrarea rolului activ al mecanismelor interne în dezvoltare — care a devenit autodezvoltare în conformitate cu condițiile mediului — și prin aceasta s-a reactualizat un vechi principiu al materialismului dialectic.

(Avizat de prof. V. Vasilescu.)

#### A BIOLOGICAL EVOLUTION MODEL

##### SUMMARY

The present theories concerning the evolution of species imply the intervention of two main generating causes: the random genetic mutations and natural selection.

Starting from the fact that the DNA represents a particularly complex cybernetic system, the mutations produced at random cannot be, under

these conditions, causes for an organizing and functional improvement. The explanations must be looked for in the existence of certain internal mechanisms and functions which aim at the optimizing of the systems and generate the evolution of species.

The following four types of evolutions may be identified for the DNA: extensive, intensive, restrictive and reorganizing.

The DNA extensive evolution consists in the increasing of the nucleotide amount per cell nucleus and it was produced preponderantly in two periods: that of the transition from precellular elements to cell and that of the development from cellular colonies to Metazoa.

The primitive cells were formed from the coupling of certain precellular elements which subsequently developed to differentiation, specialization, co-operation and integration. The nuclear DNA resulted from the merging of DNA in precellular elements (the first stage of the extensive evolution).

Within the phylogenetic development from cellular colonies to Metazoa, the cells belonging to the same ensemble exchanged between them a differentiated genetic material. A cell class, namely the germ cells, became the depositary of all the genetic samples. Thus the second extensive evolution of the DNA was produced.

Taking into account that the DNA extensive evolution took place in these two major moments when the DNA was not yet well integrated, it results that the species differentiation from the potential point of view occurred in these periods, too. The species having various genetic potentials however covered common evolutive distances, as their differentiation appeared only later, when the DNA organized and integrated, as a consequence of its contact with the environment.

##### BIBLIOGRAFIE

1. BRITTON J.R., DAVIDSON H.E., *Science*, 1969, **165**, 3891.
2. CRICK F., *Nature*, 1971, **234**, 5323, 25—27.
3. DAVIDSON J.N., COHN E.W., *Progress in Nucleic Acid Research and Molecular Biology*, Acad. Press, N.Y. — London, 1964.
4. GATLIN L.L., *J. Theoret. Biol.*, 1966, **10**, 281—300.
5. JACOB F., *La logique du vivant*, Edit. Gallimard, Paris, 1970.
6. JEROME F., *Science et vie*, 1971, **120**, 651, 40—45.
7. MONOD J., *Le hasard et la nécessité*, Edit. du Seuil, Paris, 1970.
8. PETIT C., PRÉVOST G., *Génétique et évolution*, Edit. Hermann, Paris, 1967.
9. PIAGET J., *Biologie și cunoaștere*, Edit. Dacia, București, 1971.
10. PORTELLI C., *Dinamica bioelectrogenozei sub influența temperaturii* (Teză de doctorat), I.M.F. București, 1972.
11. RAICU P., IONESCU-VARO M., GANCEVICI G., MOISESCU G., *Celula*, Edit. Academiei, București, 1972.
12. RAVIN W.A., *Evoluția genetică*, Edit. științifică, București, 1969.
13. STEND S.G., *Scientific American*, **227**, 3, 43—48, 1972.

Facultatea de medicină București,  
Bd. Petru Groza nr. 9

Primit în redacție la 27 noiembrie 1972

CONCENTRAȚIA ÎN CLORURĂ DE SODIU LA UNELE  
SPECII DE FORMICIDE DIN ZONELE SALINE ALE  
ROMÂNIEI

DE

DINU PARASCHIVESCU și ILEANA HURGIȘIU

A comparative research has been carried out on sodium chloride concentration of the environment and some plants and Formicidae species from the salted regions Ocna Sibiului, distr. Sibiu, and Tg. Ocna, distr. Bacău.

Cercetările noastre din ultimul timp privind fauna mirmecologică din zonele saline în legătură cu existența speciilor care își construiesc cuibul în aceste condiții de mediu au constituit o preocupare permanentă, deoarece în literatura de specialitate sînt puține date.

Într-o lucrare anterioară (9) am prezentat unele zone saline din România (Lacul Sărat — jud. Brăila, Tg. Ocna — jud. Bacău, Sovata — jud. Mureș), precum și speciile de formicide care rezistă în aceste condiții specifice de mediu, frecvența cuiburilor și modul de construcție al acestora.

În lucrarea de față ne-am propus să analizăm cantitativ conținutul în clorură de sodiu din mediu (apă și sol), precum și din furnici (diferite specii). Cercetările noastre s-au extins și asupra unor specii de plante din aceste zone.

MATERIAL ȘI METODA DE LUCRU

Zonele investigate au fost : Ocna Sibiului — jud. Sibiu și Tg. Ocna — jud. Bacău. Menționăm că zona salină Ocna Sibiului nu a mai fost investigată. Colectările de material s-au făcut în cursul lunilor aprilie—octombrie 1972. S-au colectat probe de mediu (apă și sol) din diferite puncte ale fiecărei zone saline și probe biologice animale : formicide diferite specii,

vegetale, specii de plante caracteristice zonelor saline, ierboase și lemoase. Probele de apă s-au colectat din izvor salin, pîriu și lac din aceeași zonă (aproximativ 15 cc). Probele de sol s-au colectat din puncte diferite ale același zone saline astfel: malul pîrfului, zona de creștere a speciilor *Salicornia europaea* L., *Pinus nigra* L., *Artemisia maritima* L., *Hippophaë rhamnoides* L. și *Phragmites australis* (Cav.) Trin. et Stend. De asemenea s-a colectat sol din cuiburile diferitelor specii de formicide: *Formica cunicularia* Latr., *Tetramorium caespitum* L. și *Myrmica scabrinodis* Nyl.

Probele-martor pentru apă s-au colectat din Delta Dunării (Ghioulul Roșu) și în anii precedenți din Olt (10), iar pentru sol și probe biologice din București (I.B.T.S.).

S-au urmărit tipul de cuiburi și frecvența speciilor în aceste zone. Speciile de formicide s-au colectat numai din cuiburi și au cuprins ♀♀, ♀♀ și ♂♂. Pentru determinarea materialului s-au utilizat metodele din literatura de specialitate (2), (7), (8), (11).

Determinarea concentrației în clorură de sodiu din apă, sol și probe biologice (animale și vegetale) s-a făcut utilizând metode cantitative (3); (4), (5), (6).

Probele de apă s-au filtrat prin hîrtie de filtru Ederol și s-au adus la același volum de 15 cc soluție apoasă. În probe s-a adăugat 1 cc cromat de potasiu 10% și s-au titrat cu azotat de argint 0,1 N. Probele de sol (5 g) s-au diluat cu 50 cc apă prin agitare timp de 10 min. Soluția apoasă obținută s-a filtrat de asemenea prin hîrtie Ederol, folosindu-se în continuare aceeași metodă de filtrare. Probele de furnici (diferite specii) s-au mojarat adăugându-se 20 cc apă. Extractul obținut s-a filtrat și s-a determinat concentrația în clorură de sodiu. Probele de plante s-au mărunțit într-un omogenizator tip „Baby”. Materialul vegetal s-a extras cu 100 cc apă, extractul obținut s-a filtrat și apoi s-a titrat după metoda menționată.

Rezultatele pentru apă sint exprimate în mg ClNa/15 cc apă, iar pentru sol și probe biologice în mg ClNa/0,5 g.

## REZULTATE ȘI DISCUȚII

### 1. Descrierea zonelor investigate

Deoarece zonele saline se diferențiază atât prin concentrația în sare, cât și prin forma depunerilor (masiv salin sau depuneri provenite ca urmare a evaporării apei), ne-am propus descrierea și urmărirea fiecărei zone.

a) *Împrejurimile lacurilor saline din rezervația naturală Oca Sibiului*. Atât sub aspect faunistic, cât și floristic, rezervația naturală Oca Sibiului constituie una din cele mai interesante, dar puțin studiate rezervații ale României (fig. 1). Lacurile sărate s-au format în decursul timpului în locurile unde odinioară au existat exploatari saline. Malurile acestor lacuri sint acoperite cu un strat de sare de grosime variabilă (fig. 2). Dintre speciile ierboase existente în această zonă menționăm *Salicornia europaea* L. și *Artemisia maritima* L., specii dominante, iar dintre esențele lemoase *Robinia pseudacacia* L. S-au cercetat malurile și s-au inventariat speciile de formicide care își construiesc cuiburile în aceste zone. Cuiburile speciilor de formicide sint construite în solul sărat cu mici cratere formate din solul rezultat grupat în jurul deschiderilor (fig. 3).

Frecvența cuiburilor de furnici este în funcție de grosimea stratului de sare. Cu cit grosimea stratului de sare este mai mare, cu atât numărul cuiburilor de furnici este mai redus. Speciile de formicide determinate

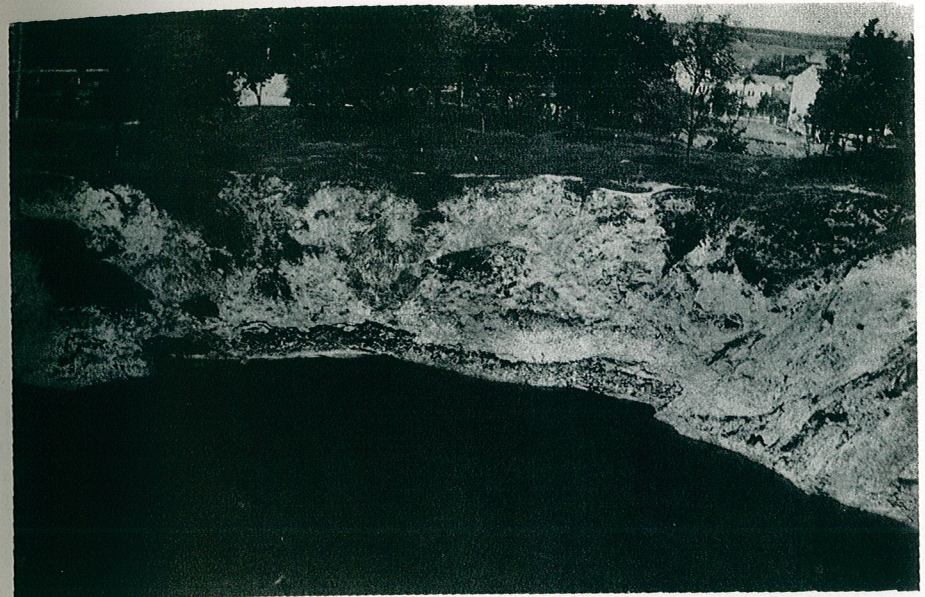


Fig. 1. — Zona salină din cadrul rezervației Oca Sibiului.

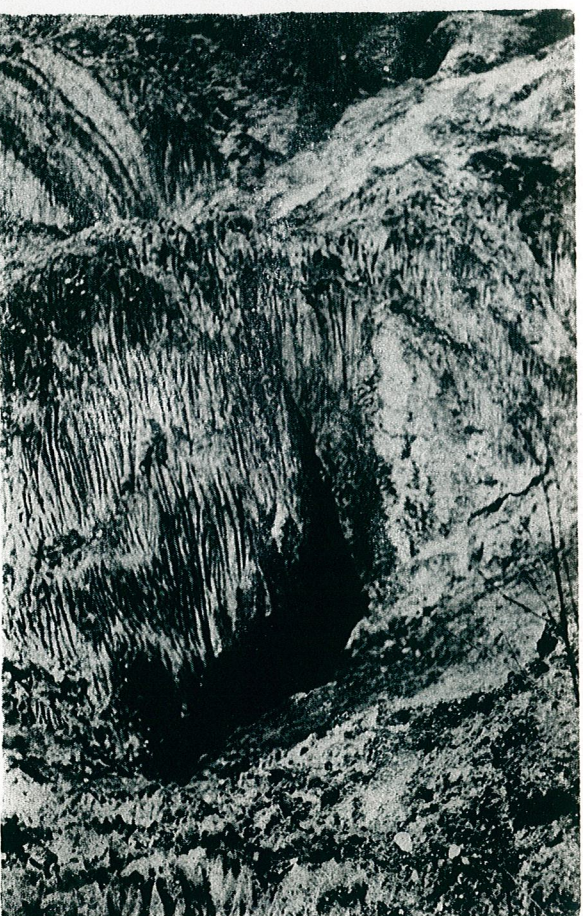


Fig. 2. — Grosimea stratului de sare din zona Oca Sibiului.

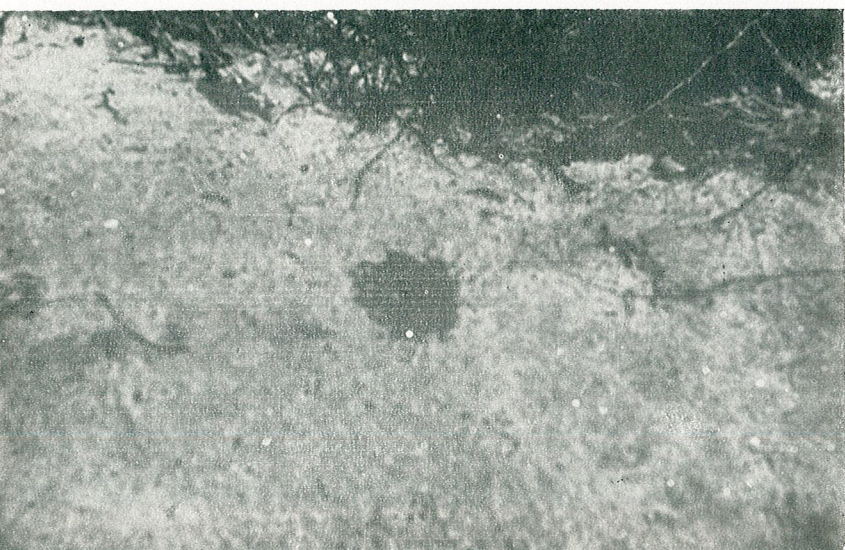


Fig. 3. — Cuib de *Tetramorium caespitum* L. — în sol (Oena Sibiului).



Fig. 4. — Cuib de *Formica cunicularia* Latr. — sub piatră (Tg. Oena).

au fost *Tetramorium caespitum* L., *Lasius niger* L., *Formica cunicularia* Latr., specii comune lunilor aprilie și mai, iar *Camponotus lateralis* Oliv. și *Lasius alienus* Foerst. au fost găsite în plus în mai. Dintre acestea, frecvența cea mai mare au avut-o speciile *Formica cunicularia* Latr., *Lasius niger* L. și *Tetramorium caespitum* L.

b) *Împrejurimile ocnii de sare de la Tg. Oena*. Deoarece descrierea acestei zone investigate s-a făcut într-o lucrare anterioară (9), prezentăm aici speciile vegetale și animale care au constituit obiectul nostru de studiu. Dintre plante, caracteristice acestei zone sunt: *Salicornia europaea* L., *Phragmites australis* (Cav.) Trin. et Stend., *Hippophae rhamnoides* L. și *Pinus nigra* L. și dintre animale formicidele *Formica cunicularia* Latr., *Camponotus lateralis* Oliv., comune în lunile iulie—octombrie, și speciile *Tapinoma erraticum* Latr., *Tetramorium caespitum* L., identificate în lunile august—octombrie, iar în octombrie *Myrmica scabrinodis* Nyl. Cuiburile speciilor de formicide s-au găsit numai sub piatră, iar probele s-au luat în acest interval din cuiburi (fig. 4). Frecvența acestor cuiburi este mai ridicată pe terenul cu stratul de sare care variază între 0—2 cm. Aceste cuiburi sunt expuse în locurile însozite.

## 2. Concentrația în clorură de sodiu a mediului și a materialului biologic

a) *Rezultatele privind concentrația apei în clorură de sodiu* sunt arătate în fig. 5, din care rezultă că apa din izvorul salin (saramură) conține cantitatea cea mai mare de clorură de sodiu în octombrie (826 mg/15 cc). În aceeași lună, un conținut mediu de clorură de sodiu s-a găsit în apa de pîrîu (238 mg/15 cc), iar valoarea cea mai scăzută în lac, unde crește stuful (184 mg/15 cc). Probele-martor au numai 14 mg/15 cc.

b) *Concentrația în clorură de sodiu din sol* (fig. 6). La Oena Sibiului, concentrația în clorură de sodiu a variat. Astfel în aprilie s-au găsit 155 mg/0,5 g, iar la Tg. Oena, la probele recoltate din 3 puncte ale zonei, în iulie s-au găsit concentrații maxime, și anume 250—475 mg/0,5 g. În august, la probele de sol colectate din puncte diferite ale aceleiasi zone, s-au găsit valori scăzute, cuprinse între 5 și 58 mg/0,5 g. În septembrie, concentrația în clorură de sodiu este de asemenea crescută, 184 mg/0,5 g. În octombrie se constată o scădere a acesteia, pînă la 5 mg/0,5 g. Probele-martor au cantități mici de clorură de sodiu, 0,3 mg/0,5 g. În ceea ce privește concentrația în clorură de sodiu din solul cuiburilor de la diferite specii de formicide în octombrie (fig. 7), am constatat o concentrație maximă în solul cuibului populat de *Tapinoma erraticum* Latr., urmată de *Formica cunicularia* Latr. Cantitatea minimă s-a înregistrat la solul cuibului populat de *Tetramorium caespitum* L. Proba-martor are valoarea de 0,3 mg/0,5 g. Aceste variații sezoniere sunt influențate de condițiile climatice deosebite existente în cursul acestui an, caracterizate prin precipitații abundente (fig. 8).

c) *Concentrația în clorură de sodiu din materialul biologic*, plante și animale, apare în figurile 9 și 10. Concentrația în clorură de sodiu din specii de plante care cresc în mediul solului Oena Sibiului și Tg. Oena este diferită. *Artemisia maritima* L. în aprilie are 14 mg ClNa/0,5 g. La specia *Hippophae rhamnoides* L. în iulie s-a găsit 1,1 mg ClNa/0,5 g,

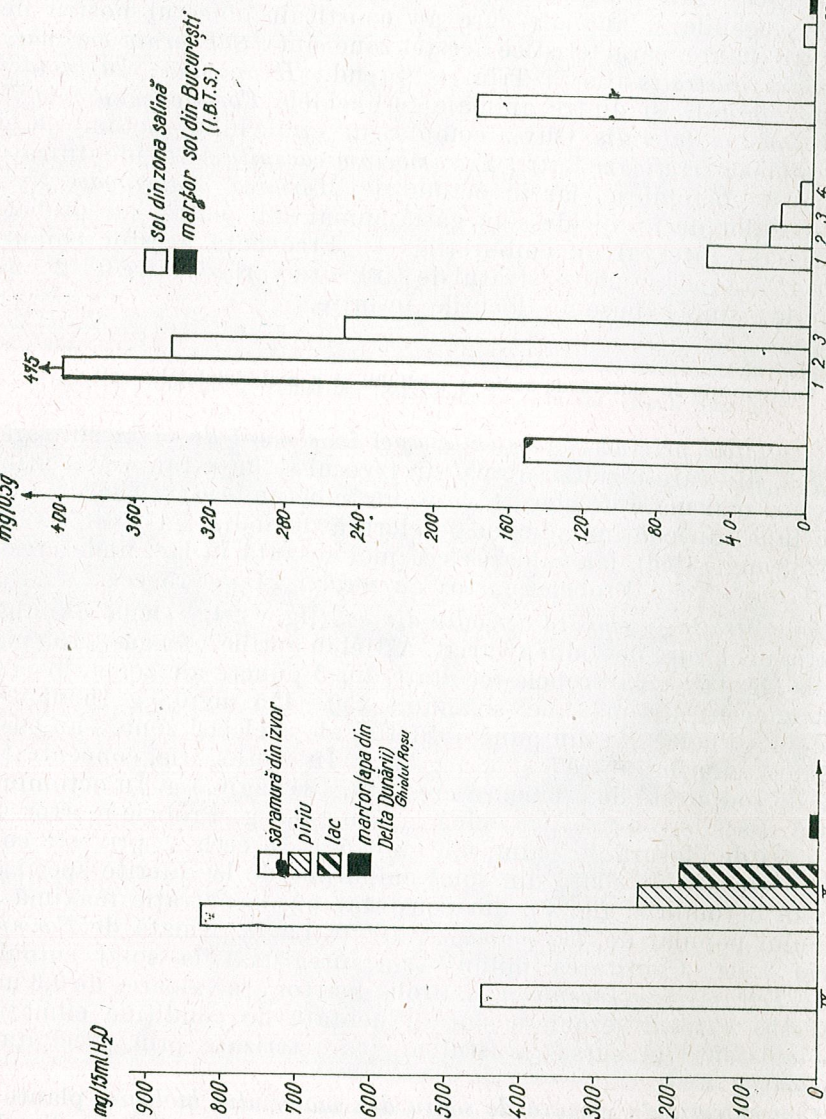


Fig. 5. — Concentratia in clorura de sodiu din apa (Tg. Ocna).

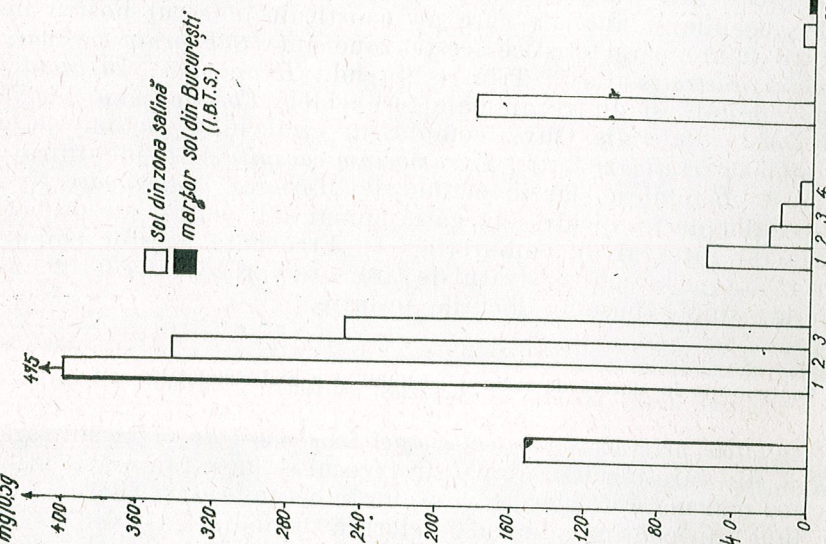


Fig. 6. — Concentratia in clorura de sodiu din sol (Ocna Sibiului și Tg. Ocna).

pentru ca în august și septembrie aceasta să scadă la 0,2 mg/0,5 g, iar în octombrie să crească pînă la 2,0 mg/0,5 g. La specia *Pinus nigra* L., în iulie, august și septembrie cantitatea de clorură de sodiu este de 0,4 mg/0,5 g, pentru ca în octombrie să constatăm o creștere la 1,6 mg/0,5 g.

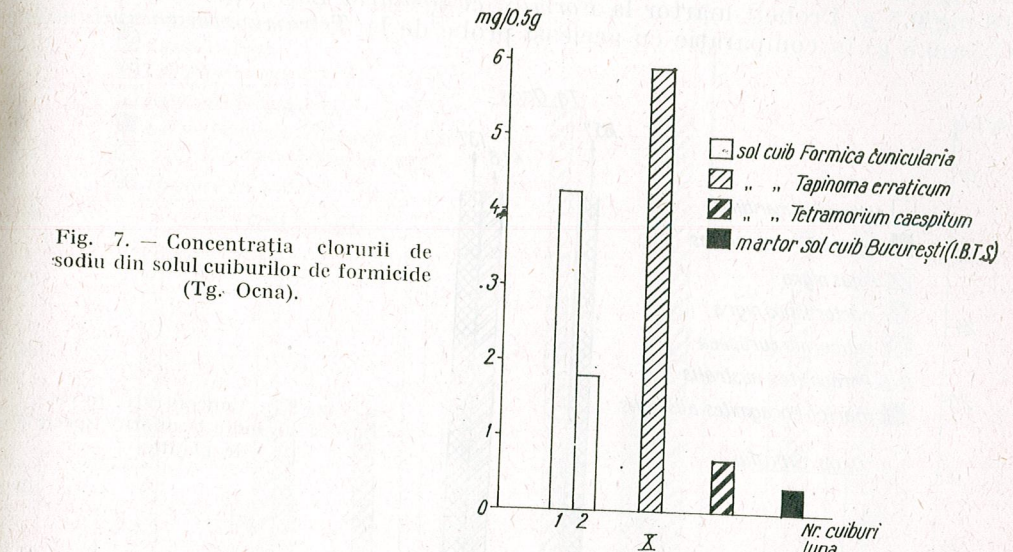


Fig. 7. — Concentratia clorurii de sodiu din solul cuburilor de formicide (Tg. Ocna).

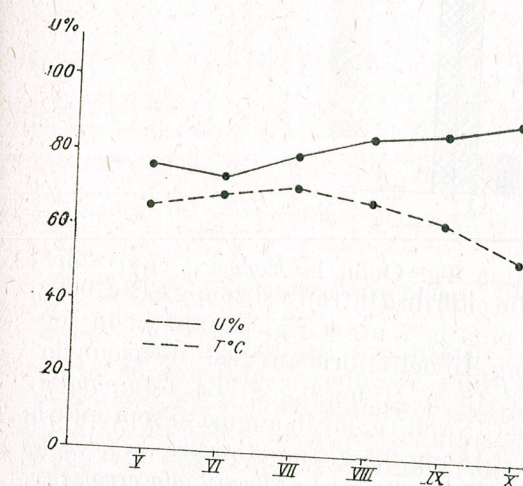


Fig. 8. — Media variației lunare a umidității și temperaturii aerului (Tg. Ocna).

Probele-martor de *Pinus nigra* L. au 0,2 mg/0,5 g. La *Salicornia europaea* L., în septembrie s-a găsit concentrația maximă, 185 mg ClNa/0,5 g, iar în octombrie valorile sunt ușor scăzute, 137 mg/0,5 g. La *Phragmites australis* (Cav.) Trin. et Stend. s-au găsit 48 mg ClNa/0,5 g. Probele-martor au valori foarte mici, 0,005 mg ClNa/0,5 g. La speciile de formicide din zona salină Ocna Sibiului (fig. 11) am găsit o concentrație de clorură de sodiu

la *Formica cunicularia* Latr. în aprilie de 11 mg/0,5 g, la *Lasius niger* L. o creștere din aprilie pînă în mai de la 7 la 11 mg/0,5 g. La *Tetramorium caespitum* L., în aprilie am găsit concentrația cea mai mare, 26 mg ClNa/0,5 g, în comparație cu concentrația găsită la *Lasius niger* L. și *Formica cunicularia* Latr.; la speciile *Lasius alienus* Foerst., cantități mari în mai, 27 mg ClNa/0,5 g, iar la *Camponotus lateralis* Oliv., o concentrație medie, 18 mg/0,5 g. Probele-martor la *Formica cunicularia* Latr. sunt mici (9 mg ClNa/0,5 g) în comparație cu aceleași probe de la *Tetramorium caespitum*

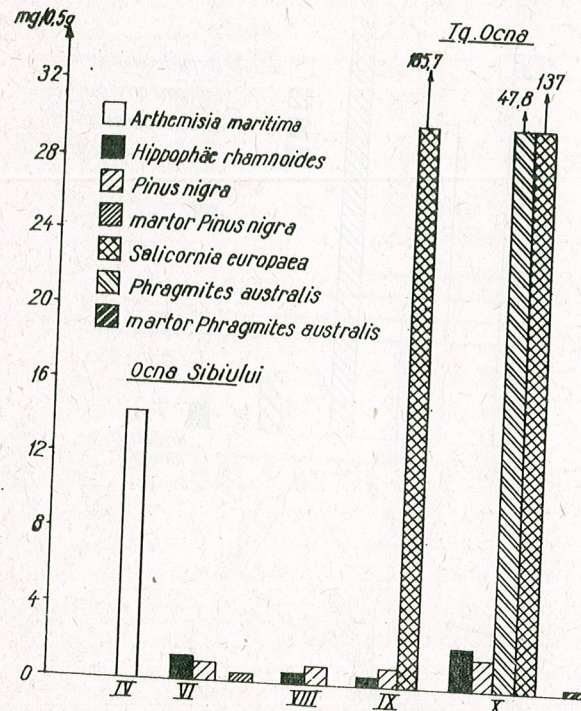


Fig. 9. — Concentrația în clorură de sodiu la diferite specii de plante.

L. (18 mg ClNa/0,5 g). În zona salină Tg. Ocna la *Formica cunicularia* Latr. în iulie s-a găsit o cantitate medie cuprinsă între 18 și 26 mg ClNa/0,5 g, o scădere a concentrației pînă la 7 mg/0,5 g, pentru că în septembrie să atingă valoarea 49 mg/0,5 g. În octombrie am găsit de asemenea o concentrație medie cuprinsă între 18 și 21 mg/0,5 g. La *Camponotus lateralis* Oliv. în iulie s-au găsit 18 mg ClNa/0,5 g, iar în august și septembrie o scădere a acesteia cuprinsă între 3 și 18 mg/0,5 g. În octombrie la această specie s-a găsit concentrația maximă, 29 mg/0,5 g. La *Tapinoma erraticum* Latr. în august și septembrie concentrația este cuprinsă între 18 și 35 mg/0,5 g. În octombrie la aceeași specie concentrația este mai mică, 6 mg/0,5 g. *Tetramorium caespitum* L. în septembrie are concentrații scăzute, 7 mg/0,5 g, pentru că în octombrie să crească la 26 mg/0,5 g. La specia *Myrmica scabrinodis* Nyl. s-au găsit concentrații scăzute în octombrie, și anume 26 mg/0,5 g.

Comparind rezultatele obținute, am constat că există o corelație strînsă, pe de o parte, între factorii climatici și mediul salin, iar pe de altă parte între mediu și diferite specii de plante și animale.

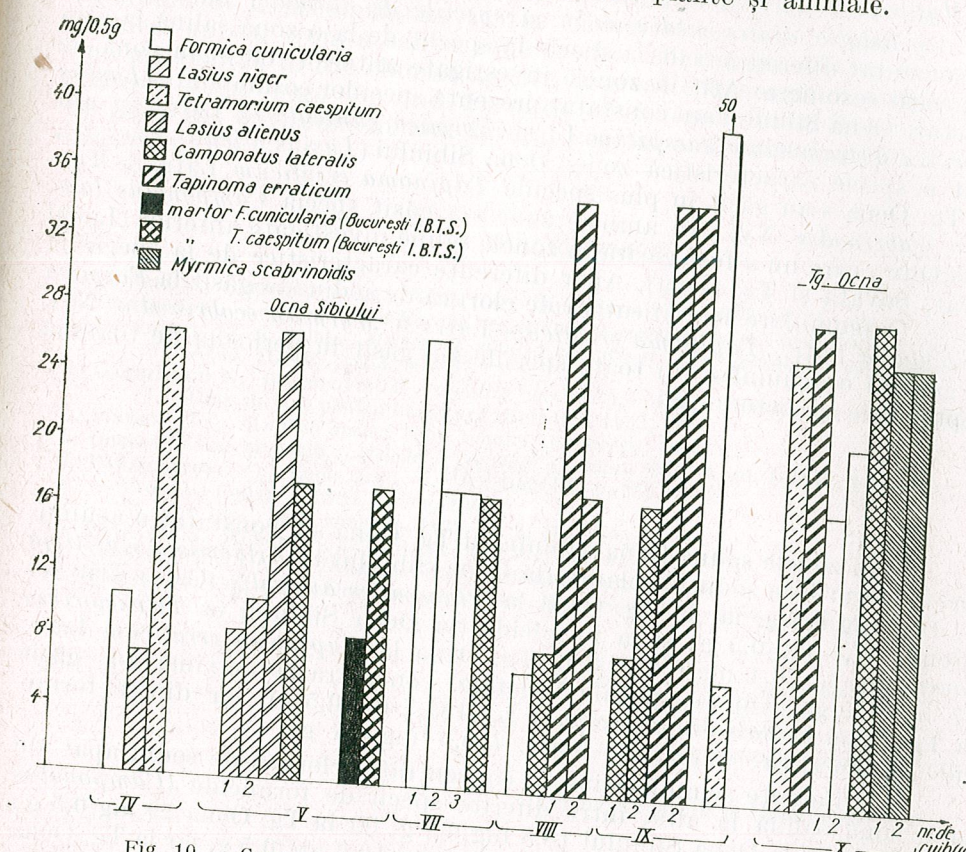


Fig. 10. — Concentrația clorurii de sodiu la unele specii de formicide.

### 1) Relația dintre factorii climatici și mediul salin

Pe măsura creșterii umidității 75–95% și scăderii temperaturii 22–3°C, se constată o reducere cantitativă a clorurii de sodiu din sol 475–8 mg/0,5 g și o acumulare a acesteia în apă din zonele saline 450–830 mg/15 ml apă. Sub aspect calitativ, făcînd o comparație cu anii precedenți, am observat o reducere evidentă a depozitului salin de pe sol (din iunie–august 1966–1972).

### 2) Relația dintre mediu și materialul biologic

a) *Relația dintre mediu salin și plante.* La unele plante, cum ar fi *Artemisia*, *Salicornia* și *Phragmites*, se constată o acumulare a clorurii de sodiu în corpul plantei proporțional cu cantitatea de clorură de sodiu

din mediu (1), (12); la alte specii însă, indiferent de concentrația mediului se constată o acumulare minimă de clorură de sodiu în corpul plantelor (la *Hypophae* și *Pinus*).

b) *Relația dintre mediu salin și speciile de animale.* La formicide am constatat diferențieri de la specie la specie, de la o zonă salină la alta și variații sezoniere. Atât în zonele investigate anterior, cât și în zona de cercetare Oca Sibiului am constatat prezența speciilor cosmopolite (*Lasius niger* L., *Tetramorium caespitum* L. și *Formica cunicularia* Latr.) și am găsit o specie caracteristică zonei Oca Sibiului (*Lasius alienus* Foerst.). La Tg. Oca s-au găsit în plus speciile *Tapinoma erraticum* Latr. și *Myrmica scabrinodis* Nyl. În ambele zone s-a găsit specia *Camponotus lateralis* Oliv., care nu a fost găsită în zonele saline investigate anterior (Lacul Sărăt, Sovata și Tg. Oca). Apar diferențe caracteristice de la specie la specie. O acumulare semnificativă de clorură de sodiu s-a găsit la *Formica cunicularia* Latr., *Tapinoma erraticum* Latr. și *Myrmica scabrinodis* Nyl. În general o acumulare în toate speciile s-a găsit în perioada de toamnă (septembrie și octombrie).

#### CONCLUZII

1. În zonele saline Oca Sibiului și Tg. Oca s-a constatat o acumulare a clorurii de sodiu în plante (la Oca Sibiului la *Artemisia maritima* L. 14,2 mg/0,5 g, iar la Tg. Oca la *Phragmites australis* (Cav.) Trin. et Stend. 47,8 mg/0,5 g) și la formicide (la Oca Sibiului la *Tetramorium caespitum* L. 26,4 mg/0,5 g și la Tg. Oca la *Tapinoma erraticum* Latr. 37 mg/0,5 g). Dintre speciile vegetale, concentrația maximă s-a găsit la Tg. Oca la *Salicornia europaea* L. (185,7 mg/0,5 g), iar dintre formicide la *Formica cunicularia* Latr. (50,0 mg/0,5 g).

2. Diferențe semnificative în concentrația clorurii de sodiu apar de la o zonă salină la alta, între diferite specii de formicide (*Camponotus lateralis* Oliv. la Oca Sibiului 18,8 mg/0,5 g, iar la Tg. Oca 29 mg/0,5 g; la *Formica cunicularia* Latr. la Oca Sibiului 10,6 mg/0,5 g, iar la Tg. Oca 50 mg/0,5 g) și în funcție de condițiile climatice (umiditatea 75–95%, temperatură 3–22°C).

(Avizat de prof. Gr. Eliescu.)

#### CONCENTRATION OF Natrium CHLORIDE IN SOME SPECIES OF FORMICIDAE FROM SALTED SOILS OF ROMANIA

#### SUMMARY

A comparative study of plants and animals living in the salted-soil regions Tg. Oca and Oca Sibiului has been carried out between April and October 1972. Quantitative determinations on the contents of sodium

chloride of the environment (water and soil) and of the biological material were made.

The results show that the concentration of sodium chloride of the environment is accumulating in the biological material. Significant differences appear from a salted zone to the other, from species to species and are related to the climate agents. A great concentration was found in *Salicornia europaea* L. and *Formica cunicularia* Latr. Some relations between the environment and several vegetal and animal organisms are discussed.

#### BIBLIOGRAFIE

1. ANDREI M., ȘERBĂNESCU Gh., Anal. Univ. Buc., Seria biol., 1965, **14**, 65–80.
2. BERNARD F., *Les Fourmis d'Europe occidentale et septentrionale*, Paris, 1968, 3, 79–367.
3. DAVIDESCU D. și colab., *Metode de analiză chimică și fizică folosite în agricultură*, Edit. Acad. R.P.R., 1963, 50–57.
4. GAVRILESCU N. și POPOVICI P., *Analiza chimică aplicată la hidrobiologie și ape piscicole*, Edit. de stat pentru literatură științifică, 1953, 182.
5. IONESCU D.T., *Analiza apelor*, Edit. tehnică, București, 1968.
6. OBREJANU GR. și colab., *Metode de cercetare a solului*, Edit. Acad. R.P.R., 1964.
7. PARASCHIVESCU D., Com. Acad. R.P.R., 1963, **13**, 6, 559–566.
8. — Proc. VI Congr. LUSSI, Berna, 1969.
9. — St. cerc. biol., Seria zoologie, 1972, **24**, 5, 489–495.
10. PETRAȘU S., HURGHISIU I., Buletin I.C.P.P., 1971, 3–4, 77–87.
11. STITZ H., *Die Tierwelt Deutschlands, Formicidae*, Jena, 1930, 37.
12. ȘERBĂNESCU Gh., BINA DEMAO, Anal. Univ. Buc., Seria biol., 1962, **11**, 37–48.

Institutul de biologie „Traian Săvulescu”,  
Sectorul de ecosisteme și  
Sectorul de ultrastructuri celulare  
București 17, Splaiul Independenței nr. 296

Primit în redacție la 1 noiembrie 1972



**AHARON KATZIR-KATCHALSKY**  
**1913—1972**

La 30 mai 1972 a incetat din viață în împrejurări tragice prof. dr. Aharon Katzir-Katchalsky, fost președinte și vicepreședinte de onoare al Uniunii internaționale de biofizică pură și aplicată (I.U.P.A.B.), șeful Departamentului de polimeri de la Institutul Weizmann (Rehovot, Israel). Dispariția sa reprezintă pentru știința internațională pierderea nu numai a unui cercetător strălucit, ci și a unui neobosit organizator.

Rezultatele importante obținute de A. Katchalsky în diferite domenii ale științelor vieții sunt datorate în special faptului că a aplicat la studiul problemelor biologice abordate temeinica sa pregătire fizico-chimică. Astfel, cercetările sale, astăzi considerate clasice, asupra proceselor chemo-mecanice în polielectroliți l-au condus la studierea unor polimeri capabili să se contracte și să se relaxeze în funcție de mediul ionic înconjurător, asemenea biopolimerilor contractili din

mușchi. Cercetările sale asupra conversiei directe chemo-mecanice sunt expuse în *Handbook of Sensory Physiology* (vol. I, Springer-Verlag, Berlin, 1971).

După 1958, A. Katchalsky s-a ocupat de descrierea fluxurilor de energie și de substanțe ce au loc în organismele vii. În mod deosebit a urmărit fenomenele de membrană, pe care le-a studiat cu ajutorul termodinamicii proceselor ireversibile. Monografia sa asupra aplicării termodinamicii în biologie (*Nonequilibrium Thermodynamics in Biophysics*, Harvard Univ. Press, Cambridge Mass., 1965) l-a consacrat ca pe un promotor al acestui domeniu. În ultimii ani, Katchalsky a lucrat la elaborarea unei termodinamici generalizate care să fie mai adecvată pentru descrierea proceselor complexe din organismele vii. Dintre multiplele probleme pe care le-a abordat cu succes, vom mai menționa numai studierea primelor etape ale biogenezei, domeniu în care a reușit sinteza de polipeptide în condițiile presupuse că au existat în oceanul primar.

În afară de realizările sale ca cercetător, A. Katchalsky a avut o foarte fructuoasă activitate de organizator pe tărîmul științei. A fost unul dintre fondatorii I.U.P.A.B., al cărei președinte a fost timp de mai mulți ani, devenind apoi vicepreședinte de onoare. A fost membru al Consiliului Internațional al Uniunilor Științifice și al Consiliului Organizației Europene de Biologie Moleculară. De asemenea, a făcut parte din colectivele editoriale ale unora din cele mai prestigioase reviste internaționale de biofizică și biologie matematică. Meritele sale științifice au făcut să fie ales membru de onoare al mai multor academii și societăți științifice și președinte al Academiei Israeliene. Ca un omagiu adus memoriei sale, la scurt timp după moartea sa a fost creat „Centrul Internațional A. Katzir-Katchalsky”, pentru promovarea cercetărilor în domeniile în care a activat el.

În august 1970, A. Katchalsky a vizitat țara noastră cu ocazia Congresului regional de științe fiziologice ținut la Brașov. Atunci a întîlnit mai mulți oameni de știință români și și-a exprimat aprecierile sale față de activitatea științifică și de celelalte realizări ale țării noastre. Mai mulți biofizicieni români care au avut ocazia să viziteze departamentul condus de A. Katchalsky și să lucreze cu el au fost impresionați de valoarea activității sale.

Prof. dr. V. Vasilescu și D. Mărgineanu

*Results and Problems in Cell Differentiation*, vol. 3. *Nucleic Acid Hybridization in the Study of Cell Differentiation* (Rezultate și probleme în diferențierea celulară, vol. 3. Hibridări acido-nucleice în studiul diferențierii celulare), ed. by H. Ursprung, Springer-Verlag, Berlin – Heidelberg – New York, 1972

Una din importantele realizări ale biologiei moleculare este și descoperirea posibilității de a se efectua complexe moleculare între diferite molecule de ADN sau între ADN și ARN pe baza complementarității bazelor azotate existente în structura lor. Producerea experimentală a unor asemenea complexe, prin intermediul legăturilor de hidrogen complementare dintre bazele azotate, aşa-numita metodă a „hibridărilor moleculare acido-nucleice”, este astăzi folosită cu succes pentru a aprecia asemănările și diferențele moleculare dintre acizi nucleici de diferite tipuri și origini. Reușita hibridărilor moleculare acido-nucleice se apreciază prin măsurarea cineticii reasocierii polinucleotidelor la molecula de ADN după disocierea ei în monocatene sau a asocierii ribopolinucleotidelor cu ADN disociat monocatenar, precum și prin determinarea stabilității termice și a altor proprietăți fizico-chimice ale moleculelor hibride rezultate. Metoda hibridărilor moleculare acido-nucleice, deși nu este încă suficient de sensibilă, a putut fi cu succes utilizată și în cercetări de biologie dezvoltării. Ea a oferit în ultimul timp posibilitatea cercetării unor probleme foarte importante, ca : identitatea genetică a diferitelor tipuri de celule ale aceluiasi individ, aprecierea funcționării diferențiale a unor gene, localizarea unor gene în cromozomi fără a se mai recurge la experiențe de încrucișare de tip mendelian, izolarea, purificarea și caracterizarea biochimică a unor gene și-a.

În volumul editat de prof. dr. H. Ursprung, de la Zürich, sunt adunate 6 articole ale unor cercetători de vază care lucrează efectiv cu metoda de mai sus pentru a lămuri diverse aspecte ale biologiei dezvoltării, și în special cea a diferențierii celulare.

În primul articol, al dr. Tobler H., de la Universitatea din Zürich, intitulat *Problema identității genetice a diferitelor tipuri celulare*, se arată modul cum se aplică metoda hibridărilor moleculare ADN/ADN folosindu-se ADN provenit de la diferite celule pentru a aprecia gradul de identitate și de diferențiere genetică dintre diferitele celule ale aceluiasi individ. Prelucrarea datelor sintetizate în articol aduce dovezi care atestă că ideea fundamentală avansată de geneticieni că toate celulele unui aceluiasi individ conțin un set identic de informație genetică este în general valabilă.

Al doilea articol, al dr. Cruch R.B. și dr. Brown J.R., de la Universitatea Calgary, Alberta din Canada, *Specificitatea tisulară a transcripției genetice*, sintetizează rezultatele cercetărilor cu metoda hibridărilor moleculare acido-nucleice a mecanismului transcripției la șoarece, adică a mecanismului biosintezei de ARN mesager de către ADN cromozomic. Rezultatele analizate dovedesc în esență că transcripția genetică din nucleii celulelor provenite din diferite ţesuturi este complexă. Există un cimp potențial de biosintează a ARN mesager larg, cimp din care, după necesitate, se selecționează anumiți membri, care vor determina la nivelul citoplasmei translații determinate, adică biosinteze de anumite proteine.

Articolul *Analiza cinetică a heterogenității sevenței bazelor azotate din moleculele de ARN prin hibridări ARN/ADN*, aparținând dr. Purdom J., de la spitalul Beatson din Glasgow, și dr. Williamson R. și Birnsteiel M., de la Universitatea din Edinburg, prezintă modul în care se aplică metoda hibridărilor moleculare ARN/ADN pentru analiza specificității moleculare a ARN de diferite tipuri. Dintre rezultatele prezentate par foarte interesante acelea care demonstrează că ARN ribozomal de la *Xenopus* și iepuri posedă o sevență a bazelor azotate asemănătoare cu cea a ARN ribozomal de la bacterii.

Articolul *Hibridări moleculare cu cromatină izolată*, de dr. Kim Ki-Han, de la Universitatea Purdue din statul Indiana, S.U.A., este consacrat modului de aplicare a hibridărilor moleculare și analizei rezultatelor obținute în ceea ce privește specificitatea moleculară a ADN din cromozomi. Rezultatele obținute pînă în prezent în această direcție arată că asemenea cercetări sunt de perspectivă, putind duce la lămurirea structurii moleculare a ADN *in vivo* și a modului de reglare a funcționării acestui ADN, a procesului de transcripție genetică.

În al cincilea articol, *Hibridări ale acizilor nucleici cu cromozomi*, al dr. Stefensen D., de la Universitatea din Illinois, și al dr. Wimber D. E., de la Universitatea din Oregon, sunt arătate procedeele de efectuare a hibridărilor moleculare acid-nucleice cu material cromozomic *in vitro* și cele mai importante rezultate obținute. Se precizează cu această ocazie localizarea unor gene *in situ*. Sunt identificate astfel genele responsabile de sinteza ARN ribozomal, ARN de transport la *Drosophila*, utilizîndu-se hibridări moleculare cu cromozomii uriași și a.

Ultimul articol, prezentat de dr. Huang R.C. și dr. Smith M., de la Universitatea Hopkins din Baltimore, poartă titlul *Hibridări moleculare acid-nucleice și natura proteinelor cromozomice legate de ARN* și arată modul cum s-a utilizat metoda hibridărilor moleculare pentru identificarea și analiza complexului ARN cromozomic-proteine cromozomice, recent descoperit și considerat a avea un rol deosebit în reglarea transcripției genetice, adică a modului de biosințeză a ARN mesager de către ADN cromozomial. Proteinele complexului s-au dovedit a nu fi bazice, adică nehistonice, și întregul complex posedă, datorită specificității moleculare a ARN component, proprietatea de a realiza hibridări specifice cu regiumi cromozomice determinate.

Toate articolele sunt ilustrate cu tabele și grafice demonstrative, unele cu figuri, și sunt alcătuite pe baza unei bibliografii la zi în ceea ce privește problemele tratate. Conținutul articolelor grupate în ciclul „Hibridările acid-nucleice în studiul diferențierii celulare” nu a permis, din cauza unei note prea specifice a fiecarei din ele, o ordonare potrivit unei succesiuni tematice înălătură. Dar acest conținut ne relevă cele mai moderne și de perspectivă aspecte ale aplicării metodei hibridărilor moleculare acid-nucleice la studiul diferențierii celulare, constituind astfel o bază informativă și stimulatoare pentru toți cei care se ocupă de problemele actuale ale biologiei moleculare, și în special de spinoasa, dar foarte de viitor problemă a determinismului genetic al diferențierii celulare, indiferent dacă ei sunt studenți sau specialiști-geneticieni, biochimiști, biofizicieni.

Octavian Precup

Revista „*Studii și cercetări de biologie — Seria zoologie*” publică articole originale de nivel științific superior, din toate domeniile biologiei animale: morfologie, fiziologie, genetică, ecologie și taxonomie. Sumarele revistei sunt completeate cu alte rubrici, ca: 1. *Viața științifică*, ce cuprinde unele manifestări științifice din domeniul biologiei, ca simpozioane, lucrările unor consfătuiri, schimburi de experiență între cercetătorii români și cei străini etc. 2. *Recenzii*, care cuprind prezentări asupra celor mai recente cărți de specialitate apărute în țară și peste hotare.

#### NOTĂ CĂTRE AUTORI

Autorii sunt rugați să înainteze articolele, notele și recenziile dactilografiate la două rînduri, în 2 exemplare. Tabele vor fi dactilografiate pe pagini separate, iar diagramele vor fi executate în tuș pe hîrtie de calc. Tabele și ilustrațiile vor fi numerotate cu cifre arabe. Figurile din planșe vor fi numerotate în continuarea celor din text. Se va evita repetarea același date în text, tabele și grafice. Explicația figurilor va fi dactilografiată pe pagină separată. Citarea bibliografiei în text se va face în ordinea numerelor. Numele autorilor va fi precedat de inițială. Titlurile revistelor citate în bibliografie vor fi prescurtate conform uzanțelor internaționale.

Autorii au dreptul la un număr de 50 de extrase, gratuit.

Responsabilitatea asupra conținutului articolelor revine în exclusivitate autorilor.

Corespondența privind manuscrisele, schimbul de publicații etc. se va trimite pe adresa Comitetului de redacție, Splaiul Independenței nr. 296, București 17.

La revue «*Studii și cercetări de biologie — Seria zoologie*» paraît 6 fois par an.

Toute commande à l'étranger sera adressée à ROMPRES-FILATELIA, Boîte postale 2001, telex 011631, Bucarest, Roumanie, ou à ses représentants à l'étranger. En Roumanie, vous pourrez vous abonner par les bureaux de poste ou chez votre facteur.